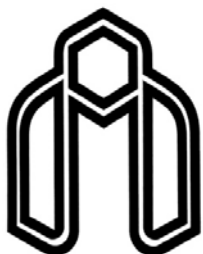


بِسْمِ اللَّهِ الرَّحْمَنِ الرَّحِيمِ



دانشگاه صنعتی شاهرود

دانشکده : مکانیک

گروه : تبدیل انرژی

کاربرد روش های جدید تحلیلی و عددی در مسایل انتقال حرارت غیر خطی

دانشجو : سید محمد حسینی امام

اساتید راهنما :

دکتر محمد جواد مغربی

دکتر داود دومیری گنجی

پایان نامه جهت اخذ درجه کارشناسی ارشد

ماه و سال انتشار: شهریور ۸۸

تقدیم به

همسر مهربانم

که

سنگ صبورم بوده

و

هر کلامش

انرژی بخش زندگیم

تقدیر و تشکر و درود بی پایان خدمت اساتید معزز علی الخصوص آقایان دکتر محمد جواد مغربی و دکتر داود دومیری گنجی که چنانچه لطف بی پایان آنها نبود این کار به نتیجه نمی انجامید.

همچنین تعهد و حسن برخورد مسئول محترم آموزش تحصیلات تکمیلی دانشگاه، سرکار خانم بابا محمدی که همکاری بی منت ایشان در ماه مبارک رمضان بزرگترین درس خدمت به همنوع را به من آموخت، هیچگاه از ذهنم پاک نشده وهمواره سپاسگزار لطف این انسان بزرگوار خواهم بود.

چکیده

بررسی بسیاری از پدیده ها از قبیل انتقال حرارت، انتقال جرم، مکانیک سیالات، فیزیک پلاسما، ترمو الاستیسیته و... منجر به حل دستگاه معادلات غیر خطی می شود که برای حل آن می توان از روشهای تقریبی، تحلیلی و عددی استفاده نمود. با توجه به کوپل بودن و غیر خطی بودن این معادلات با درجه بالا حل عددی آنها در اکثر مواقع مشکل و پیچیده می باشد. با این وجود برخی از این مسائل با استفاده از روش های عددی حل می شده و برخی دیگر توسط روش های تحلیلی و نیمه تحلیلی حل می شوند. در این پایان نامه به بررسی روش های تحلیلی نوین در علوم مکانیک سیالات و انتقال حرارت از قبیل «روش پرتور بیشن، روش هموتویی پرتور بیشن، روش حساب تغییرات تکراری و روش تجزیه آدومیان» پرداخته شده و پس از ارائه مثال هایی، مزایا و کاستی آنها بیان شده و به معرفی روش آنالیز هموتویی پرداخته می شود. این روش با از میان برداشتن نواقص روش های پیشین به ارائه راهکار هایی نوین برای حل معادلات پیچیده حاکم بر دستگاه های معادلات غیر خطی می پردازد. در انتها با ذکر دو مساله کارایی این روش نشان داده شده است. نتایج نشان می دهد که جواب های بدست آمده از روش آنالیز هموتویی با دقت بالایی با جواب های حقیقی و روش های عددی مطابقت دارد و محدوده همگرایی نسبت به روش های معرفی شده در پایان نامه به خوبی کنترل می گردد.

لیست مقالات مستخرج:

عنوان مقاله

**Heat and Mass Transfer of a “Second- Grade” Viscoelastic Fluid
above a Horizontal Moving Flat Plate**

پذیرفته شده در شهریور ۸۸ (September ۲۰۰۹) در

International Journal of Modern Physics B(IJMPB)

<ijmpb@wspc.sg>

فهرست مطالب

| | |
|----|--|
| ه | چکیده |
| و | لیست مقالات مستخرج |
| ز | فهرست مطالب |
| ط | فهرست علائم |
| ل | فهرست اشکال |
| ن | فهرست جداول |
| ۱ | فصل اول: معرفی برخی از روش های تحلیلی عددی در حل معادلات دیفرانسیل معمولی و غیرخطی |
| ۲ | مقدمه |
| ۳ | ۱-۱- روش پرتوربیشن |
| ۴ | ۱-۱-۱- اساس کار روش پرتوربیشن |
| ۶ | ۱-۲-۱- تشریح روش پرتوربیشن با ذکر دو مثال |
| ۱۴ | ۲-۱- روش هموتویی پرتوربیشن <i>HPM</i> |
| ۱۵ | ۱-۲-۱- اساس روش هموتویی پرتوربیشن |
| ۱۷ | ۲-۲-۱- تشریح روش هموتویی پرتوربیشن با ذکر دو مثال |
| ۲۲ | ۳-۱- روش حساب تغییرات تکراری <i>VIM</i> |
| ۲۴ | ۱-۳-۱- اساس روش حساب تغییرات تکراری |
| ۲۵ | ۲-۳-۱- تشریح روش حساب تغییرات تکراری با ذکر مثال |
| ۳۰ | ۴-۱- روش تجزیه آدومیان |
| ۳۰ | ۱-۴-۱- اساس روش تجزیه آدومیان |
| ۳۵ | ۲-۴-۱- تشریح روش تجزیه آدومیان با ذکر مثال |
| ۳۹ | فصل دوم : روش آنالیز هموتپی |
| ۴۰ | ۱-۲- مقدمه ای بر روش آنالیز هموتپی <i>HAM</i> |
| ۴۴ | ۲-۲- روش آنالیز هموتویی |
| ۴۶ | ۳-۲- بعضی از قوانین اصلی |
| ۴۷ | ۴-۲- کنترل ناحیه همگرایی |

| | |
|-----|---|
| ۴۸ | ۲-۵- تشریح روش آنالیز هموتپی با ذکر مثال |
| ۴۸ | ۲-۵-۱- پخش حرارتی در یک پره |
| ۵۱ | ۲-۵-۲- سرمایه‌ش جسمی با حرارت مخصوص متغیر |
| ۵۵ | فصل سوم: حل مساله |
| ۵۶ | ۳-۱- حل مسأله اول |
| ۵۷ | ۳-۱-۱- تحلیل مسأله |
| ۶۲ | ۳-۱-۲- حل مسأله با روش <i>HAM</i> |
| ۶۵ | ۳-۱-۳- بررسی همگرایی |
| ۶۶ | ۳-۲- حل مسأله دوم |
| ۶۶ | ۳-۲-۱- سیال ویسکوالاستیک |
| ۶۹ | ۳-۲-۲- تحلیل جریان |
| ۷۴ | ۳-۲-۳- حل معادله مشخصه جریان با استفاده از روش <i>HAM</i> |
| ۷۸ | ۳-۲-۴- تحلیل انتقال حرارت |
| ۸۱ | ۳-۲-۵- حل معادله مشخصه انتقال حرارت |
| ۸۱ | الف: حالت <i>PST</i> |
| ۸۴ | ب: حالت <i>PHF</i> |
| ۸۶ | ۳-۲-۶- بررسی همگرایی |
| ۸۸ | فصل چهارم: نتایج و نمودارها |
| ۸۹ | ۴-۱- نتایج حل مسأله اول |
| ۹۵ | ۴-۲- نتایج مسأله دوم |
| ۱۰۴ | منابع |

فهرست علائم

| | |
|---------------------------|-----------|
| اپراتور غیر خطی | A |
| روش تجزیه آدومیان | ADM |
| چند جمله ای آدومیان | A_n |
| پارامتر نرخ پاشش - مکش | a |
| عملگر مرزی | B |
| گرمای ویژه | c |
| گرمای ویژه در دمای محیط | C_a |
| ضریب اصطکاک | C_f |
| عدد دبورای موضعی | D_e |
| نسبت نرخ تغییر شکل | $2d$ |
| ثابت | D |
| ضریب قابلیت نشر سطوح | Eg |
| عدد اِکرت موضعی | Ec |
| تابع تحلیلی معلوم | $f(r)$ |
| تابع جریان بدون بعد | f |
| پارامتر پاشش - کشش دیواره | f_w |
| شتاب ثقل زمین | g |
| میدان دمای بی بعد | $g(\eta)$ |
| ضریب جابجایی حرارتی | h |
| هموتوپی تابع | H |
| روش آنالیز هموتوپی | HAM |
| روش هموتوپی پرتوربیشن | HPM |
| تابع کمکی غیر صفر | $H(t)$ |
| نفوذ پذیری محیط متخلخل | k |
| عدد دبورای موضعی | K |
| قسمت خطی معادله | L |
| عملگر معکوس مشتق | L^{-1} |
| اجزای تانسور گرادیان سرعت | L_{ij} |
| قسمت غیر خطی معادله | N |
| اختلاف تنش های نرمال اول | N_1 |
| اختلاف تنش های نرمال دوم | N_2 |
| مرتبه... | $O(..)$ |

| | |
|---|---------------|
| پارامتر بسط روش هموتویی پرتوربیشن | p |
| دمای سطح مشخص شده | PST |
| شار حرارتی مشخص شده | PHF |
| بخش ایزوتروپیک تانسور تنش | $-pI$ |
| پارامتر محاط کننده | q |
| شار حرارتی دیواره | q_w |
| بخش باقیمانده قسمت خطی معادله | R |
| عدد رینولدز موضعی | Re_x |
| پارامتر دمای دیواره | s |
| دمای اولیه | T_i |
| زمان | t |
| دمای محیط | T_a |
| دمای جذب موثر انتقال حرارت تشعشعی | T_s |
| دمای پایه فین | T_b |
| زمان مشخصه جریان | T |
| دمای محیط | T_∞ |
| درجه حرارت دیواره | $T_w(x)$ |
| حدس اولیه | $u_0(t)$ |
| مولفه محور X سرعت | u |
| سرعت در خارج لایه مرزی | u_∞ |
| مولفه محور Y سرعت | v |
| حجم سیستم | V |
| روش حساب تغییرات تکراری | VIM |
| مولفه عمودی سرعت در لبه لایه مرزی | v_∞ |
| عدد وایزنبرگ | Wi |
| حدس اولیه تابع آنالیز هموتویی | $Z_0(x, t)$ |
| ضریب پخش حرارتی | α |
| پارامتر معرف و اسکوزینته در تانسور تنش کائوچی | α_1 |
| پارامتر معرف اختلاف تنش نرمال اول | α_2 |
| پارامتر معرف اختلاف تنش نرمال دوم | α_3 |
| پارامتر ثابت | β |
| ضریب انبساط حرارتی | β |
| تابع | χ |
| پارامتر پرتوربیشن بزرگ یا کوچک | ε |
| پارامتر ساختگی | δ |
| چگالی | ρ |

| | |
|--|--------------------|
| دانسیتة سیال | ρ_∞ |
| پارامتر بدون بعد حرارتی | θ |
| پارامتر میدان دمای بدون بعد | $\theta(\eta)$ |
| پارامتر بدون بعد زمان | τ |
| مشتق زمانی همرفتی پادهمبسته تانسور تنش | $\tau_{(i)}$ |
| مولفه های تانسور تنش | τ_{ij} |
| محدوده حل | Γ |
| ضریب عمومی لاگرانژ | λ |
| زمان آسودگی از تنش | λ_i |
| ثابت استفان بولتزمن | σ |
| عدد پراوندل | σ |
| متغیر مستقل بدون بعد | η |
| ویسکوزیته در نرخ برش صفر | η_0 |
| پارامتر کمکی غیر صفر | \hbar |
| تابع مجهول | $\Phi(x, t, p)$ |
| ویسکوزیته سیال | μ |
| تابع جریان | ψ |
| تابع | ξ |
| فرکانس مشخصه جریان | ω |
| نرخ برش جریان | $\dot{\gamma}$ |
| مشتق زمانی پادهمبسته نرخ برش | $\gamma_{(i)}$ |
| گرادیان | ∇ |
| جواب خصوصی مرتبه m تابع f | $f_m^*(\eta)$ |
| جواب خصوصی مرتبه m تابع g | $g_m^*(\eta)$ |
| جواب خصوصی مرتبه m تابع θ | $\theta_m^*(\eta)$ |

فهرست اشکال

- شکل ۱-۱: مقایسه جواب های ناشی از حل معادله به روش پرتوربیشن و مقایسه آن با حل دقیق معادله به ازای ε های مختلف. ۹
- شکل ۲-۱: نمای شماتیک مثال روش HPM ۱۷
- شکل ۳-۱: نمای شماتیک مثال روش VIM ۲۶
- شکل ۴-۱: تابع پخش حرارت در فین به ازای پارامتر های کوچک مختلف در روش VIM ۲۹
- شکل ۵-۱: نمای شماتیک مثال روش آدومیان ۳۶
- شکل ۶-۱: نمودار تغییرات f' به ازای تغییرات η برای β های مختلف در روش آدومیان ۳۸
- شکل ۱-۲: مقایسه روش آنالیز هموتپی با روش های تئوری قبلی جهت محاسبه ضریب درگ روی یک کره ۴۲
- شکل ۲-۲: نمودار پارامتر کمکی در مرحله هفتم از حل بازاء $(\beta = 0, \psi = 0.5)$ ۵۱
- شکل ۳-۲: مقایسه روش هموتپی آنالیز با جواب دقیق بازاء $(\beta = 0, \psi = 0.5, \hbar = -0.9)$ ۵۱
- شکل ۴-۲: نمودار دما بر حسب پارامتر کمکی در مرحله دهم از حل بازاء $(\varepsilon = 0.1, \varepsilon = 0.2, \varepsilon = 0.3, \varepsilon = 0.8)$ ۵۴
- شکل ۵-۲: مقایسه روش آنالیز هموتپی با جواب دقیق بازاء $(\tau = 0.5)$ و $(\hbar = -0.6)$ ۵۴
- شکل ۱-۳: نمای شماتیک مسأله اول ۵۶
- شکل ۲-۳: نمودار مربوط به همگرایی حل برای $\lambda = 1, f_w = 1$ ۶۵
- شکل ۳-۳: نمای شماتیک مسأله دوم ۶۶
- شکل ۴-۳: محدوده صحیح انتخاب \hbar به ازای سه عدد دبورای مختلف (تابع جریان) ۷۷
- شکل ۵-۳: تعیین مقدار صحیح \hbar بر اساس $\theta'(0)$ به ازای k های مختلف ۸۶
- شکل ۶-۳: تعیین مقدار صحیح \hbar بر اساس $g'(0)$ به ازای k های مختلف ۸۷
- شکل ۱-۴: تاثیر پارامتر مکش بر روی تابع جریان، سرعت و دما برای $\lambda = 1$ ۹۲
- شکل ۲-۴: تاثیر پارامتر مکش بر روی تابع جریان، سرعت و دما برای $\lambda = -1/3$ ۹۲
- شکل ۳-۴: تاثیر پارامتر مکش بر روی تابع جریان، سرعت و دما برای $\lambda = -1/2$ ۹۳
- شکل ۴-۴: تاثیر پارامتر مکش بر روی تابع جریان، سرعت و دما برای $\lambda = 0$ ۹۳
- شکل ۵-۴: تاثیر پارامتر λ بر روی تابع جریان، سرعت و دما برای $f_w = 0$ ۹۴

- شکل ۴-۶: تاثیر تغییر عدد دبوراً روی تابع جریان ۹۷
- شکل ۴-۷: تاثیر تغییرات عدد دبوراً روی ضخامت لایه مرزی ۹۷
- شکل ۴-۸: منحنی تغییرات θ و θ' بر حسب η و تاثیرات افزایش عددهای پراندل و اکرت روی میدان دما و شار حرارتی و ضخامت لایه مرزی حرارتی در حالت *PST* ۹۸
- شکل ۴-۹: تأثیر افزایش عدد دبوراً و الاستیسیته سیال روی میدان دما و شار حرارتی و ضخامت لایه مرزی حرارتی در حالت *PST* ۹۸
- شکل ۴-۱۰: تاثیر تغییرات عددهای پراندل و اکرت روی میدان دما و شار حرارتی و ضخامت لایه مرزی حرارتی در حالت *PHF* ۹۲
- شکل ۴-۱۱: تاثیر مقادیر مختلف k روی میدان دما، شار حرارتی و ضخامت لایه مرزی در حالت *PHF* ۹۲

فهرست جداول

| صفحه | شماره جدول | |
|------|------------|--|
| ۴ | جدول ۱-۱ | مقادیر پارامتر پرتوربیشن در تئوری های مختلف |
| ۲۵ | جدول ۲-۱ | مقایسه بدست آمده افزاینده لاگرانژ از کد نوشته شده [۳۴] و منابع دیگر |
| ۸۹ | جدول ۱-۴ | مقادیر $f''(0) = \theta'(0)$ برای مقادیر مختلف پارامتر مکش برای $\lambda = 1$ |
| ۹۰ | جدول ۲-۴ | مقادیر $f''(0) = \theta'(0)$ برای مقادیر مختلف پارامتر مکش برای $\lambda = -1/3$ |
| ۹۰ | جدول ۳-۴ | مقادیر $f''(0) = \theta'(0)$ برای مقادیر مختلف پارامتر مکش برای $\lambda = -1/2$ |
| ۹۱ | جدول ۴-۴ | مقادیر $f''(0) = \theta'(0)$ برای $\lambda = 0$ و $f_w = 1$ به ازاء مقادیر مختلف پارامتر η |
| ۱۰۰ | جدول ۵-۴ | مقایسه جواب های بدست آمده f تابع جریان به ازای مقادیر مختلف از طریق روش HAM و حل عددی انجام شده |
| ۱۰۰ | جدول ۶-۴ | مقایسه نتایج بدست آمده $\theta'(\circ) -$ از طریق روش HAM با حل عددی به ازای مقادیر مختلف k, E_c |
| ۱۰۱ | جدول ۷-۴ | مقایسه نتایج بدست آمده $g(\circ)$ از طریق روش HAM با حل عددی به ازای مقادیر مختلف k, E'_c |

فصل اول (مقدمه):

معرفی برخی از روش های تحلیلی عددی در حل معادلات
دیفرانسیل معمولی و غیر خطی

مقدمه:

علم مکانیک سیالات و انتقال حرارت به علت معادلات حاکم بر آنها همواره با روش‌های حل معادلات غیرخطی حاکم بر فیزیک مسائل آمیخته بوده است. ماهیت غیرخطی اینگونه مسائل و جذابیت حل تحلیلی آنها باعث گسترش روش‌های تحلیلی برای حل اینگونه مسائل شده است.

به علت ماهیت غیرخطی اینگونه مسائل، جواب دقیق برای آنها نادر می‌باشد و غالباً حل‌های تشابهی^۱ دارند که در اینگونه حل‌ها، معادلات مشتقات جزئی^۲ به معادلات دیفرانسیل معمولی^۳ تبدیل می‌شوند. البته بعد از این تبدیل نیز حل دقیق بسیاری از این مسائل ممکن نمی‌باشد و اغلب به وسیله روش‌های تقریبی و نیمه تحلیلی به حل اینگونه معادلات پرداخته می‌شود.

اگر چه امروزه با داشتن کامپیوترهای با عملکرد بالا و برخی نرم‌افزارهای محاسباتی با کیفیت نظیر *Maple* و *Mathematica* این امر آسانتر شده است. روش‌های عددی معمولاً می‌توانند در محیط‌های پیچیده جهت حل مسائل غیرخطی به کار گرفته شوند.

حلهای عددی نسبت به حل‌های تحلیلی دارای یک سری برتری بوده و معادلات غیرخطی را در محیط محاسباتی ساده حل می‌نمایند ولی روش‌های عددی فقط نقاط ناپیوسته از یک نمودار را نتیجه می‌دهند که اغلب با توجه به صرف هزینه و وقت می‌توان نمودار را کامل کرد.

از این گذشته از نتایج عددی مشکل می‌توان یک فهم کلی و لازم از معادلات غیرخطی داشت. همچنین مشکلات عددی در جاهایی که معادلات غیرخطی شامل جواب‌های منحصر به فرد^۴ باشد یا جواب‌های متعددی داشته باشند ظاهر می‌شود. حل‌های عددی و حل‌های تحلیلی برتری‌ها و

^۱ - *similarity solutions*

^۲ - *Partial differential equations*

^۳ - *Ordinary differential equations*

^۴ - *particular answers*

محدودیت‌های مربوط به خود را داشته و بنابراین لازم نیست که یکی را انجام داده و دیگری نادیده گرفته شود. متدهای تحلیلی فراوانی برای حل معادلات غیرخطی وجود دارند که برخی از آنها مورد بررسی قرار می‌گیرند:

۱-۱ - روش پرتوربیشن:

یکی از معروف‌ترین و قدیمی‌ترین روش‌های تحلیلی تقریبی و با دقت بالا روش پرتوربیشن^۱ می‌باشد و به طور وسیع در مسایل غیرخطی بکار گرفته شده است [۱-۳]. توسط روش پرتوربیشن، بسیاری از پدیده‌های مهم و مشخصه‌های آنها بیان می‌شود. یکی از نتایج جالب از تکنیک‌های پرتوربیشن کشف نهمین سیاره در سیستم‌های خورشیدی می‌باشد [۴]. اخیراً متدهای پرتوربیشن آسان به عنوان یکی از ده پیشرفت برتر تئوری و ریاضیات کاربردی در قرن بیستم در نظر گرفته شده است [۵]. بنابراین غیرقابل تردید است که روش‌های پرتوربیشن نقش مهمی در دانش و شاخه‌های مهندسی دارند.

روش‌های پرتوربیشن بر اساس وجود پارامترهای کوچک و بزرگ یا متغیرهایی که مقادیر پرتوربیشن نامیده می‌شوند می‌باشد. این روش‌ها از مقادیر پرتوربیشن جهت انتقال یک مسأله غیرخطی به زیرمجموعه‌ای نامتناهی از مسایل استفاده نموده و سپس مجموع جواب‌های چند معادله اول، جواب نهایی را تقریب می‌زند. وجود مقادیر پرتوربیشن اساس این روش می‌باشد.

مقادیر پرتوربیشن بر اساس فیزیک مسأله مشخص می‌شود به عنوان مثال [۶]:

^۱ - *Perturbation Method*

| جدول ۱-۱: مقادیر پارامتر پرتوربیشن در تئوری های مختلف | | |
|---|--------------------------|-------------------------------|
| Janzen-Rayligh Expansion | Mach number | $\gg 1$ |
| Thin-airfoil Theory | Thickness ratio | $\ll 1$ |
| Lifting-line Theory | Aspect ratio | $\gg 1$ |
| Stokes , Oseen flow | Reynolds Number | $\ll 1$ |
| Boundry-layer Theory | Reynolds Number | $\gg 1$ |
| Newton-Busemann Theory | Mach Number | $\gg 1$ $(\gamma-1) \ll 1$ |
| Quasi-Steady Theory | Reduced frequency | $\ll 1$ |
| Free-molecule Theory | Knudsen number | $\gg 1$ |

۱-۱-۱- اساس کار روش پرتوربیشن:

در این روش جواب معادله به صورت سری نامتناهی از توان های پارامتر پرتوربیشن در نظر گرفته می شود.

$$y(x) = \sum_{n=0}^{\infty} \varepsilon^n y_n(x) \quad (1-1)$$

با توجه به دقت موردنظر تعداد متناهی از سری بالا را به عنوان جواب معادله در نظر می‌گیریم و با جایگزینی این جملات در معادله اصلی و بسط دادن معادله بر اساس پارامتر کوچک^۱ یا بزرگ ε ، فاکتورگیری از معادله بر حسب ضرایب توان‌های برابر ε و مساوی صفر قرار دادن هر یک از این ضرایب، معادله دیفرانسیل غیرخطی را به مجموعه‌ای از معادلات خطی تبدیل می‌کنیم.

با حل این معادلات خطی و قرار دادن شروط مرزی در معادله حاصل از ضرایب ε^0 ، ضرایب پارامتر پرتوربیشن در سری موردنظر بدست آمده و جواب معادله حاصل می‌شود. دقت شود که در حل معادلات، ضرایب ε^1 ، ε^2 ، ... شرایط مرزی صفر در نظر گرفته می‌شود.

بسط‌های حاصل از حل معادله به روش پرتوربیشن به دو دسته «منحصر به فرد»^۲ و «عادی»^۳ تقسیم می‌شوند [۶-۷] در بسط عادی، جواب بدست آمده در تمام محدوده حل معتبر می‌باشد ولی در بسط منحصر به فرد، بسط جواب در قسمتی از بازه حل دارای محدودیت‌های زیر می‌باشد:

۱- جواب معادله به ازای برخی از مقادیر متغیرهای مستقل^۴ بی‌نهایت شود.

۲- جواب معادله در بازه‌ای از محدوده‌ی حل گسسته شود.

۳- جواب معادله برخی از شرایط مرزی را ارضا نکند.

۴- جواب معادله شامل نقاط «تکین اساسی» باشد [۷].

^۱ - *small parameter*

^۲ - *Singular*

^۳ - *Regular*

^۴ - *Independent Variable*

۱-۲-۱- تشریح روش پرتوربیشن با ذکر دو مثال

مثال اول:

اولین مثال ارائه شده برای حل معادله با استفاده از این روش، سرمایش یک سیستم *Lumped* می‌باشد. حجم سیستم V و مساحت سطح آن برابر A است. دانسیته برابر ρ ، گرمای ویژه، c و دمای اولیه T_i در نظر گرفته شود. در زمان $t = 0$ سیستم در معرض یک محیط همرفتی^۱ با دمای T_a با یک ضریب جابجایی h قرار می‌گیرد و فرض می‌شود که گرمای ویژه c یک تابع خطی از دما به فرم زیر است [۷].

$$c = c_a [1 + \beta(T - T_a)] \quad (۲-۱)$$

که c_a گرمای ویژه در T_a و β یک ثابت است. معادله سرمایش^۲ و شرایط اولیه آن به صورت ذیل می‌باشد:

$$\rho V c dT / dt + h A (T - T_a) = 0 \quad (۳-۱)$$

$$t = 0 \rightarrow T = T_i$$

با استفاده از پارامترهای بی‌بعد زیر [۷]:

$$\theta = \frac{T - T_a}{T_i - T_a} \quad (۴-۱)$$

$$\tau = \frac{t}{\rho V c / (h A)} \quad (۵-۱)$$

$$\varepsilon = \beta (T_i - T_a) \quad (۶-۱)$$

معادله (۳-۱) به شکل زیر در می‌آید.

^۱ - Convective

^۲ - Cooling

$$(1 + \varepsilon\theta) \frac{d\theta}{d\tau} + \theta = 0 \quad (7-1)$$

$$\tau = 0 \rightarrow \theta = 1 \quad (8-1)$$

$$\theta = \theta_0 + \varepsilon\theta_1 + \varepsilon^2\theta_2 + \dots \quad (9-1)$$

و با قرار دادن این سری در معادله (7-1) و انجام عملیات مقدماتی، معادلات زیر حاصل می شود.

$$[1 + \varepsilon(\theta_0 + \varepsilon\theta_1 + \varepsilon^2\theta_2)] \left(\frac{d\theta_0}{d\tau} + \varepsilon \frac{d\theta_1}{d\tau} + \varepsilon^2 \frac{d\theta_2}{d\tau} \right) + \theta_0 + \varepsilon\theta_1 + \varepsilon^2\theta_2 = 0 \quad (10-1)$$

$$\tau = 0 \rightarrow \theta_0 + \varepsilon\theta_1 + \varepsilon^2\theta_2 = 1$$

$$\frac{d\theta_0}{d\tau} + \theta_0 + \varepsilon \left(\frac{d\theta_1}{d\tau} + \theta_1 + \theta_0 \frac{d\theta_0}{d\tau} \right) + \varepsilon^2 \left(\frac{d\theta_2}{d\tau} + \theta_2 + \theta_0 \frac{d\theta_1}{d\tau} + \theta_1 \frac{d\theta_0}{d\tau} \right) = 0 \quad (11-1)$$

ضرایب توان های ε بطور جداگانه مساوی صفر قرار داده می شود.

$$\varepsilon^0 \rightarrow \frac{d\theta_0}{d\tau} + \theta_0 = 0 \quad (12-1)$$

$$\tau = 0 \rightarrow \theta_0 = 1$$

$$\varepsilon^1 \rightarrow \frac{d\theta_1}{d\tau} + \theta_1 + \theta_0 \frac{d\theta_0}{d\tau} = 0 \quad (13-1)$$

$$\tau = 0 \rightarrow \theta_1 = 0$$

$$\varepsilon^2 \rightarrow \frac{d\theta_2}{d\tau} + \theta_2 + \theta_0 \frac{d\theta_1}{d\tau} + \theta_1 \frac{d\theta_0}{d\tau} = 0 \quad (14-1)$$

$$\tau = 0 \rightarrow \theta_2 = 0$$

با حل معادله (12-1) θ_0 به فرم زیر در می آید.

$$\theta_0 = e^{-\tau} \quad (15-1)$$

و با جاگذاری در معادله (13-1) و حل آن فرم ذیل حاصل می گردد.

$$\frac{d\theta_1}{d\tau} + \theta_1 - e^{-2\tau} = 0 \quad (16-1)$$

که از آنجا θ_1 به شکل زیر در می آید.

$$\theta_1 = e^{-\tau} - e^{-2\tau} \quad (17-1)$$

و به همین ترتیب برای θ_2 جواب زیر بدست می آید.

$$\frac{d\theta_2}{d\tau} + \theta_2 - 2e^{-2\tau} + 3e^{-3\tau} = 0 \quad (18-1)$$

$$\theta_2 = e^{-\tau} - 2e^{-2\tau} + \frac{3}{2}e^{-3\tau} \quad (19-1)$$

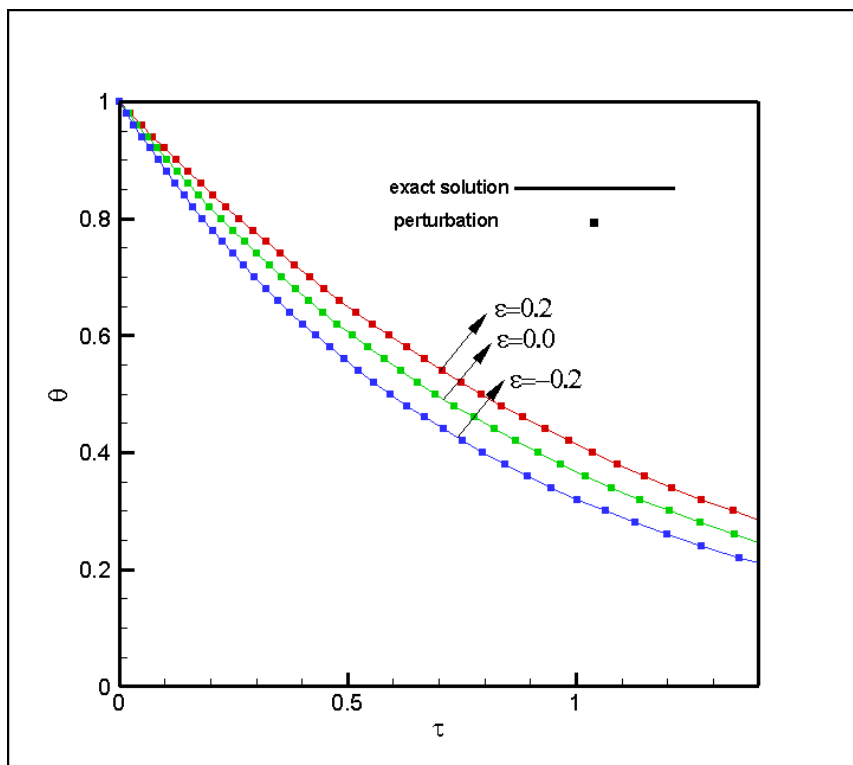
و جواب نهایی به فرم زیر در می آید.

$$\theta = e^{-\tau} + \varepsilon(e^{-\tau} - e^{-2\tau}) + \varepsilon^2(e^{-\tau} - 2e^{-2\tau} + \frac{3}{2}e^{-3\tau}) \quad (20-1)$$

حل دقیق معادله (۷-۱) منجر به جوابی به صورت زیر می شود.

$$\ln \theta + \varepsilon(\theta - 1) = -\tau \quad (21-1)$$

نتایج حل دقیق و حل به روش پرتوربیشن به ازای $\varepsilon = 0, +0.2, -0.2$ در شکل (۱-۱) نمایش داده شده است.



شکل ۱-۱: مقایسه جواب های ناشی از حل معادله به روش پرتوربیشن و مقایسه آن با حل دقیق معادله به ازای ϵ های مختلف.

مثال دوم:

مثال دوم بررسی معادله دیفرانسیلی به شکل زیر می باشد که شرایط مرزی آن نیز بیان گردیده است.

$$(x + \epsilon y) \frac{dy}{dx} + y = 0 \quad (22-1)$$

$$x=1 \rightarrow y=1 \quad (23-1)$$

با فرض اینکه جوابها به فرم $y = y_0 + \epsilon y_1 + \epsilon^2 y_2$ باشد و با قرار دادن آن در معادله (۲۲-۱) و مرتب

کردن عبارات نسبت به توانهای ϵ معادلات ذیل حاصل می گردند.

$$\varepsilon^0 \rightarrow x \frac{dy_0}{dx} + y_0 = 0 \quad (24-1)$$

$$x=1 \rightarrow y_0 = 1$$

$$\varepsilon^1 \rightarrow x \frac{dy_1}{dx} + y_1 = -y_0 \frac{dy_0}{dx} \quad (25-1)$$

$$x=1 \rightarrow y_1 = 0$$

$$\varepsilon^2 \rightarrow x \frac{dy_2}{dx} + y_2 = -y_0 \frac{dy_1}{dx} - y_1 \frac{dy_0}{dx} \quad (26-1)$$

$$x=1 \rightarrow y_2 = 0$$

با حل معادلات فوق نتایج ذیل بدست می‌آید.

$$y_0 = \frac{1}{x} \quad (27-1)$$

$$y_1 = \frac{x^2 - 1}{2x^3} \quad (28-1)$$

$$y_2 = -\frac{x^2 - 1}{2x^5} \quad (29-1)$$

و سری جواب‌های بدین گونه خواهد شد.

$$y = \frac{1}{x} + \varepsilon \frac{x^2 - 1}{2x^3} - \varepsilon^2 \frac{x^2 - 1}{2x^5} \quad (30-1)$$

نقص این جواب این است که در $x = 0$ یک نقطه منفرد وجود دارد و یکتایی در ترم‌های بعدی با افزایش توان x در مخرج کسرها افزایش می‌یابد. بنابراین جواب‌های بدست آمده از این روش در همسایگی $x = 0$ مایوس کننده می‌باشد.

جهت بررسی بیشتر معادله (۲۲-۱) و یافتن پارامتر مناسب بسط، معادله به صورت زیر در نظر گرفته شود.

$$y \frac{dx}{dy} + x = -\varepsilon y \quad (31-1)$$

$$\frac{d}{dy}(xy) = -\varepsilon y \quad (32-1)$$

$$xy = 1 + \frac{1}{2} \varepsilon (1 - y^2) \quad (33-1)$$

$$y^2 + \frac{2}{\varepsilon} xy = \frac{2}{\varepsilon} + 1 \quad (34-1)$$

$$y = -\frac{x}{\varepsilon} + \left(\frac{x^2}{\varepsilon^2} + \frac{2}{\varepsilon} + 1 \right)^{1/2} \quad (35-1)$$

در زمانی که $x \rightarrow 0$ میل می کند $y \rightarrow \left[\left(\frac{2}{\varepsilon} + 1 \right)^{1/2}$

حال فرض مسأله این گونه در نظر گرفته شود که فرم بسط پرتوربیشن به صورت زیر باشد.

$$y = y_0 + \varepsilon^{-1} y_1 + \varepsilon^{-2} y_2 \quad (36-1)$$

با قرار دادن این فرم جواب در معادله (30-1)، بسط و مساوی صفر قرار دادن ضرایب توان‌های ε

برای $\varepsilon^1, \varepsilon^0, \varepsilon^{-1}$ معادلات زیر مشاهده می شوند.

$$\varepsilon \rightarrow y_0 \frac{dy_0}{dx} = 0 \quad (37-1)$$

$$x = 1 \rightarrow y_0 = 1$$

$$\varepsilon^0 \rightarrow y_0 \frac{dy_1}{dx} + y_1 \frac{dy_0}{dx} = -x \frac{dy_0}{dx} - y_0 \quad (38-1)$$

$$x = 1 \rightarrow y_1 = 0$$

$$\varepsilon^{-1} \rightarrow y_0 \frac{dy_2}{dx} + y_2 \frac{dy_0}{dx} = -x \frac{dy_1}{dx} - y_1 \frac{dy_1}{dx} - y_1 \quad (39-1)$$

$$x = 1 \rightarrow y_2 = 0$$

حل معادلات فوق نتایج زیر را بدست می دهد.

$$\begin{aligned}
 y_0 &= 1 \\
 y_1 &= 1 - x \\
 y_2 &= \frac{1}{2}(x^2 - 1)
 \end{aligned}
 \tag{۴۰-۱}$$

$$y = 1 + \varepsilon^{-1}(1 - x) + \varepsilon^{-2} \frac{1}{2}(x^2 - 1)
 \tag{۴۱-۱}$$

که نقطه ناپیوستگی در آن مشاهده نمی‌شود.

همانطور که مشاهده شد وجود مقادیر پرتوربیشن اساس این روش می‌باشند ولی این مقدار پرتوربیشن باعث محدودیت‌هایی برای این روش می‌شود. اولاً غیرممکن است که هر معادله غیرخطی شامل مقادیر پرتوربیشن باشد. این یک محدودیت آشکار برای این روش می‌باشد. ثانیاً تقریب‌های تحلیلی از معادلات غیرخطی هنگامی که ترم‌های غیرخطی زیاد و یا دارای رتبه‌ی بالا باشند دارای مشکل می‌شوند. بنابراین تقریب پرتوربیشن تنها برای معادلاتی با ترم‌های غیرخطی ضعیف معتبر است.

نیروی دراگ^۱ ناشی از جریان یکنواخت روی کره را که یک مسأله کلاسیک در مکانیک سیالات است را در نظر بگیرید. این مسأله بر اساس معادلات ناویراستوکس^۲ می‌باشد. از سال ۱۸۵۱ هنگامی که استوکس این مسأله را در نظر گرفت بسیاری از دانشمندان مبادرت به حل آن با استفاده از تئوری‌های خطی مانند پرتوربیشن آسان^۳، پرتوربیشن تطبیقی^۴ نمودند اما تمام این تئوری‌های قبلی تنها برای اعداد رینولدز پایین با نتایج آزمایشگاهی مطابق بودند. بنابراین همانگونه که وایت^۵ بیان نمود که تفکر استفاده از جریان خزشی در جهت بسط و گسترش آن به رینولدزهای بالا موفق نبوده است ممکن است تا حدی مربوط به این واقعیت باشد که تکنیک‌های پرتوربیشن با هیچ روشی همگرایی حل و

^۱ - Drag

^۲ - Stockes

^۳ - Straightforward Perturbation

^۴ - Matching Perturbation

^۵ - White

همچنین نرخ تقریب‌های پرتوربیشن را کنترل نمی‌نمایند. بستگی روش‌های پرتوربیشن به مقادیر و پارامترهای کوچک می‌تواند با معرفی یک پارامتر کوچک ساختگی اجتناب شود. در سال ۱۸۹۲

لیاپونو^۱ معادله $\frac{dx}{dt} : A(t).x$ را در نظر گرفت، که یک ماتریس متناوب زمانی است. او یک پارامتر

ساختگی (ε) را مطرح نمود و این پارامتر را این‌گونه در معادله قرار داد.

$$\frac{dx}{dt} : A(t).x.\varepsilon \quad (42-1)$$

سپس بسط‌های سری بر روی ε را محاسبه کرد. در بسیار از حالت‌ها او اثبات نمود که سری‌ها در $\varepsilon = 1$ همگرا می‌شوند و بنابراین می‌توان $\varepsilon = 1$ را در آخرین عبارت قرار داد. این روش پارامتری ساختگی لیاپونو^۲ نامیده می‌شود. این تفکر بعدها توسط کارمیشینتال^۳ در جهت پیشنهاد روشی به نام بسط δ [۸] بکار گرفته شد. وی یک پارامتر ساختگی دیگر بنام δ را معرفی کرد و آن را در معادله این‌گونه قرار داد.

$$x^5 + x = 1 \quad (43-1)$$

$$x^{1+\delta} + x = 1$$

وی آنگاه معادله را حول δ بسط داده و جواب‌ها را با استفاده از تقریب *Pade* بدست آورد. و در نهایت δ را در برابر ۴ در نظر گرفت. روش بسط δ با روش آقای لیاپونو یکسان می‌باشد. توجه شود هر دو روش یک ضریب ساختگی را معرفی می‌کنند. اگر چه مکان این دو پارامتر مختلف می‌باشد. علاوه بر این در قرار گرفتن δ در مکانهای مختلف شخص آزادی عمل دارد.

$$\delta x^5 + x = 1 \quad (44-1)$$

^۱ - Lyapunov

^۲ - Lyapunov artificial small parameter

^۳ - Karmishinetal

^۴ - δ - Expansion

همانطور که کارمیشینتال بیان کرد، تقریبی که از معادله‌ی بالا بدست می‌آید بسیار از مکان قرارگیری قبلی δ بدتر می‌باشد واضح است هر دو روش پارامتر ساختگی لیاپونو و بسط δ احتیاج به قانون‌های اصولی دارند تا مکان قرارگیری مناسب این پارامترها (ε یا δ) در معادله به خوبی مشخص شود. این دو روش هم مانند روش پرتوربیشن قادر به کنترل نمودن حل و نرخ سری‌های تقریب زده شده نمی‌باشند.

۱-۲- روش هموتوپی پرتوربیشن HPM

هی^۱ روش هموتوپی پرتوربیشن^۲ را برای اولین بار در حال ۱۹۹۸ ارائه نمود [۹] و برای یک سری معادلات دیفرانسیل معمولی غیرخطی از جمله معادله دافینگ^۳ از مرتبه غیرخطی درجه سوم مورد استفاده قرار داد و نشان داد که روش جدید بر روش پرتوربیشن کلاسیک مزیت دارد. تقریب‌های بدست آمده از این روش نه تنها برای مقادیر کوچک از پارامتر پرتوربیشن بلکه برای مقادیر بزرگ نیز دارای اعتبار است.

وی در سال ۲۰۰۰ روش هموتوپی پرتوربیشن را برای یکسری از معادلات غیرخطی ارتعاشی مورد استفاده قرار داد و مزایای این روش را نسبت به روش پرتوربیشن کلاسیک برشمرد [۱۰] پس از آن در سال ۲۰۰۴ این روش را برای تحلیل کمی نوسان‌سازهای غیرخطی دارای گسستگی به کار برد. وی در سال ۲۰۰۵ به کمک همکارانش از این روش برای تحلیل یک مدل دینامیکی غیرخطی جدید از ماشین نخ تابی استفاده کرد و در تحقیق خود زاویه بهینه همگرایی دو رشته نخ را در موقعیت تعادل ۹۰ درجه و رزونانس را در ۲۷۰ درجه بدست آورد [۱۱]. همچنین او در همین سال این روش را در حل معادلات موج غیرخطی نیز بکار برد [۱۲] وی در سال ۲۰۰۶ از این روش برای حل معادلات دیفرانسیل معمولی غیرخطی با مرتبه غیرخطی درجه دوم و سوم که مربوط به نوسان‌سازهای

^۱ - He

^۲ - Homotopy Perturbation Method

^۳ - Duffing

غیرخطی هستند استفاده کرد؛ به گونه‌ای که حدس اولیه به شکل تابع بیضوی ژاکوبی^۱ در نظر گرفته شد. و نتیجه بدست آمده با حل عددی مقایسه گردید و مشاهده شد که با این حدس اولیه الگوریتم بسیار ساده شده و دارای دقت بسیار بالایی می‌باشد [۱۳] به جز او مولفان دیگری نیز از این روش در حل معادلات غیرخطی استفاده کردند. به عنوان مثال سیدی کوی^۲ و همکاران او در ۲۰۰۶ در حل معادلات مربوط به حرکت لایه باریک از سیال غیرنیوتنی بر روی یک تسمه متحرک [۱۴] از این روش استفاده نمودند. همچنین دومیری گنجی^۳ و همکارانش در سال ۲۰۰۶ در حل معادلات غیرخطی تشعشع [۱۵] و در سال ۲۰۰۷ در حل معادلات غیرخطی در انتقال حرارت از این روش استفاده نمودند [۱۶].

۱-۲-۱- اساس روش هموتویی پرتوربیشن

همانطور که در بخش پرتوربیشن توضیح داده شد، روش پرتوربیشن در عین سادگی و کارایی دارای معایبی می‌باشد. یکی از مهمترین معایب این روش، عدم وجود پارامتر بزرگ یا کوچک در بسیاری از مسایل می‌باشد. ثانیاً مشخص نمودن پارامتر کوچک در این روش نیاز به مهارت کافی دارد بطوریکه انتخاب پارامتر کوچک مناسب جواب ایده‌آل بدست می‌دهد در صورتی که انتخاب نامناسب، جوابهایی کاملاً دوراز واقعیت را در پی خواهد داشت.

در این بخش به تشریح روش HPM که معایب ذکر شده را ندارد پرداخته خواهد شد [۱۷]:

معادله غیرخطی زیر را در نظر گرفته شود.

^۱ - *Jacoby*

^۲ - *Siddiqui*

^۳ - *D.D.Ganji*

$$A(u) - f(r) = 0, r \in \Omega \quad (45-1)$$

که دارای شرایط مرزی زیر است.

$$B(u, \partial u / \partial n) = 0, r \in \Gamma \quad (46-1)$$

که در آن A عملگر عمومی مشتق، B عملگر مرزی، $f(r)$ تابع تحلیلی معلوم، Γ محدوده حل می‌باشد.

عملگر A به دو قسمت خطی و غیرخطی L و N تقسیم می‌شود.

معادله (45-1) به صورت زیر در می‌آید.

$$L(u) + N(u) - f(r) = 0 \quad (47-1)$$

به کمک تکنیک هموتوپی [19-18] هموتپی $v(r, p) : \Omega \times [0, 1] \rightarrow R$ ساخته می‌شود که معادله زیر را ارضا می‌کند.

$$H[v, p] = (1 - p)[L(v) - L(u_0)] + p[A(v) - f(r)] = 0, p \in [0, 1], r \in \Omega \quad (48-1)$$

یا

$$H[v, p] = L(v) - L(u_0) + pL(u_0) + p[N(v) - f(r)] = 0, p \in [0, 1], r \in \Omega \quad (49-1)$$

که در آن $p \in [0, 1]$ یک پارامتر محاط کننده^۱ است، u_0 تقریب اولیه از معادله (48-1) می‌باشد که شرایط مرزی را ارضا می‌کند. از معادله (48-1) یا (49-1) نتیجه می‌شود.

$$H(v, 0) = L(v) - L(u_0) = 0 \quad (50-1)$$

$$H(v, 1) = A(v) - f(r) \quad (51-1)$$

^۱ - embedding

با میل نمودن مقدار p از ۰ به سمت ۱، $v(r, p)$ از $u_0(r)$ به $u(r)$ میل می‌کند. در توپولوژی^۱، این فرایند «تغییر شکل»^۲ نامیده می‌شود و ترم‌های $L(v) - L(u_0)$ و $A(v) - f(r)$ هموتوپیک^۳ نامیده می‌شوند [۱۷، ۲۰].

در HPM پارامتر p بجای پارامتر کوچک در پرتوربیشن عمل می‌کند و جواب معادله (۱-۴۵) به صورت توانهایی از p در نظر گرفته می‌شود.

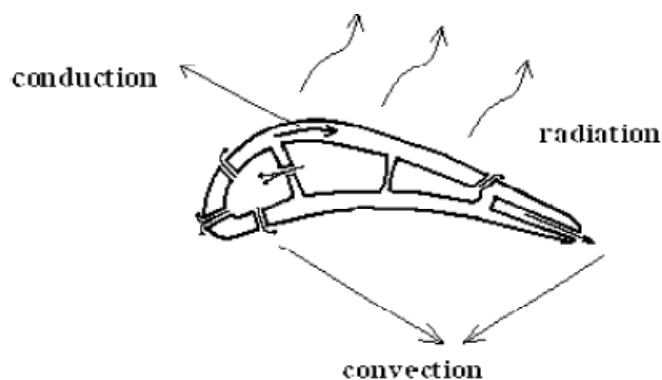
$$v = v_0 + v_1 p + v_2 p^2 + \dots \quad (۵۲-۱)$$

با میل نمودن $p \rightarrow 1$ سری فوق به سمت جواب معادله v میل می‌کند.

$$u = \lim_{p \rightarrow 1} v = v_0 + v_1 + v_2 + \dots \quad (۵۳-۱)$$

سری فوق در اکثر مواقع همگرا می‌باشد. با این وجود نرخ همگرایی به عملگر غیرخطی $A(v)$ بستگی دارد.

۱-۲-۲- تشریح روش هموتوپیی پرتوربیشن با ذکر دو مثال



^۱ - TOPOLOGY

^۲ - Deformation

^۳ - Homotopic

شکل (۲-۱): سیستم ترکیبی جابجایی و تشعشع سرمایه‌ش Lumped [۲۱]

مثال اول:

یک سیستم سرمایه‌ش *Lumped* با ترکیبی از جابجایی و تشعشع در شکل (۲-۱) نشان داده شده است و معادله حرارت حاکم بر آن به شکل زیر است [۲۱].

$$\left(\frac{d\theta}{d\tau}\right) + (\theta - \theta_a) + \varepsilon(\theta^4 - \theta_s^4) = 0 \quad (54-1)$$

با فرض $\theta_a = \theta_s = 0$ و جداسازی قسمت‌های خطی و غیرخطی معادله به فرم ذیل در می‌آید.

$$\left[\left(\frac{d\theta}{d\tau}\right) + \theta\right] + [\varepsilon\theta^4] = 0 \quad (55-1)$$

فرم هموتپی تشکیل شده به شکل زیر است.

$$H(v, p) = L(v) - L(\theta_0) + pL(\theta_0) + p(\varepsilon v^4) = 0 \quad (56-1)$$

$$L(v) = dv / d\tau + v \quad (57-1)$$

$$L(\theta_0) = d\theta_0 / d\tau + \theta_0$$

با فرض $\frac{d\theta_0}{d\tau} = \theta_0 = 0$ و جایگذاری $v = v_0 + pv_1 + p^2v_2 + \dots$ در معادله $H(v, p)$ و پس از

جداسازی ضرایب توانهای p و مساوی صفر قرار دادن هر یک از آنها خواهیم داشت.

$$\begin{aligned} HPM := & \frac{d}{d\tau} v_0(\tau) + p \left(\frac{d}{d\tau} v_1(\tau) \right) + p^2 \left(\frac{d}{d\tau} v_2(\tau) \right) + v_0(\tau) \\ & + p v_1(\tau) + p^2 v_2(\tau) - \left(\frac{d}{d\tau} \theta_0(\tau) \right) - \theta_0(\tau) \\ & + p \left(\frac{d}{d\tau} \theta_0(\tau) + \theta_0(\tau) \right) + p \varepsilon (v_0(\tau) + p v_1(\tau) \\ & + p^2 v_2(\tau))^4 \end{aligned} \quad (58-1)$$

$$\begin{aligned}
HPM := & p^9 \varepsilon v_2(\tau)^4 + 4p^8 \varepsilon v_1(\tau) v_2(\tau)^3 + \left(6\varepsilon v_1(\tau)^2 v_2(\tau)^2 \right. \\
& + 4\varepsilon v_0(\tau) v_2(\tau)^3 \Big) p^7 + \left(4\varepsilon v_1(\tau)^3 v_2(\tau) \right. \\
& + 12\varepsilon v_0(\tau) v_1(\tau) v_2(\tau)^2 \Big) p^6 + \left(6\varepsilon v_0(\tau)^2 v_2(\tau)^2 \right. \\
& + \varepsilon v_1(\tau)^4 + 12\varepsilon v_0(\tau) v_1(\tau)^2 v_2(\tau) \Big) p^5 \\
& + \left(4\varepsilon v_0(\tau) v_1(\tau)^3 + 12\varepsilon v_0(\tau)^2 v_1(\tau) v_2(\tau) \right) p^4 \\
& + \left(6\varepsilon v_0(\tau)^2 v_1(\tau)^2 + 4\varepsilon v_0(\tau)^3 v_2(\tau) \right) p^3 + \left(\frac{d}{d\tau} v_2(\tau) \right. \\
& + v_2(\tau) + 4\varepsilon v_0(\tau)^3 v_1(\tau) \Big) p^2 + \left(\frac{d}{d\tau} \theta_0(\tau) + \theta_0(\tau) \right. \\
& + \varepsilon v_0(\tau)^4 + \frac{d}{d\tau} v_1(\tau) + v_1(\tau) \Big) p + \frac{d}{d\tau} v_0(\tau) \\
& - \left(\frac{d}{d\tau} \theta_0(\tau) \right) - \theta_0(\tau) + v_0(\tau)
\end{aligned} \tag{59-1}$$

$$p^0 \rightarrow \frac{dv_0}{d\tau} + v_0 = 0 \tag{60-1}$$

$$\tau = 0 \rightarrow v_0 = 1$$

$$p^1 \rightarrow \frac{dv_1}{d\tau} + v_1 + \varepsilon v_0^4 = 0 \tag{61-1}$$

$$\tau = 0 \rightarrow v_1 = 0$$

$$p^2 \rightarrow \frac{dv_2}{d\tau} + v_2 + 4\varepsilon v_0^3 v_1 = 0 \tag{62-1}$$

$$\tau = 0 \rightarrow v_2 = 0$$

حل این معادلات منجر به جواب‌های زیر خواهد شد.

$$v_0 = e^{-\tau} \tag{63-1}$$

$$v_1 = \frac{\varepsilon}{3} (e^{4\tau} - e^{-\tau}) \tag{64-1}$$

$$v_2 = \frac{2}{9} \varepsilon^2 (e^{-\tau} - 2e^{-4\tau} + e^{-7\tau}) \tag{65-1}$$

$$\theta = (v_0 + pv_1 + \dots) = e^{-\tau} + \frac{1}{3}\varepsilon(e^{4\tau} - e^{-\tau}) + \frac{2}{9}\varepsilon^2(e^{-\tau} - 2e^{-4\tau} + e^{-7\tau}) \quad (66-1)$$

که جواب معادله می باشد.

مثال دوم:

مثال دوم حل معادله حاکم بر رسانش^۱ یک بعدی در یک قطعه به ضخامت L که از ماده‌ای ساخته شده است که درجه حرارت آن وابسته به ضریب انتقال حرارت k می باشد. فرض بر این است که دو طرف ماده در دماهای ثابت T_1, T_2 که $T_1 > T_2$ است، قرار دارند. معادله کنترل و شرایط مرزی حاکم بر آن به صورت زیر است [۲۰].

$$\begin{aligned} \frac{d}{dx} \left(k \frac{dT}{dx} \right) &= 0 \\ x = 0 &\rightarrow T = T_1 \\ x = L &\rightarrow T = T_2 \end{aligned} \quad (67-1)$$

چنانچه هدایت گرمایی با دما بنا به معادله زیر تغییر کند:

$$k = k_2[1 + \beta(T - T_2)] \quad (68-1)$$

که k_2 ضریب هدایت حرارتی در دمای T_2 و β یک ثابت می باشد.

پارامترهای بی بعد زیر ساخته می شوند.

$$\theta = \frac{T - T_2}{T_1 - T_2} \quad (69-1)$$

$$\varepsilon = \beta(T_1 - T_2) = \frac{k_1 - k_2}{k_2} \quad (70-1)$$

^۱ - Conduction

$$X = \frac{x}{L} \quad (71-1)$$

معادله کنترل به شکل زیر در می آید [۲۰].

$$\frac{d}{dX} \left[(1 + \varepsilon\theta) \frac{d\theta}{dX} \right] = 0$$

$$X = 0 \rightarrow \theta = 1 \quad (72-1)$$

$$X = 1 \rightarrow \theta = 0$$

و فرم هموتوپی آن نیز به شکل زیر می باشد:

$$H[v, p] = L(v) - L(\theta_0) + pL(\theta_0) + p \left[\varepsilon\theta \frac{d^2\theta}{dX^2} + \varepsilon \left(\frac{d\theta}{dX} \right)^2 \right] = 0 \quad (73-1)$$

$$L(v) = \frac{d^2v}{dX^2} \quad (74-1)$$

$$L(\theta_0) = \frac{d^2\theta_0}{dX^2} \quad (75-1)$$

با فرض $\frac{d^2\theta_0}{dX^2} = 0$ و جاگذاری $v = v_0 + v_1p + v_2p^2 + \dots$ در معادله (۷۳-۱) و جداسازی توانهای

p و معادل صفر قرار دادن آنها معادلات ذیل ظاهر می شوند.

$$p^0 \rightarrow \frac{d^2v_0}{dX^2} = 0$$

$$X = 0 \rightarrow v_0 = 1 \quad (76-1)$$

$$X = 1 \rightarrow v_0 = 0$$

$$p^1 \rightarrow \frac{d^2v_1}{dX^2} + \varepsilon(v_0 \frac{d^2v_0}{dX^2} + (\frac{dv_0}{dX})^2) = 0$$

$$X = 0 \rightarrow v_0 = 0 \quad (77-1)$$

$$X = 1 \rightarrow v_0 = 0$$

$$p^2 \rightarrow \frac{d^2v_2}{dX^2} + \varepsilon(v_0 \frac{d^2v_1}{dX^2} + v_1 \frac{d^2v_0}{dX^2} + 2 \frac{dv_0}{dX} \frac{dv_1}{dX}) = 0$$

$$X = 0 \rightarrow v_2 = 0 \quad (78-1)$$

$$X = 1 \rightarrow v_2 = 0$$

و جواب های زیر بدست می آید.

$$v_0 = -X + 1 \quad (79-1)$$

$$v_1 = -\frac{\varepsilon}{2} X^2 + \frac{\varepsilon}{2} X \quad (80-1)$$

$$v_2 = \varepsilon^2 \left(-\frac{1}{2} X^3 + X^2 \right) - \frac{\varepsilon^2}{2} X \quad (81-1)$$

$$\theta = -X + 1 - \frac{\varepsilon}{2} X^2 + \frac{\varepsilon}{2} X + \varepsilon^2 \left(-\frac{1}{2} X^3 + X^2 \right) - \frac{\varepsilon^2}{2} X \quad (82-1)$$

۱-۳- روش حساب تغییرات تکراری « VIM »

در سال ۱۹۷۸ اینوکوتی^۱ برای اولین بار روش عمومی ضرایب لاگرانژ^۲ را برای حل معادلات موجود در مکانیک محیط‌های پیوسته پیشنهاد کرد [۲۲]. مشخصه کلی این روش عبارت است از:

- حل مساله ریاضی با استفاده از فرض خطی‌سازی و به کارگیری تقریب اولیه در تابع آزمایشی صورت می‌گیرد.

- سپس تقریبی با دقت بالاتر در برخی نقاط خاص حاصل می‌گردد.

سیستم غیرخطی زیر را در نظر بگیرید.

$$Lu + Nu = g(x) \quad (83-1)$$

L یک عملگر خطی و N یک عملگر غیرخطی می‌باشند. با فرض اینکه $u_0(x)$ جواب قسمت خطی مسأله باشد « $Lu = 0$ »، عبارتی برای اصلاح مقدار نقاط خاص- برای مثال $-x = 1$ بدست می‌آید [۲۲-۲۳].

$$u_{cor}(1) = u_0(1) + \int_0^1 \lambda (Lu_0 + Nu_0 - g) dx \quad (84-1)$$

که در آن λ ضریب عمومی لاگرانژ است که بصورت بهینه از طریق تئوری تغییرات^۱ مشخص می‌گردد [۲۳]. جمله دوم معادله سمت راست را تصحیح کننده^۲ می‌نامند.

^۱ - Inokuti

^۲ - Lagrange

روش حساب تغییرات تکراری^۳ برای اولین بار توسط هی در سال ۱۹۹۷ ارائه گردید [۲۴] و برای یک سری معادلات معمولی و معادلات دیفرانسیل مشتق جزئی PDE غیرخطی از جمله معادله دیفرانسیل معمولی دافینگ از مرتبه غیرخطی درجه سوم مورد استفاده قرار گرفت. پس از آن در سال ۲۰۰۰ این روش را برای معادلات دیفرانسیل غیرخطی با عوامل غیرخطی از نوع ضرایب کانولوشن^۴ به کار گرفت [۲۵] وی در همین سال از این روش در حل معادلات بلازیوس^۵ [۲۶] و معادله نفوذ جریان با مشتقات کسری در اجسام متخلخل^۶ [۲۷] نیز استفاده کرد. در سال ۲۰۰۰ با استفاده از روش VIM دینامیک سیستم غیرخطی یاتاقان غلطشی^۷ را مورد مطالعه قرار داد و جواب تحلیلی معادله مسیو^۸ را بدست آورد [۲۸] وی در همان سال این روش را برای سیستمهای معادلات دیفرانسیل معمولی مستقل به کار گرفت [۲۹]. وی در سال ۲۰۰۶ مفاهیم روش حساب تغییرات تکراری و کاربرد آن در نوسان‌سازهای غیرخطی به گونه‌ای سیستماتیک تشریح کرد [۳۰] به جز او ابوالوفا^۹ در سال ۲۰۰۵ در تحلیل سیال غیرخطی درون لوله [۳۱] و گنجی در سال ۲۰۰۷ در حل مسایل انتقال حرارت غیرخطی [۱۵] از این روش استفاده کردند.

۱-۳-۱- اساس روش حساب تغییرات تکراری

^۱ - *Varial theory*

^۲ - *Corrective*

^۳ - *Variational Iteration Method*

^۴ - *Convolution*

^۵ - *Blasius*

^۶ - *Porous*

^۷ - *Rotating*

^۸ - *Mesio*

^۹ - *Abolvafa*

هی در مقاله‌ای در سال ۱۹۹۹ به اصلاح روش بیان شده توسط اینوکوتی به صورت زیر پرداخت [۲۳].

$$u_{cor}(1) = u_0(1) + \int_0^1 \lambda(Lu_0 + Nu_0 - g)dx \quad (۸۵-۱)$$

که $u_0(x)$ یک تقریب اولیه^۱ با مجهولات مشخص می‌باشد. برای هر x_0 دلخواه معادله (۳) را می‌توان به صورت زیر نوشت [۱۵،۲۳].

$$u_{n+1}(x) = u_n(x) + \int_0^x \lambda\{Lu_n(\xi) + N\tilde{u}_n(\xi) - g(\xi)\}d\xi \quad (۸۶-۱)$$

معادله (۸۶-۱) یک تابع اصلاح^۲ نامیده می‌شود. روش اصلاح شده VIM دارای مزایایی مانند کارایی، سادگی کاربرد، دقت بالا برای بسیاری از معادلات غیرخطی و سرعت بالای همگرایی می‌باشد.

مساله مهم در استفاده از این روش تعیین ترم اولیه $u_0(t)$ است. زیرا این ترم به صورت اختیاری انتخاب می‌گردد و باید در شرایط مرزی داده شده معادله صدق کند. بهترین حالت برای این انتخاب، انتخاب یک تابع از درجه مناسب با ثوابت معین است که با توجه به بالاترین درجه معادله دیفرانسیل تعیین می‌شود [۱۵].

پیدا نمودن λ یکی از مسایل مهم در این روش می‌باشد. محاسبه λ که افزاینده لاگرانژ نام دارد تأثیر زیادی در سرعت همگرایی جواب‌های معادله داشته و اولین بار توسط هی [۲۳] تکمیل شده و توسط دهقان^۳ [۳۲] و دومیری گنجی [۱۵] توسعه داده شد. در روش اصلاح شده‌ای که توسط گنجی [۲۰-۳۳] ارائه شده بدون نیاز به حل دستی، ضریب λ محاسبه شده و در فرمول VIM قرار می‌گیرد.

^۱ - Initial approximation

^۲ - Correction function

^۳ - Dehghan

در جدول (۱-۱) برای برخی از معادلات مقدار λ محاسبه شده نمایش داده می‌شود. همچنین در مقاله ای [۳۴] کُد محاسبه این ضریب نوشته شده است.

جدول (۱-۱): مقایسه بدست آمده افزاینده لاگرانژ از کد نوشته شده [۳۴] و منابع دیگر

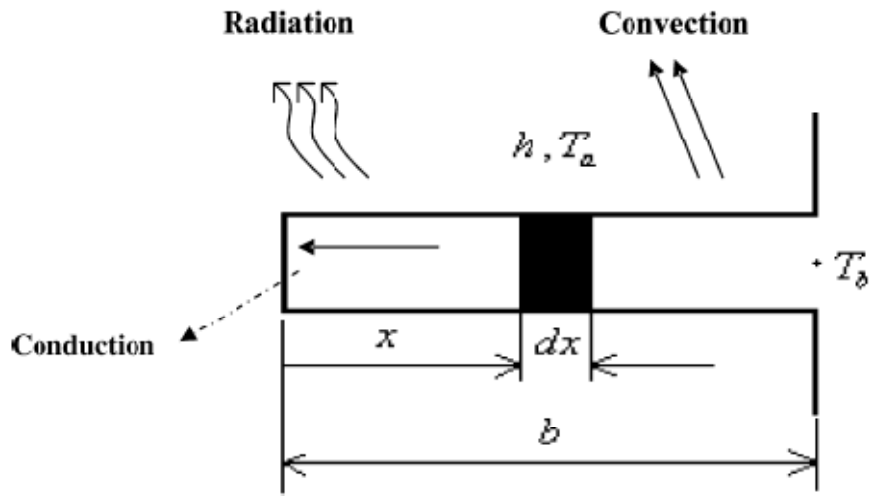
Table 2. Comparisons between λ 's obtained using the program and λ 's calculated in different published articles.

| No. | equation | Linear part of equation | λ in article | λ obtain from program | Ref |
|-----|---------------------------------|---------------------------|--|--|------|
| 1 | $y'' + \omega^2 y = f(t)$ | $y'' + \omega^2 y - f(t)$ | $\lambda = \frac{1}{\omega} \sin \omega(\tau - t)$ | $\lambda = -\frac{\sin(\omega(t - \tau))}{\omega}$ | [1] |
| 2 | $y'' + \omega^2 \bar{y} = 0$ | y'' | $\lambda = \tau - t$ | $\lambda = \tau - t$ | [1] |
| 3 | $T'' + T + x = 0$ | $T'' + T + x$ | $\lambda = \sin(s - x)$ | $\lambda = -\sin(x - s)$ | [2] |
| 4 | $[1 + \varepsilon u]u' + u = 0$ | $u' + u$ | $\lambda = -e^{(t-\tau)}$ | $\lambda = -e^{-(t+\tau)}$ | [10] |
| 5 | $u_t + i u_{xx} = 0$ | u_t | $\lambda = -1$ | $\lambda = -1$ | [8] |
| 6 | $i u_t + u_{xx} + 2 u ^2 u = 0$ | $i u_t$ | $\lambda = i$ | $\lambda = -\frac{1}{i}$ | [8] |
| 7 | $u''' + \frac{1}{2} u u'' = 0$ | u''' | $\lambda = -\frac{1}{2} (\zeta - x)^2$ | $\lambda = -\frac{1}{2} (x - \zeta)^2$ | [9] |
| 8 | $x' - \bar{x}(a - by) = 0$ | x' | $\lambda_1 = -1$ | $\lambda_1 = -1$ | [11] |
| | $y' + \bar{y}(c - dx) = 0$ | y' | $\lambda_2 = -1$ | $\lambda_2 = -1$ | |

۱-۳-۲- تشریح روش حساب تغییرات تکراری با ذکر مثال

مثالی که با آن به بررسی الگوریتم روش VIM پرداخته شود به شرح زیر می‌باشد. انتقال حرارت یک بعدی در یک فین مستقیم به طول L و مقطع عرضی A و محیط p را در نظر بگیرید. سطح فین گرما را از دو طریق رسانش و تشعشع^۱ منتقل می‌کند. (شکل (۱-۳) را ببینید).

^۱ - Radiation



شکل (۳-۱): انتقال حرارت در یک فین مستقیم [۳۵]

دمای هوای اطراف T_a ، دمای جذب موثر^۱ برای انتقال حرارت تشعشعی T_s است. همچنین دمای پایه فین T_b می باشد و انتقال حرارتی از نوک فین وجود ندارد. همچنین فرض شده است که ضریب انتقال حرارت جابجایی h و ضریب قابلیت نشر سطح^۲ E_g ثابت اند. در حالی که ضریب رسانش k می تواند تغییر کند. معادله انرژی و شرایط مرزی برای فین به صورت زیر است [۳۵].

$$\frac{d}{dx} \left(k \frac{dT}{dx} \right) - \frac{hp}{A} (T - T_a) - \frac{E_g \sigma}{A} (T^4 - T_s^4) = 0 \quad (۸۷-۱)$$

$$x = 0 \rightarrow \frac{dT}{dx} = 0$$

$$x = L \rightarrow T = T_b$$

k یک تابع خطی از درجه حرارت به شکل زیر است.

$$k = k_a (1 + \beta(T - T_a)) \quad (۸۸-۱)$$

^۱ - Effective Sink Temperature

^۲ - Emissivity coefficient of surface

بی‌بعدسازی و تغییر پارامترها به طریق ذیل می‌باشد.

$$\theta = \frac{T}{T_b} \quad (89-1)$$

$$\theta_a = \frac{T_a}{T_b} \quad (90-1)$$

$$\theta_s = \frac{T_s}{T_b} \quad (91-1)$$

$$X = \frac{x}{L} \quad (92-1)$$

$$N^2 = \frac{hpL^2}{k_a A} \quad (93-1)$$

$$\varepsilon_1 = \beta T_b \quad (94-1)$$

$$\varepsilon_2 = \frac{E_g \sigma T_b^3 p L^3}{k_a A} \quad (95-1)$$

و بدین‌گونه معادله (87-1) به فرم زیر در می‌آید.

$$\frac{d}{dX} \{ [1 + \varepsilon_1(\theta - \theta_a)] \frac{d\theta}{dX} \} - N^2(\theta - \theta_a) - \varepsilon_2(\theta^4 - \theta_s^4) = 0$$

$$X = 0 \rightarrow \frac{d\theta}{dX} = 0 \quad (96-1)$$

$$X = 1 \rightarrow \theta = 1$$

با فرض $\theta_a = \theta_s = 0$ داریم.

$$\frac{d^2\theta}{dX^2} - N^2\theta + \varepsilon_1 \left(\frac{d\theta}{dX} \right)^2 + \varepsilon_1\theta \frac{d^2\theta}{dX^2} - \varepsilon_2\theta^4 = 0 \quad (97-1)$$

مطابق روش VIM، تابع تصحیح معادله قبل به فرم زیر ساخته می‌شود.

$$\theta_{n+1}(x) = \theta_n(x) + \int_0^x \lambda(\theta_n''(t) - N^2\theta_n(t) + \varepsilon_1(\theta_n'(t))^2 + \varepsilon_1(\theta_n(t)\theta_n''(t)) - \varepsilon_2\theta_n^4(t))dt \quad (98-1)$$

که λ افزاینده لاگرانژ عمومی است. با استفاده از روش توضیح داده شده [۳۴]، با حل معادلات زیر به دست می‌یابیم.

$$\begin{aligned} \lambda''(t) - N^2\lambda(t) &= 0 \\ 1 - \lambda'(t)_{t=x} &= 0 \\ \lambda(t)_{t=x} &= 0 \end{aligned} \quad (99-1)$$

و λ به صورت زیر بدست می‌آید.

$$\lambda = -\frac{1}{2} \left[\frac{e^{N(x-t)} - e^{N(t-x)}}{N} \right] \quad (100-1)$$

با جاگذاری λ بدست آمده در معادله (98-1) و در نظر گرفتن این نکته که $\theta_n(x)$ بایستی شرایط مرزی را ارضا کنند ضریب دیگری به نام C_n معرفی می‌گردد که باید در هر موضوع آشفتگی معین گردد.

$$\theta_{n+1}(x) = C_n \left(\theta_n(x) - \int_0^x \frac{1}{2} \frac{e^{N(x-t)} - e^{N(t-x)}}{N} \{ \theta_n''(t) - N^2\theta_n(t) + \varepsilon_1(\theta_n'(t))^2 + \varepsilon_1(\theta_n(t)\theta_n''(t)) - \varepsilon_2\theta_n^4(t) \} dt \right) \quad (101-1)$$

حدس اولیه دلخواهی که شرایط اولیه را ارضا کند به شکل زیر است.

$$\theta_0(x) = \operatorname{sech}(N) \cosh(Nx) \quad (102-1)$$

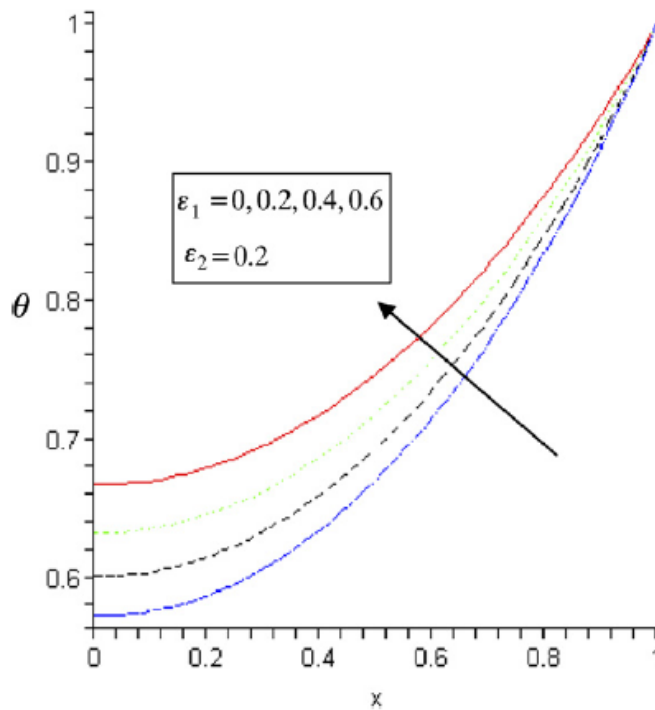
و با استفاده از تکنیک VIM برای $\theta_n(x)$ جواب ذیل حاصل می‌گردد.

$$\theta_1(x) = C_0 \left(\theta_0(x) - \int_0^x \frac{1}{2} \frac{e^{N(x-t)} - e^{N(t-x)}}{N} \{ \theta_0''(t) - N^2\theta_0(t) + \varepsilon_1(\theta_0'(t))^2 + \varepsilon_1(\theta_0(t)\theta_0''(t)) - \varepsilon_2\theta_0^4(t) \} dt \right) \quad (103-1)$$

با قرار دادن مقدار $\theta(x)$ در معادله فوق معادله (۱-۴) به شکل زیر بدست می آید.

$$\theta_1(x) = C \left(\operatorname{sech}(N) \cosh(Nx) + \frac{1}{240(N^2 \cosh^4(N))} \left(\begin{aligned} &40e^{(5Nx)} \epsilon_1 N^2 \cosh^2(N) - 24e^{(3Nx)} \epsilon_2 + 40e^{(3Nx)} \epsilon_1 N^2 \cosh^2(N) - \\ &24e^{(5Nx)} \epsilon_2 - 120\epsilon_1 N^2 \cosh^2(N) e^{(4Nx)} - 120\epsilon_2 e^{(2Nx)} + \\ &20\epsilon_1 N^2 e^{(6Nx)} \cosh^2(N) - 90\epsilon_2 e^{(4Nx)} + 20\epsilon_1 N^2 e^{(2Nx)} \\ &\cosh^2(N) - 20\epsilon_2 e^{(6Nx)} - \epsilon_2 e^{(8Nx)} - \epsilon_2 e^{(-4Nx)} \end{aligned} \right) \right)$$

شکل (۴-۱) پخش حرارت را در فین به ازای $N=1$ نشان می دهد:



شکل (۴-۱): تابع پخش حرارت در فین به ازای پارامترهای کوچک مختلف

۱-۴- روش تجزیه آدومیان

روش تجزیه آدومیان^۱ توسط ج. آدومیان^۲ در دهه ۸۰ میلادی برای حل مسایل مختلف از جمله مسایل غیرخطی ارائه شد. صورت بهینه شده روش آدومیان برای حل معادلات دیفرانسیلی خطی منحصر به فرد و غیر منحصر به فرد^۳ به کار گرفته شده است [۳۵].

۱-۴-۱- اساس روش تجزیه آدومیان:

معادله‌ای به فرم کلی $F_u = g(t)$ را در نظر بگیرید که F معادله دیفرانسیل غیرخطی معمولی با ترم‌های خطی و غیرخطی می‌باشد. قسمت خطی معادله با Lu نمایش داده می‌شود که L اپراتور خطی مسأله می‌باشد. انتخاب L به گونه‌ای باید باشد که این اپراتور به راحتی وارون پذیر^۴ باشد. حال قسمت خطی مسأله با $Lu + Ru$ نمایش داده شده که L بالاترین مرتبه مشتق موجود در ترم خطی می‌باشد. با انتخاب بالاترین مرتبه مشتق به عنوان اپراتور، وارون این عملگر (L^{-1}) به صورت انتگرال هم مرتبه با بالاترین مرتبه مشتق حاصل می‌شود. ترم‌های باقیمانده از قسمت خطی مسأله با R نمایش داده می‌شود. ترم‌های غیرخطی مسأله با Nu نمایش داده می‌شوند. بنابراین فرم کلی معادله به صورت زیر است.

$$Lu + Ru + Nu = g \quad (1-105)$$

از معادله فوق می‌توان نوشت .

^۱ - *Adomian Decomposition Method*

^۲ - *G.Adomian*

^۳ - *Non – Singular*

^۴ - *invertible*

$$Lu = g - Ru - Nu \quad (1.6-1)$$

$$L^{-1}Lu = L^{-1}g - L^{-1}Ru - L^{-1}Nu \quad (1.7-1)$$

برای مسایل مقدار اولیه، اپراتور L^{-1} برای $L = \frac{d^n}{dt^n}$ به صورت انتگرال مرتبه n -th Order از 0 تا t

می باشد. برای مثال برای اپراتور $L = \frac{d^2}{dt^2}$ می توان نوشت.

$$L^{-1}Lu = u - u(0) - tu'(0) \quad (1.8-1)$$

$$u = u(0) + tu'(0) + L^{-1}g - L^{-1}Ru - L^{-1}Nu \quad (1.9-1)$$

در مورد مسایل مقدار مرزی عملگر مشابهی به صورت زیر تعریف می شود:

فرض کنید L^{-1} یک انتگرال نامحدود باشد. $u = A + Bt$ همان $u(0)$ می باشد که مقادیر A و B باید

از شرایط مرزی بدست آیند. فرم کلی جواب به صورت $u = \sum_{n=0}^{\infty} u_n$ می باشد. در نهایت با فرض اینکه

Nu یک عبارت تحلیلی است می توان Nu را به صورت $Nu = \sum_{n=0}^{\infty} A_n(u_0, u_1, \dots, u_n)$ در نظر گرفت که

A_n همان چند جمله ای آدومیان^۱ برای عبارت غیرخطی خاص می باشند. این جملات فقط به مقادیر

u_0 تا u_n بستگی دارند و یک سری با همگرایی سریع را تشکیل می دهند. A_n به صورت زیر تعریف

می شود [۳۶].

^۱ - Adomian's polynomials

$$\begin{aligned}
A_0 &= f(u_0) \\
A_1 &= u_1 \left(\frac{d}{du_0} f(u_0) \right) \\
A_2 &= u_2 \left(\frac{d}{du_0} f(u_0) \right) + \left(\frac{u_1^2}{2!} \right) \left(\frac{d^2}{du_0^2} f(u_0) \right) \\
A_3 &= u_3 \left(\frac{d}{du_0} f(u_0) \right) + u_1 u_2 \left(\frac{d^2}{du_0^2} f(u_0) \right) + \left(\frac{u_1^3}{3!} \right) \left(\frac{d^3}{du_0^3} f(u_0) \right)
\end{aligned} \tag{۱۱۰-۱}$$

⋮
⋮
⋮

و فرم کلی چند جمله‌ای آدومیان به صورت $A_n = \sum_{v=1}^{\infty} C(v, n) f^{(v)}(u_0)$ می‌باشد.

در حالت خطی که $f(u) = u$ می‌باشد، A_n به u_n تبدیل می‌شود برای مثال اگر $f(u) = u^2$ باشد آنگاه $A_0 = u_0^2$ و $A_1 = 2u_0 u_1$ و $A_2 = u_1^2 - 2u_0 u_2$ و $A_3 = 2u_1 u_2 + 2u_0 u_3$... است. نکته قابل توجه این است که در عبارتهای بالا مجموع زیرنویس‌های هر یک از ترم‌های جملات آدومیان A_n برابر n

می‌باشد. امروزه ثابت شده است که مجموع $\sum_{n=0}^{\infty} A_n$ بر N_u برابر مجموع سری عمومی تیلور^۱ حول

نقطه $u_0(x)$ می‌باشد که $\sum_{n=0}^{\infty} u_n$ برابر با سری عمومی تیلور حول نقطه u_0 است. این سری‌ها با

سرعت $\frac{1}{(mn)!}$ به سمت صفر میل می‌کنند که m بالاترین ترم خطی معادله می‌باشد. جواب یک

معادله غیرخطی که به روش آدومیان حل می‌شود به فرم زیر است [۳۶-۳۷].

$$u = \sum_{n=0}^{\infty} u_n = u_0 - L^{-1} R \sum_{N=0}^{\infty} u_n - L^{-1} \sum_{n=0}^{\infty} A_n \tag{۱۱۱-۱}$$

بسط معادله بالا به صورت زیر است.

$$u = \sum_{n=0}^{\infty} u_n = u_0 + u_1 + u_2 + \dots = u_0 - L^{-1} R \sum_{N=0}^{\infty} u_n - L^{-1} \sum_{n=0}^{\infty} A_n \tag{۱۱۲-۱}$$

^۱ - Taylor

که نتایج زیر را بدست می دهد.

$$u_1 = -L^{-1}Ru_0 - L^{-1}A_0 \quad (113-1)$$

$$u_2 = -L^{-1}Ru_1 - L^{-1}A_1 \quad (114-1)$$

از آنجا که A_0 فقط بستگی به u_0 دارد [۳۶] ترم‌های دیگر به راحتی حاصل می‌شوند. A_1 به u_0 و u_1 بستگی دارد. و A_2 به u_0, u_1, u_2 و ... بسته به دقت مورد نظر می‌توان سری آدومیان را تا تعداد جملات دلخواه برای حل مورد نظر تولید کرد. همگرایی این سری بوسیله یرس شارلوت^۱ به اثبات رسیده است [۳۶].

برای اینکه نشان داده شود که سری حاصل از چند جمله‌ای‌های آدومیان یک فرم عمومی از سری تیلور را تشکیل می‌دهند، معادله (۱۱۵-۱) بکار می‌رود.

$$f(u) = \sum_{n=0}^{\infty} A_n = \left(\begin{array}{l} f(u_0) + u_1 f^{(1)}(u_0) + (u_1^2 / 2!) f^{(2)}(u_0) + \\ u_2 f^{(1)}(u_0) + u_3 f^{(1)}(u_0) + \\ u_1 u_2 f^{(2)}(u_0) + (u_1^3 / 3!) f^{(3)}(u_0) + \dots \end{array} \right) \quad (115-1)$$

که می‌تواند به صورت زیر مرتب شود.

$$\begin{aligned} f(u) &= f(u_0) + (u_1 + u_2 + \dots) f^{(1)}(u_0) + [(u_1^2 / 2!) + u_1 u_2 + \dots] f^{(2)}(u_0) + \dots = \\ f(u_0) &+ [(u - u_0) / 1!] f^{(1)}(u_0) + [(u - u_0)^2 / 2!] f^{(2)}(u_0) + \dots = \\ \sum_{n=0}^{\infty} &[(u - u_0)^n / n!] f^{(n)}(u_0) \end{aligned} \quad (116-1)$$

که عبارت بالا سری تیلور حول نقطه مورد نظر می‌باشد،

فرمول چگونگی بدست آوردن جملات سری آدومیان توضیح داده شد، به عنوان مثال سری آدومیان برای چند تابع دلخواه به صورت زیر است [۳۶-۳۷].

$$Nu = u^3$$

^۱ - Yres cherruault

$$A_0 := u_0^3$$

$$A_1 := 3 u_0^2 u_1$$

$$A_2 := 3 u_0 u_1^2 + 3 u_0^2 u_2$$

$$A_3 := u_1^3 + 6 u_0 u_1 u_2 + 3 u_0^2 u_3$$

$$A_4 := 3 u_1^2 u_2 + 3 u_0 u_2^2 + 6 u_0 u_1 u_3 + 3 u_0^2 u_4$$

$$A_5 := 3 u_1 u_2^2 + 3 u_1^2 u_3 + 6 u_0 u_2 u_3 + 6 u_0 u_1 u_4 + 3 u_0^2 u_5$$

(۱۱۷-۱)

$$Nu = u^5$$

$$A_0 := u_0^5$$

$$A_1 := 5 u_0^4 u_1$$

$$A_2 := 10 u_0^3 u_1^2 + 5 u_0^4 u_2$$

$$A_3 := 10 u_0^2 u_1^3 + 20 u_0^3 u_1 u_2 + 5 u_0^4 u_3$$

$$A_4 := 5 u_0 u_1^4 + 30 u_0^2 u_1^2 u_2 + 10 u_0^3 u_2^2 + 20 u_0^3 u_1 u_3 + 5 u_0^4 u_4$$

$$A_5 := u_1^5 + 20 u_0 u_1^3 u_2 + 30 u_0^2 u_1 u_2^2 + 30 u_0^2 u_1^2 u_3 + 20 u_0^3 u_2 u_3 + 20 u_0^3 u_1 u_4 + 5 u_0^4 u_5$$

....

ذکر این نکته در اینجا ضروری است که روش آدومیان یکی از قویترین روش‌های تحلیلی موجود برای حل معادلات دیفرانسیل غیرخطی می‌باشد که علاوه بر حل معادلات دیفرانسیل چند بعدی «معادلات دیفرانسیل با مشتقات جزئی» را نیز دارا می‌باشد. روش آدومیان دارای فرم‌های بهینه شده‌ای نیز

می‌باشد که در این بحث به آن پرداخته نشده است. از جمله قابلیت‌های دیگر این روش قابلیت حل مسائل با شرایط مرزی نیومان^۱ و نیز شرط مرزی انتگرالی می‌باشد.

۱-۴-۲- تشریح روش تجزیه آدومیان با ذکر مثال

حل معادله فالکنر-اسکن^۲ برای یک گوه (شکل (۵-۱)):

فرض کنید معادله‌ی بی‌بعد شده‌ای به صورت زیر موجود است [۳۷].

$$\begin{aligned} f''' + ff'' + \beta(1 - f'^2) &= 0 \\ \eta = 0 \rightarrow f = 0, f' &= 0 \\ \eta \rightarrow \infty : f' &\rightarrow 1 \end{aligned} \quad (118-1)$$

مطابق روش آدومیان، بالاترین مرتبه مشتق قسمت خطی معادله بصورت زیر است.

$$L = \frac{d^3 f}{d\eta^3} \quad (119-1)$$

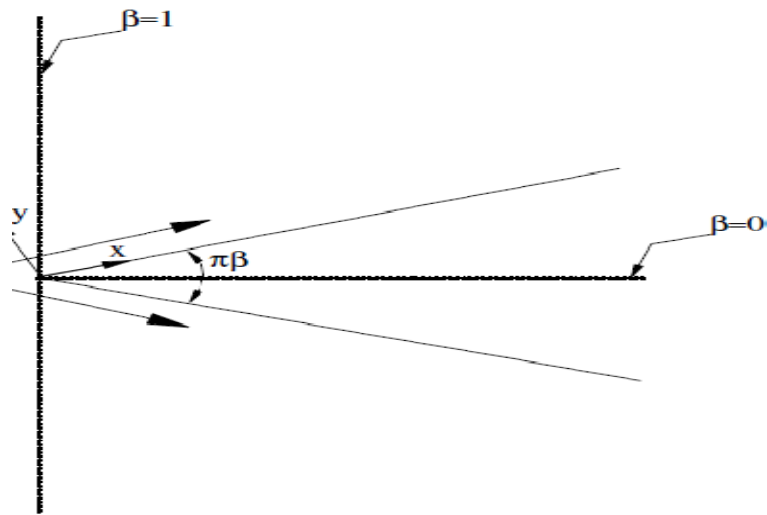
و با توجه به توضیحات بکار رفته در الگوریتم این روش می‌توان نوشت.

$$Lf = -ff'' - \beta(1 - f'^2) \quad (120-1)$$

$$L^{-1}Lf = \int_0^\eta \int_0^\eta \int_0^\eta \frac{d^3 f}{d\eta^3} d\eta = f(\eta) - f(0) - \eta f'(0) - \frac{1}{2} \eta^2 f''(0) \quad (121-1)$$

^۱ - Neumann

^۲ - Falkner - Skan



شکل (۵-۱): شکل مربوط به مثال روش آدومیان [۳۶]

$$f(\eta) = f(0) + \eta f'(0) + \frac{1}{2} \eta^2 f''(0) + L^{-1}(-ff'' - \beta(1 - f'^2)) \quad (122-1)$$

با فرض این که $f''(0) = \alpha$ و توجه به این که دو ترم اول سمت راست معادله فوق بنا به شرایط مرزی مساله صفر است می توان نوشت.

$$f(\eta) = \frac{1}{2} \alpha \eta^2 + L^{-1}(-ff'' - \beta(1 - f'^2)) \quad (123-1)$$

آدومیان بیان نمود :

$$f(\eta) = \sum_{n=0}^{\infty} f_n(\eta) \quad (124-1)$$

همچنین بنا به الگوریتم روش ترم غیرخطی معادله که شامل $-ff'' - \beta(1 - f'^2)$ می باشد می تواند

به صورت سری به شکل $N f(\eta) = \sum_{n=0}^{\infty} A_n$ نوشته شود. چند جمله ای های آدومیان از فرمول های (۱-)

(۱۱۰) بدست می آید که برای این مثال به فرم زیر می باشد [۳۶].

$$A_0 = -f_0 f_0'' - \beta(1 - f_0'^2)$$

$$A_1 = -f_0 f_0'' - f_0 f_1'' - 2\beta f_0' f_1'$$

$$A_2 = -f_2 f_0'' - f_1 f_1'' - f_0 f_2'' - \beta f_1'^2 - 2\beta f_0' f_2' \quad (125-1)$$

$$A_3 = -f_3 f_0'' - f_2 f_1'' - f_1 f_2'' - f_0 f_3'' - 2\beta f_1' f_2' - 2\beta f_0' f_3'$$

$$A_4 = f_4 f_0'' - f_3 f_1'' - f_2 f_2'' - f_1 f_3'' - f_0 f_4'' - \beta f_2'^2 - 2\beta f_1' f_3' - 2\beta f_0' f_4'$$

با تعریف $f_0 = \frac{1}{2}\alpha\eta^2 - \frac{1}{6}\beta\eta^3$ و از آنجایی که دو سمت معادله (۱۱۲-۱) در صورتی با هم برابرند

که جملات متناظر سری‌های دو سمت با هم مساوی باشند، لذا رابطه زیر صادق است.

$$f_{n+1}(\eta) = L^{-1}(A_n) \quad n = 0, 1, 2, \dots \quad (126-1)$$

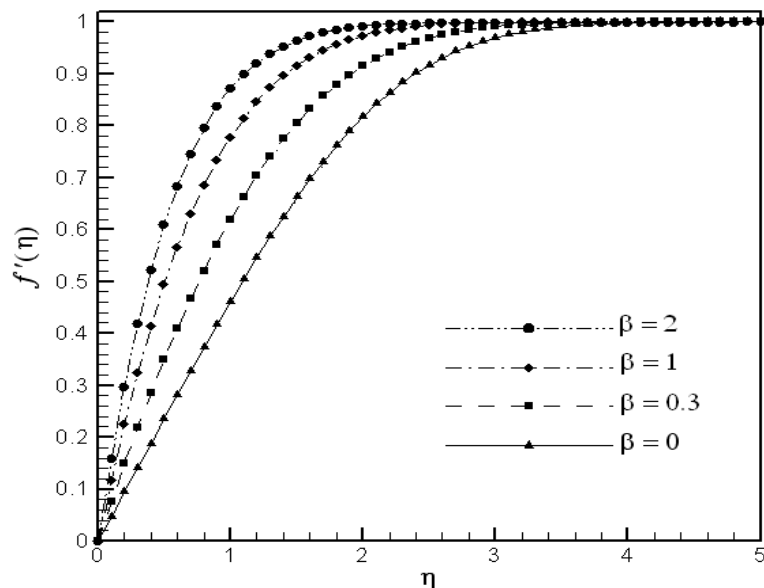
با جاگذاری A_n از معادلات (۱۲۵-۱) در معادله (۱۲۶-۱) جواب‌های زیر بدست می‌آید.

$$\begin{aligned} f_0 &= \frac{1}{2}\alpha\eta^2 - \frac{1}{6}\beta\eta^3 \\ f_1 &= \frac{1}{7}\left(-\frac{1}{180}\beta^2 - \frac{1}{120}\beta^3\right)\eta^7 + \frac{1}{6}\left(\frac{1}{30}\alpha\beta + \frac{1}{20}\alpha\beta^2\right)\eta^6 + \frac{1}{5}\left(-\frac{1}{24}\alpha^2 - \frac{1}{12}\alpha^2\beta\right)\eta^5 + \frac{1}{6}\beta\eta^3 \\ f_2 &= -\frac{1}{155925}\eta^{11}\beta^3 - \frac{19}{1247400}\eta^{11}\beta^4 - \frac{1}{118800}\eta^{11}\beta^5 + \frac{1}{14175}\eta^{10}\alpha\beta^2 + \frac{19}{113400}\eta^{10}\alpha\beta^3 \\ &\quad + \frac{1}{10800}\eta^{10}\alpha\beta^4 - \frac{1}{4032}\eta^9\alpha^2\beta - \frac{113}{181440}\eta^9\alpha^2\beta^2 - \frac{11}{30240}\eta^9\alpha^2\beta^3 + \frac{11}{40320}\eta^8\alpha^3 + \frac{1}{1260}\eta^8\alpha^3\beta \\ &\quad + \frac{1}{2016}\eta^8\alpha^3\beta^2 + \frac{1}{630}\eta^7\beta^2 + \frac{1}{420}\eta^7\beta^3 - \frac{1}{180}\eta^6\alpha\beta - \frac{1}{120}\eta^6\alpha\beta^2 \\ &\dots \end{aligned} \quad (127-1)$$

و جواب نهایی به فرم زیر است.

$$f = \sum_{n=0}^{\infty} f_n(\eta) = f_0 + f_1 + \dots \quad (128-1)$$

در شکل (۶-۱) نمودار تغییرات f' به ازای تغییرات η رسم شده است.



شکل (۶-۱): نمودار تغییرات f' به ازای تغییرات η برای β های مختلف

بجز محدودیت انتخاب پارامتر کوچک یا بزرگ در روش پرتوربیشن، مباحث مربوط به بازه همگرایی و نیز کنترل همگرایی جواب های بدست آمده از روش های فوق الذکر، از معایب مهم این متد ها می باشد که نیاز به اصلاح و بهینه سازی دارند. همچنین ارضاء شرایط مرزی بی نهایت با تکنیک های توضیح داده شده نیازمند استفاده از تکنیک های دیگری اضافه بر روش های یاد شده است. یکی از این تکنیک ها، تکنیک *Pade* می باشد که در این پایان نامه به آن پرداخته نشده است.

بررسی مثال نشان داده شده برای تشریح روش آدومیان [۳۷] مشخص می کند که محدوده همگرایی جواب ها در این مثال کوچک بوده و اثری از همگرایی پارامتر بدون بعد $\frac{u}{U}$ به ازای $\eta > 3$ نمی باشد که نشان از محدوده کوچک جواب صحیح دارد. همچنین در فصل بعدی پس از معرفی روش جدیدی در حل معادلات دیفرانسیل غیر خطی، با ذکر مثالی به مقایسه آن با روش *HPM* پرداخته و نشان می دهد که بازه همگرایی جواب ها در روش هموتوپی پرتوربیشن کوچک است.

فصل دوم :

روش آنالیز هموتپی

۲-۱- مقدمه ای بر روش آنالیز هموتپی

با وجود کارایی بسیار روش های توضیح داده شده در فصل اول، این روشها ما را در جهت همگرایی حل و نرخ سریهای تقریبی یاری نمی رساند. بطور خلاصه روشهای پرتوربیشن و روشهایی غیر از آن مانند بسط δ ، روش پارامتر کوچک ساختگی و روش آدیان نمی توانند راهی برای تنظیم و کنترل همگرایی حل، افزایش محیط همگرایی و تعداد سریهای تقریبی ارائه دهند. کارایی تقریب معادلات غیرخطی به طور کافی بررسی نشده و لازم است روشهای تحلیلی جدیدی توسعه داده شوند که دارای مشخصه های زیر باشند :

۱- برای مسائلی با قسمتهای غیرخطی بالا معتبر باشند، حتی اگر این معادلات شامل پارامترهای کوچک و بزرگ نباشد.

۲- راهی مناسب جهت کنترل نمودن همگرایی حل و تعداد سریهای تقریب زده شده ارائه دهند.

۳- این امکان را فراهم آورند که شخص در انتخاب توابع پایه لازم، ضروری و مناسب آزاد باشد. یک نوع از روشهای تحلیلی، بنام روش آنالیز هموتپی^۱ [۴۲-۴۸] بر اساس هموتپی [۴۳] پیشنهاد شد. ایده هموتپی بسیار آسان و سراسر می باشد. برای مثال، معادله دیفرانسیل زیر را در نظر بگیرید.

$$A[u(t)] = 0 \quad (1-2)$$

A اپراتور غیرخطی می باشد، t اشاره به زمان دارد و $u(t)$ متغیر نامعلوم می باشد. فرض کنید $u_0(t)$ معرف حدس اولیه $u(t)$ و L معرف اپراتور خطی کمکی با این خصوصیت باشد که :

$$L(f) = 0 \quad (2-2)$$

^۱ - Homotopy Analysis Method

سپس می توان فرم هموتپی را ساخت:

$$H[\phi(t; q); q] = (1 - q)L[\phi(t; q) - u_0(t)] + qA[\phi(t; q)] \quad (3-2)$$

$q \in [0, 1]$ یک پارامتر محاط کننده و $\phi(t; q)$ تابعی بر حسب t و q می باشد، هنگامی که $q = 0$ و

$q = 1$ می باشد روابط زیر بر قرار خواهد بود:

$$H[\phi(t; q); q] \Big|_{q=0} = L[\phi(t; 0) - u_0(t)] \quad (4-2)$$

و

$$H[\phi(t; q); q] \Big|_{q=1} = A[\phi(t; 1)] \quad (5-2)$$

با توجه به معادله (4-2) واضح می باشد که $\phi(t; 0) = u_0(t)$ حل معادله $H[\phi(t; q); q] \Big|_{q=0} = 0$

و $\phi(t; 1) = u(t)$ حل معادله $H[\phi(t; q); q] \Big|_{q=1} = 0$ می باشد. بنابراین هنگامی که پارامتر q از

صفر به یک تغییر می کند جواب از حدس اولیه به حل معادله (1-2) یعنی $u(t)$ ختم می شود. به

عبارت دیگر این تغییرات پیوسته از $u_0(t)$ به $u(t)$ تغییر شکل نامیده می شود.

بر اساس ایده هموتپی بعضی از روشهای عددی مثلاً روش پیوسته و روش پیوسته هموتپی [44-45]

توسعه داده شدند. در واقع، در روش پارامتر کوچک فرضی و روش بسط δ اگر پارامتر فرضی ε یا δ

با پارامتر محاط کننده (q) جایگزین گردد می توانند توسط هموتپی تشریح شوند. اگرچه راه حل

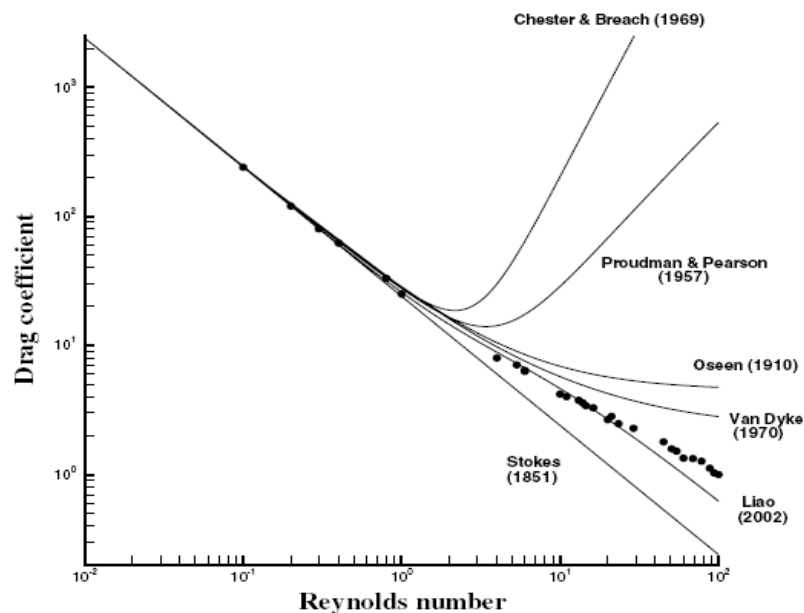
سنتی ذکر شده در بالا برای ساختن هموتپی شاید از نقطه نظر روشهای عددی کافی باشد، ولی از

دیدگاه تحلیلی به اندازه کافی مناسب نیست. به این دلیل که در انتخاب اپراتور دلخواه L و حدس

اولیه آزاد هستیم ولی در هدایت این انتخابها قانونی وجود ندارد. مهمتر این که، روش قدیمی برای

ساخت هموتپی نمی تواند یک روش مناسب جهت تشخیص ناحیه همگرایی و تعداد سربهای به کار برده شده جهت تخمین حل مناسب را ارائه دهد.

در این فصل ایده اصلی روش آنالیز هموتپی بر اساس نظر لیاو^۱ شرح داده شده [۴] و جهت نشان دادن درستی این روش چهار مسئله ارائه گردیده است. این روش نشان میدهد که محاسبه درگ روی یک کره در جریان یکنواخت با اطلاعات تجربی در یک ناحیه بزرگتر از همه روشهای تئوری قبلی که در صد و پنجاه سال اخیر بدست آمده است مطابقت خیلی خوبی دارد، شکل (۱-۲).



شکل ۱-۲- مقایسه روش آنالیز هموتپی با روش های تئوری قبلی جهت محاسبه ضریب درگ روی یک کره [۴]

^۱ - Liao

بطور خلاصه روش هموتپی آنالیز بر اساس جزئیات هموتپی می باشد ولی بجای استفاده از هموتپی قدیمی، لیائو پارامتر کمکی غیرصفر (\hbar) و تابع کمکی $H(t)$ غیرصفر برای ساختن هموتپی جدید به فرم زیر را معرفی می کند.

$$\tilde{H} [\Phi; q, \hbar, H] = (1-q)L[\Phi(t; q, \hbar, H) - u_0(t)] + q\hbar H(t) A[\Phi(t; q, \hbar, H)] \quad (6-2)$$

که بسیار نسبت به معادله (۳-۲) عمومی تر می باشد، به این دلیل که معادله (۳-۲) تنها یک حالت خاص از رابطه (۶-۲)، هنگامی که $\hbar = -1$ و $H(t) = 1$ است می باشد یعنی :

$$\tilde{H} [\Phi; q, \hbar, H] = H [\Phi; q, -1, 1] \quad (7-2)$$

بطور مشابه، هنگامی که q از صفر به یک افزایش پیدا می کند، $[\Phi(t; q, \hbar, H)]$ از حدس اولیه $u_0(t)$ به سمت جواب دقیق $u(t)$ تغییر می کند، بهر حال $[\Phi(t; q, \hbar, H)]$ از معادله $\tilde{H}[\Phi(t; q, \hbar, H)] = 0$ نه تنها بستگی به q دارد بلکه به پارامتر کمکی \hbar و تابع کمکی $H(t)$ نیز بستگی خواهد داشت. بنابراین در $q = 1$ حل هنوز به پارامتر \hbar و تابع کمکی $H(t)$ بستگی دارد. بنابراین بر خلاف معادله قدیمی هموتپی، این روش می تواند یک خانواده از سریهای تقریبی فراهم آورد که ناحیه همگرایی آن بستگی خواهد داشت به پارامتر کمکی $H(t)$ که با استفاده از این دو پارامتر ناحیه همگرایی و تعداد سریهای تقریبی می تواند انتخاب شود.

روش آنالیز هموتپی برای معادلات غیرخطی معمولی و جزئی، عمومی تر و معتبرتر می باشد. این روش در بسیاری از مسائل مهندسی از قبیل نوسان^۱ [۴۶]، جریانهای لایه مرزی [۴۷]، انتقال حرارت [۴۸]، جریانهای ویسکوز در محیط متخلخل [۴۹]، جریانهای مغناطیسی غیرنیوتنی [۵۰]، موجهای غیرخطی آب [۵۱] و خیلی از مسائل دیگر [۵۲-۶۴] به کار گرفته شده است.

^۱ - *oscillation*

۲-۲- روش آنالیز هموتویی

معادله غیر خطی زیر را در نظر بگیرید. بطوری که:

$$N[Z(x,t)] = 0 \quad (۸-۲)$$

x, t اشاره به متغیر مستقل دارند و $Z(x,t)$ نشان دهنده تابع مجهول می باشد. لیائو با توجه به روش

هموتویی فرم مرتبه صفر را این گونه تعریف نمود:

$$(1-p)L[\Phi(x,t;p) - Z_0(x,t)] = p\hbar H(x,t)N[\Phi(x,t;p)] \quad (۹-۲)$$

p پارامتر بسط، \hbar پارامتر کمکی، H تابع کمکی، L اپراتور خطی، $Z_0(x,t)$ حدس اولیه و $\Phi(x,t;p)$ تابع مجهول می باشد. در این روش شخص در انتخاب پارامترها و توابع کمکی دلخواه آزاد است. وقتی p از صفر به یک تغییر می کند، جواب از حدس اولیه سمت حل دقیق تغییر می نماید. بطوری که:

$$\Phi(x,t;1) = Z(x,t) \text{ و } \Phi(x,t,0) = Z_0(x,t) \quad (۱۰-۲)$$

اگر $\Phi(x,t;p)$ بسط تیلور داده شود، با توجه به p رابطه زیر بدست می آید :

$$\Phi(x,t;p) = Z_0(x,t) + \sum_{m=1}^{\infty} Z_m(x,t)p^m \quad (۱۱-۲)$$

$$Z_m(x,t) = \frac{1}{m!} \left. \frac{\partial^m \Phi(x,t;p)}{\partial p^m} \right|_{p=0} \quad (۱۲-۲)$$

اگر اپراتور خطی دلخواه، حدس اولیه و پارامتر کمکی \hbar بنحوی انتخاب گردند که سری تیلور در $p=1$ همگرا شود، آنگاه رابطه زیر برقرار خواهد شد :

$$Z(x,t) = Z_0(x,t) + \sum_{m=1}^{\infty} Z_m(x,t) \quad (۱۳-۲)$$

اگر $\hbar = -1$ انتخاب شود آنگاه معادله (۹-۲) بفرم معادله هموتی پرتوربیشن تبدیل می شود. در روش هموتی پرتوربیشن معادلات بر اساس p بسط داده می شوند.

بردار \vec{Z}_n بشکل زیر تعریف می شود:

$$Z_n = \{Z_0(x,t), \vec{Z}_1(x,t), \dots, Z_n(x,t)\} \quad (14-2)$$

اگر از معادله (۹-۲) m بار با توجه به p مشتق گرفته شود و سپس p مساوی صفر قرار داده شود و نهایتاً بر $m!$ تقسیم شود، فرم مرتبه m بدست می آید، بطوری که:

$$L[Z_m(x,t) - \chi_m Z_{m-1}(x,t)] = \hbar H(x,t) R_m(\vec{Z}_{m-1}) \quad (15-2)$$

$$R_m(\vec{Z}_{m-1}) = \frac{1}{(m-1)!} \frac{\partial^{m-1} N[\Phi(x,t;p)]}{\partial p^{m-1}} \quad (16-2)$$

$$\chi_m = \begin{cases} 0 & m \leq 1 \\ 1 & m > 1 \end{cases} \quad (17-2)$$

معادله تغییر شکل مرتبه m برای $m \geq 1$ صادق بوده و با توجه به شرایط مرزی مسئله قابل حل می باشد.

۲-۳- بعضی از قوانین اصلی:

همانطور که در بالا گفته شد در انتخاب اپراتور خطی دلخواه (L) و حدس اولیه $V_0(t)$ و تابع کمکی $H(t)$ جهت ساختن فرم تغییر شکل مرتبه صفر آزاد هستیم ولی از نقطه نظر عملی این آزادی بنظر زیاد بوده و لازم است که در جهت هدایت مسئله تعدادی قوانین اصولی وجود داشته باشد. وجود حل تحلیلی جهت بیان حل مسئله توسط توابع پایه مناسب امکان پذیر است. مشخص است که یک تابع حقیقی مانند $f(x)$ می تواند توسط تعداد زیادی توابع پایه تقریب زده شود و بنابراین می تواند موثرتر باشد. نوع توابع پایه جهت موثر بودن در حل مسئله غیرخطی مهم است. خوشبختانه با آزاد بودن در انتخاب متغیرهای ذکر شده حل های زیادی از $V(t)$ حاصل می شود. در بسیاری از موارد با آنالیز کردن فیزیک مسئله و یا حدس اولیه مسئله و یا شرایط مرزی و یا نوع غیرخطی آن می توان فهمید چه نوع توابع پایه جهت حل مسئله مناسب می باشند، برای مثال فرض کنید:

$$\{e_k(t) \mid k = 0, 1, 2, \dots\} \quad (18-2)$$

$e_k(t)$ به یک دستگاه از توابع پایه برای مسئله داده شده اشاره دارد. می توان حل را به فرم یک سری بیان کرد:

$$V(t) = \sum_{n=0}^{\infty} C_n e_k(t) \quad (19-2)$$

C_n یک ضریب می باشد، در زمانیکه یک دستگاه از توابع پایه مشخص می شود، تابع کمکی $H(t)$ ، حدس اولیه $V_0(t)$ و اپراتور خطی L باید بگونه ای انتخاب شوند که تمامی حل های بدست آمده از فرم تغییر شکل مرتبه بالا بتوانند بوسیله این نوع تابع پایه بیان شوند. این شرط یک قانون اصلی جهت

انتخاب تابع کمکی $H(t)$ ، حدس اولیه $V_0(t)$ و اپراتور خطی (L) فراهم می آورد که قانون بیان حل^۱ نامیده می شود.

۲-۴- کنترل ناحیه همگرایی:

بسیار مهم می باشد که سریهای جواب در یک ناحیه به اندازه کافی، همگرا شوند. بطور عام نرخ سریهای تقریب زده شده و ناحیه همگرایی توسط توابع پایه مشخص می شوند. بر خلاف روشهای تحلیلی قبلی در این جا در انتخاب توابع پایه آزادی عمل وجود دارد، بنابراین می توان سریهای حل همگرا شده در یک ناحیه ای که دارای معنای فیزیکی باشد را بدست آورد. دیده شده است که پارامتر کمکی \hbar اغلب در ناحیه همگرایی تأثیر می گذارد بنابراین با انتخاب درست \hbar می توان نرخ سریهای تقریبی و ناحیه همگرایی را تشخیص داد. فرض کنید جواب با استفاده از پارامتر \hbar بدست آورده شده است. سوال این است که چگونه میتوان تشخیص داد مقدار مناسب \hbar برای همگرا شدن حل در ناحیه بیشتر چیست؟

بسیاری از مسائل غیرخطی شامل کمیتهای فیزیکی از قبیل فرکانس نوسان کننده ها، ضریب اصطکاک سطح در جریان ویسکوز و غیره... می باشند، به این دلیل که حل های بیان شده با روش هموتپی حتماً دارای ضریب کمکی \hbar می باشند، این کمیتهای فیزیکی نیز شامل \hbar می باشند. بنابراین با توجه به \hbar به عنوان متغیر مستقل، کشیدن شکلهای این نوع از کمیتها بر حسب \hbar آسان می باشد. فرض شود که :

$$\gamma = \ddot{u}(r, t) \Big|_{r=0, t=0} \quad (2-20)$$

^۱.Rule of solution expression

اشاره داشته باشد به یک کمیتی که معنای فیزیکی مهمی دارد. در این جا (*) اشاره به مشتق نسبی زمان دارد. بنابراین γ تابعی است بر حسب \hbar و بنابراین می تواند توسط شکل $\gamma - \hbar$ کشیده شود. تمامی حل های γ توسط مقادیر مختلف \hbar به یک مقدار واحد همگرا می شوند و بنابراین یک خط افقی در شکل $\gamma - \hbar$ ایجاد می شود که به یک ناحیه از \hbar که با R_{\hbar} نمایش داده می شود اشاره دارد. برای اختصار این نمودار ($\hbar - Curve$) نامیده می شود و ناحیه مربوطه که مقادیر مناسب \hbar در آن قرار دارند را (ناحیه درست \hbar)^۱ می نامند. بنابراین اگر هر مقداری از (\hbar) قرار گرفته شده در ناحیه R_{\hbar} انتخاب شود، حل همگرا شده است. مطمئناً اگر کمیت های فیزیکی دیگری نیز وجود داشته باشد می توان مقادیر ($\hbar - Curve$) را رسم نمود. بنابراین ($\hbar - Curve$) یک راه راحت جهت نشان دادن تأثیر \hbar بر ناحیه همگرایی و نرخ سربهای تقریبی را نشان می دهد و با انتخاب درست \hbar حل خاتمه می یابد.

۲-۵- تشریح روش آنالیز هموتپی با ذکر مثال:

۲-۵-۱- پخش حرارتی در یک پره:

پره ای را در نظر بگیرید که هدایت حرارتی آن وابسته به دما باشد. دمای پایه پره T_b ، دمای محیط T_a ، A سطح مقطع، p محیط پره، b طول پره و انتهای پره عایق می باشد. معادله انرژی برای این پره بصورت زیر می باشد:

$$A \frac{d}{dx} \left[k(T) \frac{dT}{dx} \right] - ph(T - T_a) = 0 \quad (21-2)$$

هدایت حرارتی پره تابعی از دما می باشد، بطوری که:

$$k(T) = k_a [1 + \lambda(T - T_a)] \quad (22-2)$$

k_a هدایت حرارتی در دمای محیطی T_a و λ پارامتر تغییر هدایت حرارتی نسبت به دما می باشد. جهت بی بعد سازی مسئله از پارامترهای زیر استفاده می شود.

^۱ - Valid region of \hbar

$$\theta = \frac{T - Ta}{Tb - Ta}, \quad \xi = \frac{x}{b} \quad (23-2)$$

$$\psi = \left(\frac{hpb^2}{k_a A}\right)^{\frac{1}{2}}, \quad \beta = \lambda(Ta - Tb)$$

فرم بی بعد شده مسئله این گونه خواهد بود:

$$\frac{d^2\theta}{d\xi^2} + \beta\theta \frac{d^2\theta}{d\xi^2} + \beta \left(\frac{d\theta}{d\xi}\right)^2 - \psi^2\theta = 0 \quad (24-2)$$

$$\left. \begin{array}{l} \frac{d\theta}{d\xi} = 0 \quad \text{at} \quad \xi = 0 \\ \theta = 1 \quad \text{at} \quad \xi = 1 \end{array} \right\} \quad (25-2)$$

برای شروع ، ابتدا باید توابع پایه مناسب انتخاب شوند . با توجه به شرایط مرزی اپراتور خطی اینگونه

تعریف می شود:

$$\theta(\xi) = \sum_{n=0}^{\infty} a_n \xi^n \quad (26-2)$$

$$L[\phi(\xi, p)] = \frac{d^2\phi(\xi, p)}{d\xi^2} \quad (27-2)$$

$$L(c_1\xi + c_2) = 0 \quad (28-2)$$

حدس اولیه با توجه به قسمت خطی انتخاب می گردد.

$$\theta_0(\xi) = c = 1 \quad (29-2)$$

اپراتور غیر خطی با توجه به معادله اصلی مشخص می شود.

$$N[\phi(\xi, p)] = \frac{d^2\phi(\xi, p)}{d\xi^2} + \beta\phi(\xi, p) \frac{d^2\phi(\xi, p)}{d\xi^2} + \beta \left(\frac{d\phi(\xi, p)}{d\xi}\right)^2 - \psi^2\phi(\xi, p) \quad (30-2)$$

فرم مرتبه های بالا با توجه به تعریف R_m ساخته می شوند.

$$R_m(\bar{\theta}_{m-1}) = \frac{1}{(m-1)!} \frac{\partial^{m-1}}{\partial p^{m-1}} \left[\underbrace{\frac{d^2\phi(\xi, p)}{d\xi^2}}_a + \beta\phi \underbrace{\frac{d^2\phi(\xi, p)}{d\xi^2}}_b + \beta \underbrace{\left(\frac{d\phi(\xi, p)}{d\xi}\right)^2}_c - \underbrace{\psi^2\phi(\xi, p)}_d \right] \Big|_{p=0} \quad (31-2)$$

$$\begin{aligned} \frac{1}{(m-1)!} \frac{\partial^{m-1}}{\partial p^{m-1}} a|_{p=0} &= \theta_{m-1}'' \\ \frac{1}{(m-1)!} \frac{\partial^{m-1}}{\partial p^{m-1}} b|_{p=0} &= \beta \sum_{n=0}^{m-1} \theta_n \cdot \theta_{m-1-n}'' \\ \frac{1}{(m-1)!} \frac{\partial^{m-1}}{\partial p^{m-1}} c|_{p=0} &= \beta \sum_{n=0}^{m-1} \theta_n' \cdot \theta_{m-1-n}' \\ \frac{1}{(m-1)!} \frac{\partial^{m-1}}{\partial p^{m-1}} d|_{p=0} &= -\psi^2 \theta_{m-1} \end{aligned} \quad (32-2)$$

$$R_m(\bar{\theta}_{m-1}) = \theta_{m-1}'' + \beta \sum_{n=0}^{m-1} \theta_n \theta_{m-1-n}'' + \beta \sum_{n=0}^{m-1} \theta_n' \theta_{m-1-n}' - \psi^2 \theta_{m-1} \quad (33-2)$$

فرم مرتبه m بصورت زیر می باشد:

$$\theta_{m-1}(\xi) = \theta_m(\xi) \chi_m + \hbar \int_0^\xi \left[\int_0^\xi H(\xi) R_m(\bar{\theta}_{m-1}) d\xi \right] d\xi + c_1 \xi + c_2 \quad (34-2)$$

$$\begin{aligned} \theta_1(\xi) &= \hbar \int_0^\xi \left[\int_0^\xi (\beta \theta_0(\xi) \theta_0''(\xi) + \beta \theta_0'(\xi)^2 + \theta_0''(\xi) - \psi^2 \theta_0(\xi)) d\xi \right] d\xi + c_1 \xi + c_2 \\ \theta_2(\xi) &= \theta_1(\xi) + \hbar \int_0^\xi \left[(\beta \theta_0(\xi) \theta_1''(\xi) + \beta \theta_0''(\xi) \theta_1(\xi) \right. \\ &\quad \left. + 2\beta \theta_0'(\xi) \theta_1'(\xi) + \theta_1''(\xi) - \psi^2 \theta_1(\xi)) d\xi \right] d\xi + c_3 \xi + c_4 \end{aligned} \quad (35-2)$$

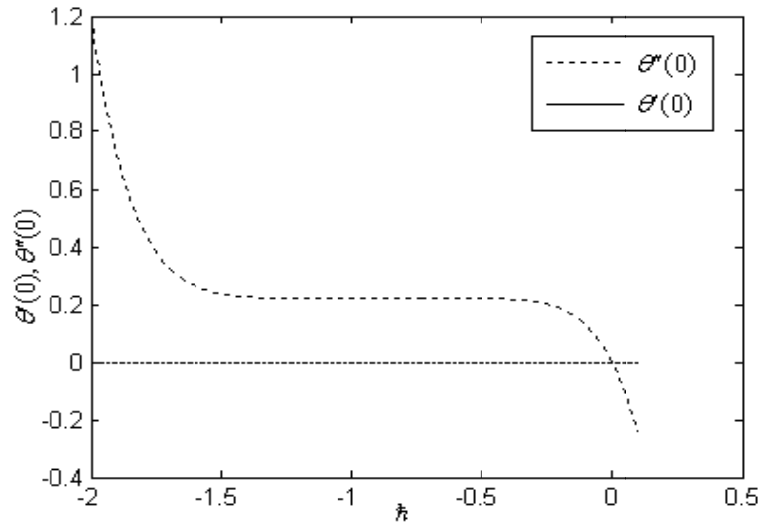
اکنون با اعمال شرایط مرزی برای $m \geq 1$ روابط زیر حاصل می شوند:

$$\begin{aligned} \theta_0(\xi) &= 1 \\ \theta_1(\xi) &= -\frac{1}{2} \hbar \psi^2 \xi^2 + \frac{1}{2} \hbar \psi^2 \\ \theta_2(\xi) &= -\frac{1}{2} \hbar \psi^2 \xi^2 + \frac{1}{2} \hbar \psi^2 + h \left\{ \frac{1}{24} \psi^4 \xi^4 + \frac{1}{2} (-\beta \hbar \psi^2 - \hbar \psi^2 - \frac{1}{2} \psi^4 \hbar) \xi^2 \right\} \\ &\quad + \frac{5}{24} \psi^4 \hbar^2 + \frac{1}{2} \beta \hbar^2 \psi^2 + \frac{1}{2} \hbar^2 \psi^2 \end{aligned} \quad (36-2)$$

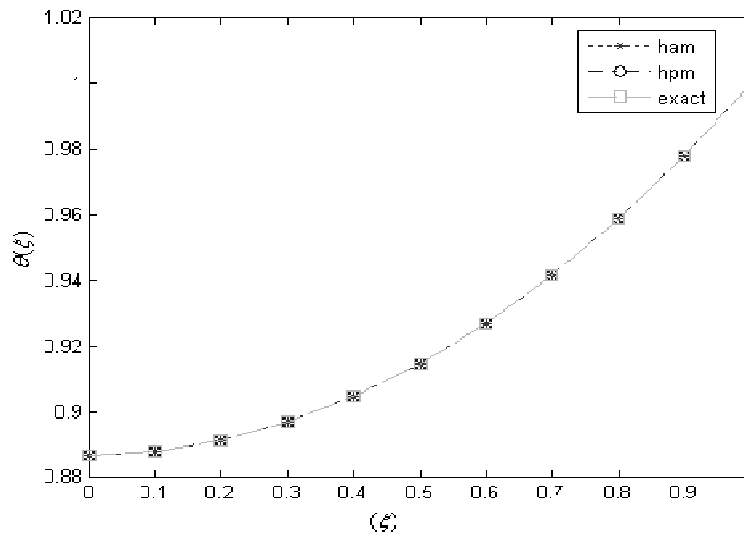
بدیهی است پارامتر کمکی هنوز مجهول است. در شکل (۲-۲) می توان مقدار درست \hbar را انتخاب

نمود و بعد از قراردادن آن در جواب نهایی حل خاتمه می یابد. شکل (۳-۲) دقت جواب را در مقایسه

با حل دقیق نشان می دهد.



شکل (۲-۲): نمودار پارامتر کمکی در مرحله هفتم از حل بازاء
 $(\beta = 0, \psi = 0,5)$



شکل (۳-۲): مقایسه روش هموتپی آنالیز با جواب دقیق بازاء
 $(\beta = 0, \psi = 0.5, \hat{h} = -0.9)$

۲-۵-۲- سرمایهش جسمی با حرارت مخصوص متغیر:

جسمی با حجم V ، سطح مقطع A ، دانسیته ρ در شرایط اولیه دمایی T_i و دمای محیطی T_a را در نظر بگیرید. اگر رابطه بین حرارت مخصوص و دما رابطه ای خطی باشد.

$$c = c_a [1 + \beta(T - T_a)] \quad (37-2)$$

با توجه به ضریب انتقال حرارت جابجایی h ، معادله انرژی بصورت زیر برقرار می شود:

$$\rho VC \frac{dT}{dt} + hA(T - T_a) = 0 \quad , \quad T(0) = T_i \quad (38-2)$$

جهت بی بعد سازی مسئله از پارامترهای زیر استفاده می شود.

$$\theta = \frac{T - T_a}{T_i - T_a} \quad , \quad \tau = \frac{t}{pvc_a/hA} \quad , \quad \varepsilon = \beta(T - T_a) \quad (39-2)$$

فرم بی بعد شده مسئله این گونه خواهد بود:

$$(1 + \varepsilon\theta) \frac{d\theta}{d\tau} + \theta = 0 \quad , \quad \theta(0) = 1 \quad (40-2)$$

$$L[\phi(\tau, p)] = \frac{d\phi(\tau, p)}{d\tau} + \phi(\tau, p) \quad (41-2)$$

$$L(c_1 e^{-\tau}) = 0 \quad (42-2)$$

حدس اولیه با توجه به قسمت خطی انتخاب می گردد.

$$u_0(\tau) = e^{-\tau} \quad (43-2)$$

اپراتور غیر خطی با توجه به معادله اصلی مشخص می شود.

$$N[\phi(\tau, P)] = \frac{d\phi(\tau, p)}{d\tau} + \phi(\tau, P) + \varepsilon \phi(\tau, p) \frac{d\phi(\tau, P)}{d\tau} \quad (44-2)$$

فرم مرتبه های بالا با توجه به تعریف R_m ساخته می شوند.

$$R_m(\bar{u}_{m-1}) = \frac{1}{(m-1)!} \frac{\partial^{m-1}}{\partial p^{m-1}} \left[\underbrace{\frac{d\phi(\tau, p)}{d\tau}}_a + \underbrace{\phi(\tau, p)}_b + \varepsilon \phi(\tau, p) \underbrace{\frac{d\phi(\tau, P)}{d\tau}}_c \right] \quad (45-2)$$

$$\frac{1}{(m-1)!} \frac{\partial^{m-1}}{\partial p^{m-1}} a \Big|_{p=0} = \theta'_{m-1}$$

$$\frac{1}{(m-1)!} \frac{\partial^{m-1}}{\partial p^{m-1}} b \Big|_{p=0} = \theta_{m-1} \quad (46-2)$$

$$\frac{1}{(m-1)!} \frac{\partial^{m-1}}{\partial p^{m-1}} c \Big|_{p=0} = \varepsilon \sum_{n=0}^{m-1} \theta_n \theta'_{m-1-n}$$

$$R_m(\bar{u}_{m-1}) = \theta'_{m-1} + \theta_{m-1} + \varepsilon \sum_{n=0}^{m-1} \theta_n \theta'_{m-1-n} \quad (47-2)$$

برای $m \geq 1$ فرم عمومی بصورت زیر می باشد :

$$(\theta'_m(\tau) + \theta(\tau)) = (\theta'_{m-1}(\tau) + \theta_{m-1}(\tau)) \chi_m + \hbar H(\tau) R_m(\bar{\theta}_{m-1}(\tau)) \quad (48-2)$$

اکنون با اعمال شرایط مرزی برای $m \geq 1$ روابط زیر حاصل می شود.

$$\theta_1(\tau) + \theta'_1(\tau) = \hbar \{ \theta_0(\tau) e^{-\tau} + \theta'_0(\tau) e^{-\tau} - \varepsilon (e^{-\tau})^3 \} \quad (49-2)$$

$$\theta_1(\tau) + \theta'_1(\tau) = -\hbar \varepsilon (e^{-\tau})^3 \quad (50-2)$$

$$\theta_1(\tau) = \left(\frac{1}{2} \hbar \varepsilon e^{-2\tau} + c_1 \right) e^{-\tau} \quad (51-2)$$

$$c_1 = -\frac{1}{2} \hbar \varepsilon \quad (52-2)$$

$$\theta_1(\tau) = \left(\frac{1}{2} \hbar \varepsilon e^{-2\tau} - \frac{1}{2} \hbar \varepsilon \right) e^{-\tau} \quad (53-2)$$

$$\theta_2(\tau) + \theta'_2(\tau) = \theta_1(\tau) + \theta'_1(\tau) + \{ \hbar \theta_1(\tau) e^{-\tau} + \hbar \theta'_1(\tau) e^{-\tau} - 2\hbar^2 \varepsilon^2 (e^{-5\tau}) + \hbar^2 \varepsilon^2 (e^{-3\tau}) \} \quad (54-2)$$

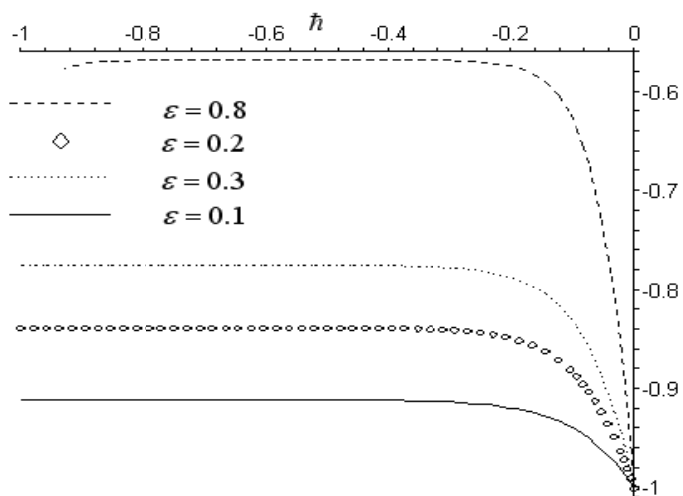
$$\theta_2(\tau) = \{ -\hbar \varepsilon \left\{ \frac{1}{2} \hbar \varepsilon e^{-2\tau} - \frac{1}{2} \varepsilon \hbar e^{-4\tau} - \frac{1}{2} e^{-2\tau} - \frac{1}{3} \hbar e^{-3\tau} \right\} + c_2 \} e^{-\tau} \quad (55-2)$$

$$c_2 = -\frac{1}{2} \hbar \varepsilon - \frac{1}{3} \hbar^2 \varepsilon \quad (56-2)$$

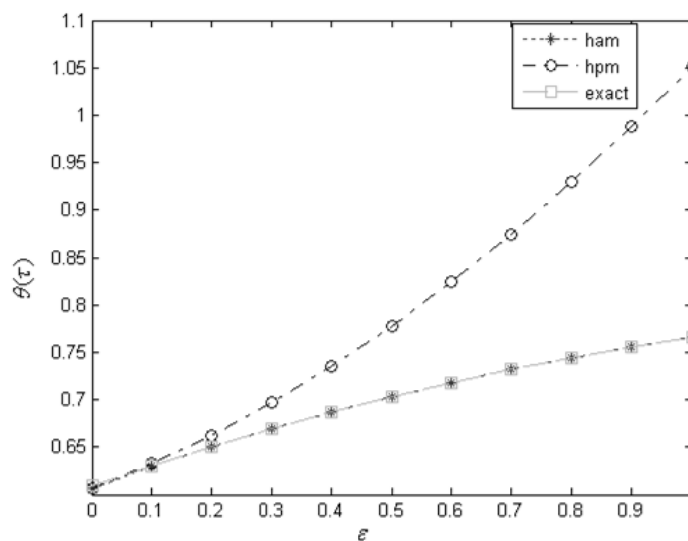
$$\theta_2(\tau) = \left\{ -\hbar \varepsilon \left(\frac{1}{2} \hbar \varepsilon e^{-2\tau} - \frac{1}{2} \varepsilon \hbar e^{-4\tau} - \frac{1}{2} e^{-2\tau} - \frac{1}{3} \hbar e^{-3\tau} \right) - \frac{1}{2} \hbar \varepsilon - \frac{1}{3} \hbar^2 \varepsilon \right\} e^{-\tau} \quad (57-2)$$

$$\theta(\tau) = \theta_0(\tau) + \theta_1(\tau) + \theta_2(\tau) + \theta_3(\tau) + \dots \quad (58-2)$$

بدیهی است پارامتر کمی هنوز مجهول است. در شکل (۴-۲) می توان مقدار درست \hbar را انتخاب نمود و بعد از قراردادن آن در جواب نهایی حل خاتمه می یابد. شکل (۵-۲) دقت جواب را در مقایسه با حل دقیق نشان می دهد.



شکل (۴-۲): نمودار دما بر حسب پارامتر کمی در مرحله دهم از حل بازاء $(\epsilon = 0.1, \epsilon = 0.2, \epsilon = 0.3, \epsilon = 0.8)$

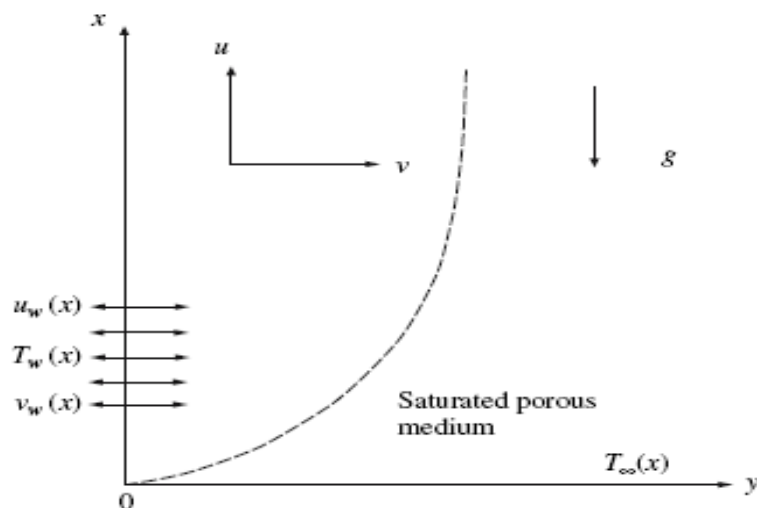


شکل (۵-۲): مقایسه روش آنالیز هموتپی با جواب دقیق بازای $(\tau = 0.5)$ و $(\hbar = -0.6)$

فصل سوم:
حل مساله

۳-۱- حل سری لایه مرزی جابجایی آزاد روی یک صفحه عمودی گرم شده همراه

باشار جرمی جانبی در یک محیط متخلخل اشباع شده



شکل (۳-۱): جریان لایه مرزی ناشی از جابجایی آزاد در یک محیط متخلخل [۶۹]

جریان لایه مرزی در محیط متخلخل یک پدیده مهم در سیستم‌های ژئوفیزیک^۱ و فرایندهای صنعتی است [۶۵]. حیطة کاربرد آن شامل جریان آب‌های زیرزمینی، عایق‌های حرارتی، سیستم ذخیره انرژی‌های صنعتی و کشاورزی و مخازن نفتی می‌باشد. بررسی‌های تفصیلی زیادی در خصوص وجوه مختلف جریان‌های جابجایی انجام گرفته که اکثر آنها در حوزه جریان‌های جابجایی آزاد^۲ از سطوح عمودی تحت حرارت می‌باشد که در یک محیط متخلخل قرار گرفته‌اند [۶۰].

^۱ - geophysics

^۲ - natural convection

فعالیت‌های ابتدایی بوسیله چنگ و مینکوویچ^۱ [۶۸] روی جابجایی آزاد حول یک صفحه صاف عمودی در محیط متخلخل اشباع شده^۲ با خواص ایزوتروپیک^۳ که دمای مشخصه دیواره، تابعی توانی از ارتفاع است صورت گرفته است.

در این قسمت، مسأله لایه مرزی جابجایی آزاد روی یک صفحه عمودی تحت حرارت با شار گرمی جانبی^۴ که در یک محیط متخلخل اشباع قرار دارد بررسی شده است. هدف از این کار بررسی صحت حل تشابهی به وسیله روش *HAM* می‌باشد. چندین دمای دیواره جهت توضیح دادن اثر پارامتر مکش-پاشش^۵ روی جریان و انتقال حرارت مورد توجه قرار گرفته است. همچنین تأثیر پارامتر λ روی یک سطح غیر قابل نفوذ نیز بررسی شده است و با نتایج حاصل از حل عددی مقایسه گردیده است.

۳-۱-۱- تحلیل مسأله

یک جریان لایه مرزی جابجایی آزاد دوبعدی پایدار^۶ که به وسیله یک دیوار عمودی تحت حرارت با شار گرمی جانبی در یک محیط متخلخل اشباع شده، ایجاد گردیده را در نظر بگیرید. (شکل ۳-۱)

معادلات حاکم به شرح ذیل می‌باشند [۶۸].

$$\frac{\partial u}{\partial x} + \frac{\partial v}{\partial y} = 0 \quad (۱-۳)$$

$$\frac{\partial u}{\partial y} + \frac{\rho_{\infty} k \beta g}{\mu} \frac{\partial T}{\partial y} = 0 \quad (۲-۳)$$

^۱ - Cheng & Minkowycz

^۲ - Saturated

^۳ - Isotropic

^۴ - Lateral mass flux

^۵ - Injection – Suction

^۶ - Steady

$$u \frac{\partial T}{\partial x} + v \frac{\partial T}{\partial y} = \alpha \left(\frac{\partial^2 T}{\partial y^2} \right) \quad (3-3)$$

و شرایط مرزی حاکم بر مسأله نیز به فرم ذیل می باشد.

$$T(x,0) = T_w(x), v(x,0) = v_w(x) \quad (4-3)$$

$$T(x, \infty) = T_\infty, u(x,0) = 0 \quad (5-3)$$

که در آن پارامترهای ذیل تعریف می شود:

x : محور مختصات موازی صفحه عمودی u : مولفه سرعت در راستای x

y : محور مختصات عمود بر صفحه v : مولفه سرعت در راستای y

T : درجه حرارت k : نفوذپذیری^۱ محیط متخلخل

g : شتاب جاذبه زمین α : ضریب پخش حرارتی^۲

β : ضریب انبساط حرارتی ρ_∞ : دانسیته^۳ سیال

μ : ویسکوزیته^۴ سیال T_∞ : دمای محیط

$T_w(x)$: درجه حرارت دیواره

k که معرف نفوذپذیری یک محیط متخلخل است برای یک جریان دائم یک جهته در یک محیط

یکنواخت به صورت $u = \frac{-k}{\mu} \frac{\partial p}{\partial x}$ تعریف می شود. این ضریب مستقل از نوع سیال می باشد و به هندسه

محیط متخلخل بستگی دارد. α که معرف ضریب پخش حرارتی است با فرمول $\alpha = \frac{k}{\rho c_p}$ تعریف

^۱ - permeability

^۲ - Thermal Expansion coefficient

^۳ - Density

^۴ - Viscosity

می‌گردد و نشان‌دهنده نسبت رسانش گرمایی به ظرفیت حرارتی ماده است. نرخ توزیع انرژی گرمایی در طول ماده با افزایش α زیاد می‌شود.

لایه‌های سیال در طول صفحه گرم می‌شوند و توسعه می‌یابند. بعلاوه اختلاف نسبی دما $T_w(x) > T_\infty$ ، سیال تحت یک نیروی شناوری رو به بالا قرار گرفته که منجر به یک حرکت جابجایی می‌شود. در جابجایی آزاد صفحه عمودی ناشی از تفاوت دمای دیوار و محیط، شار حرارتی و ضخامت لایه مرزی حرارتی با ارتفاع x تغییر می‌کند. حل‌های تشابهی می‌توانند برای شرایط دمای دیواره‌ی بینهایت نیز بسط داده شوند مشروط بر اینکه آنها از قانون توانی، قانون نمایی یا خطی تبعیت کند. در معادله کنترل فرض می‌شود که مدل مورد استفاده مدل داریسی-بوسینسک^۱ [۶۵] برای سیالات ویسکوز غیرقابل تراکم^۲ با شرایط مرزی $T_w(x) = T_\infty + Ax^{\lambda}$ و شار گرمی جانبی $v_w = ax^{\frac{(\lambda-1)}{2}}$ میباشد که در آن A ثابت تناسب مثبت برای سطح عمودی تحت حرارت، a نرخ پاشش-مکش است. $a > 0$ برای پاشش و $a < 0$ برای مکش کاربرد دارد [۶۵]. تابع جریان^۳ ψ به شکل زیر تعریف می‌گردد [۶۸-۶۹].

$$\begin{aligned} u &= \frac{\partial \psi}{\partial y} \\ v &= -\frac{\partial \psi}{\partial x} \end{aligned} \quad (۶-۳)$$

تبدیل‌های تشابهی زیر توسط معادلات زیر انجام می‌گیرد [۶۸-۶۹].

$$\psi = \left[\frac{\alpha \rho_\infty k \beta g}{\mu} (T_w - T_\infty) \right]^{1/2} f(\eta) \quad (۷-۳)$$

$$u = \left[\frac{\rho_\infty k \beta g}{\mu} (T_w - T_\infty) \right] f'(\eta) \quad (۸-۳)$$

$$v = \left[\frac{\rho_\infty k \beta \alpha g}{4x\mu} (T_w - T_\infty) \right]^{1/2} \chi(\eta) \quad (۹-۳)$$

^۱ - Darcy – Boussinesq

^۲ - Incompressible

^۳ - Stream function

$$\chi = (1 - \lambda)\eta f(\eta) - (1 + \lambda)f(\eta) \quad (10-3)$$

$$T = T_\infty + (T_w + T_\infty)\theta(\eta) \quad (11-3)$$

$$\theta = \frac{T - T_\infty}{T_w - T_\infty} \quad (12-3)$$

$$\eta = \left[\frac{\rho_\infty k \beta \alpha g}{ax\mu} (T_w - T_\infty) \right] y \quad (13-3)$$

معادلات کنترل به فرم بی بعد شده زیر تبدیل می گردد.

$$f'' - \theta' = 0 \quad (14-3)$$

$$\theta'' + \frac{1+\lambda}{2} f\theta' - \lambda f'\theta = 0 \quad (15-3)$$

که شرایط مرزی زیر را داریند.

$$f(0) = f_w, f'(\infty) = 0 \quad (16-3)$$

$$\theta(0) = 1, \theta(\infty) = 0$$

$f(\eta)$ تابع جریان بی بعد، $\theta(\eta)$ میدان دما و مشتقات بر حسب η لحاظ شده است.

f_w ، پارامتر پاشش- مکش که قدرت نرخ انتقال جرم را اندازه گرفته و شار جرمی جانبی طی دیوار را

کنترل می نماید، از معادله زیر بدست می آید [۶۹].

$$f_w = -\frac{2a}{1+\lambda} \left(\frac{\mu}{\rho_\infty g k \alpha \beta A} \right)^{1/2} \quad (17-3)$$

که در آن $f_w > 0$ برای مکش و $f_w < 0$ برای پاشش سیال می باشد.

بنابراین واضح است که $f_w \neq 0$ معرف سطح نفوذپذیر و $f_w = 0$ نمایانگر سطوح نفوذناپذیر می باشد.

از معادله $f'' - \theta' = 0$ نتایج زیر حاصل می‌گردد.

$$f''(\eta) = \theta'(\eta) \quad (۱۸-۳)$$

$$f'(\eta) = \theta(\eta) \quad (۱۹-۳)$$

و معادله کنترلی به شکل زیر حاصل می‌گردد.

$$f''' + \frac{1+\lambda}{2} ff' - \lambda f'^2 = 0 \quad (۲۰-۳)$$

که شرایط مرزی زیر را دربر دارد [۶۹].

$$f(0) = f_w, f'(0) = 1, f'(\infty) = 0 \quad (۲۱-۳)$$

بسته به طبیعت پارامتر با نفوذ λ روی دمای مشخصه دیوار $T_w(x) = T_\infty + Ax^{\lambda}$ و شار جرمی جانبی

$$v_w = ax^{\frac{\lambda-1}{2}} \quad \text{موارد ذیل را در نظر می‌گیری [۶۹].}$$

الف) $\lambda = 1$:

معرف شار جرمی یکنواخت ($v_w = a$) می‌باشد و دمای دیوار به صورت خطی نسبت به x تغییر می‌کند.

ب) $\lambda = -\frac{1}{2}$:

معرف لایه مرزی ناشی از مکش می‌باشد. طی این مقدار برای λ ، حل تشابهی فقط برای $f_w > 0$ وجود دارد.

ج) $\lambda = 0$:

معرف صفحه هم دما ($T_w(x) = \text{Contant}$) می‌باشد و نشان می‌دهد که معادله

$$f''' + \frac{1+\lambda}{2} ff'' - \lambda f'^2 = 0 \quad \text{به صورت } f''' + \frac{1+\lambda}{2} ff'' - \lambda f'^2 = 0 \quad \text{که همان معادله بلازیوس است تبدیل می‌شود.}$$

همچنین مقادیر جواب به ازای $\lambda = -\frac{1}{3}$ جهت نشان دادن تأثیرات واضح f_w روی سطوح نفوذپذیر نشان داده شده است. همچنین توجه شود که نمونه‌های خاص $\lambda = 1$ و $\lambda = -\frac{1}{3}$ جواب‌های صریح به شکل ذیل دارند.

$$\begin{aligned} f(\eta) &= f_w + \frac{1}{H}[1 - e^{-H\eta}] \\ \theta(\eta) &= e^{-H\eta} \\ H &= [f_w + (f_w^4 + 4)^{1/2}] / 2 \end{aligned} \quad (22-3)$$

$$\begin{aligned} f(\eta) &= (f_w^2 + 6)^{1/2} \frac{((f_w^2 + 6)^{1/2} \tanh \xi + f_w)}{f_w \tanh \xi + (f_w^2 + 6)^{1/2}} \\ \theta(\eta) &= (f_w^2 + 6) [f_w \sinh \xi + (f_w^2 + 6)^{1/2} \cosh \xi]^{-2} \\ \xi &= (f_w^2 + 6)^{1/2} \eta / 6 \end{aligned} \quad (23-3)$$

۳-۱-۲- حل مسأله با روش HAM

ثابت شد که معادله کنترل و شروط مرزی آن به فرم زیر است.

$$\begin{aligned} f''' + \frac{1+\lambda}{2} ff' - \lambda f'^2 &= 0 \\ f(0) = f_w, f'(0) = 1, f'(\infty) &= 0 \end{aligned}$$

با توجه به وجود شرایط بی‌نهایت در مسأله، فرم تابع بی‌نهایت به شکل زیر است.

$$f(\eta) = \sum_{m=0}^{\infty} \sum_{n=0}^{\infty} \sum_{k=0}^{\infty} a_{m,n}^k \eta^k \exp(-n\eta), \quad (24-3)$$

تابع بیان حل کمک می‌کند تا حدس اولیه انتخاب شود و لزومی ندارد که حتماً از فرم فوق جهت حدس جواب اولیه استفاده شود.

اپراتور خطی و حدس اولیه برای معادله کنترل (۳-۲۰) این گونه معرفی می‌شود.

$$f_0(\eta) = 1 + f_w - e^{-\eta} \quad (25-3)$$

$$L(f) = f''' - f', \quad (26-3)$$

$$L(c_1 + c_2 e^{\eta} + c_3 e^{-\eta}) = 0, \quad (27-3)$$

که ضرایب C_3, C_2, C_1 مجهولند و باید با توجه به شرایط مرزی در هر مرتبه مشخص شوند.

معادلات تغییر شکل مرتبه صفر

اکنون می‌توان با توجه به اپراتور خطی و حدس اولیه فرم اولیه هموتوبی را ساخت.

$$(1-p)L[f(\eta; p) - f_0(\eta)] = p\hbar N[f(\eta; p)] \quad (28-3)$$

$$f(0; p) = f_w \quad (29-3)$$

$$f'(0; p) = 1 \quad (30-3)$$

$$f'(\infty; p) = 0 \quad (31-3)$$

$$N[f(\eta; p)] = \frac{\partial^3 f(\eta; p)}{\partial \eta^3} + \frac{1+\lambda}{2} f(\eta; p) \frac{\partial^2 f(\eta; p)}{\partial \eta^2} - \lambda \left(\frac{\partial f(\eta; p)}{\partial \eta} \right)^2 \quad (32-3)$$

برای $p=0$ و $p=1$ روابط زیر برقرار خواهد بود.

$$f(\eta; 0) = f_0(\eta) \quad (32-3)$$

$$f(\eta;1) = f(\eta) \quad (33-3)$$

هنگامی که p از صفر به یک تغییر کند حل مسأله از حدس اولیه به حل نهایی منجر خواهد شد. اگر $p = 1$ شود فرم جوابها مشخص می شود.

$$f(\eta, p) = f_0(\eta) + \sum_{m=1}^{\infty} f_m(\eta) p^m \quad (34-3)$$

$$f_m(\eta) = \frac{1}{m!} \frac{\partial^m (f(\eta, p))}{\partial p^m} \quad (35-3)$$

فرم مرتبه m هموتوپی برای مسأله

$$f(\eta) = f_0(\eta) + \sum_{m=1}^{\infty} f_m(\eta) \quad (36-3)$$

$$L [f_m(\eta) - \chi_m f_{m-1}(\eta)] = \hbar R_m^f(\eta) \quad (37-3)$$

$$f_m(0) = f_m'(0) = f_m'(\infty) = 0 \quad (38-3)$$

$$\chi_m = \begin{cases} 0 & m \leq 1 \\ 1 & m > 1 \end{cases} \quad (39-3)$$

$$R_m^f = f_{m-1}''' + \frac{1+\lambda}{2} \sum_{n=0}^{m-1} f_{m-1-n} f_n'' - \lambda \sum_{n=0}^{m-1} f_{m-1-n}' f_n' \quad (40-3)$$

فرم عمومی جوابها این گونه خواهد بود.

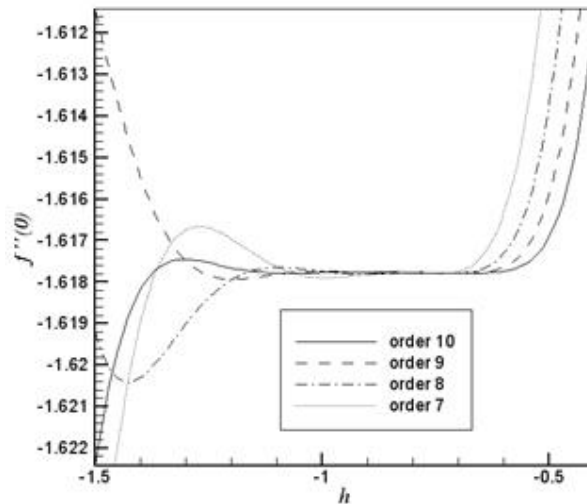
$$f_m(\eta) - \chi_m f_{m-1}(\eta) = f_m^*(\eta) + C_1^m + C_2^m e^\eta + C_3^m e^{-\eta} \quad (41-3)$$

به طوریکه C_3, C_2, C_1 ضرایب ثابتی هستند که با توجه به شرایط مرزی انتخاب می شوند.

۳-۱-۳- بررسی همگرایی:

مطابق نظر لیانو برای بررسی همگرایی^۱ حل و تعداد سری‌های لازم جهت همگرایی، نمودار پارامتر کمکی را باید ترسیم کرد.

شکل (۳-۲) این نمودار را بر اساس $f''(0)$ و به ازای مقادیر $f_w = 1$ و $\lambda = 1$ و برای چند مرتبه^۲ رسم شده و محدوده همگرایی مشخص شده است.



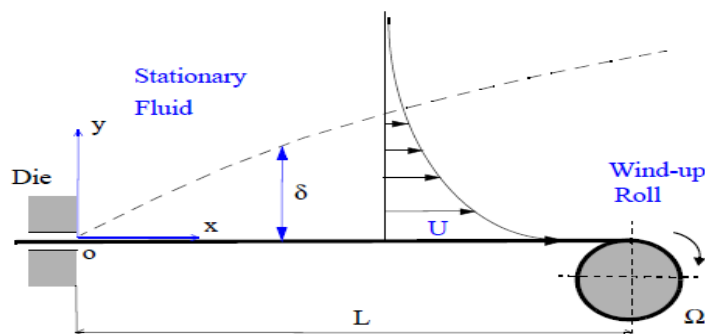
شکل (۳-۲): نمودار مربوط به همگرایی حل برای $\lambda = 1, f_w = 1$.

نتایج حل معادله حاکم بر مسأله در فصل چهارم بیان شده است و تفاسیر فیزیکی که صحت حل مسأله را مشخص می‌کند نیز ارائه گردیده است.

^۱ - Convergence

^۲ - Order

۳-۲- بررسی تحلیلی جریان وانتقال حرارت سیال ویسکوالاستیک بر روی یک صفحه صاف متحرک نیمه بی نهایت افقی



شکل (۳-۳): حرکت صفحه صاف متحرک نیمه بی نهایت با سرعت ثابت.

۳-۲-۱- سیال ویسکوالاستیک

مواد ویسکوالاستیک^۱ موادی هستند که به طور توأمان خواص ویسکوز و الاستیک^۲ را دارا می‌باشند. از آنجایی که در سیالات، تنش تابعی از نرخ برش^۳ و در جامدات تابعی از خودبرش میباشد لذا این مواد به طور همزمان دارای خواص جامد و سیال می‌باشند. دو مشخصه زمانی مهم که در این نوع سیالات نقش اساسی دارند شامل زمان آسودگی از تنش^۴ و زمان رهایی از تغییر شکل^۵ می‌باشد. زمان آسودگی از تنش به بازه زمانی گفته می‌شود که پس از قطع تنش برشی وارد بر سیال صرف می‌شود تا از این تنش رها گردد. برای سیالات نیوتنی این زمان صفر است. همچنین اگر در جریان کوئت^۶ حرکت صفحه بالایی به طور ناگهانی قطع گردد برخلاف سیالات نیوتنی، صفحه بالایی مقداری به عقب برمی‌گردد که به زمان حرکت به سمت عقب تا توقف کامل صفحه زمان رهایی از تغییر شکل می‌گویند. بازگشت صفحه بالایی به عقب ناشی از خاصیت الاستیک سیال است اما این بازگشت به دلیل وجود خاصیت ویسکوز،

^۱ - *Viscoelastic*

^۲ - *Elasticity*

^۳ - *Shear rate*

^۴ - *Relaxation time*

^۵ - *Retrdatation time*

^۶ - *Couette*

نسبت به جامدات الاستیک کندتر است که از این پدیده به عنوان، حافظه جهت دار^۱ تغییر شکل‌های مواد ویسکوالاستیک نام می‌برند [۷۰].

در جریان کوئت یک سیال معمولی تنش‌های نرمال همواره ثابت و مساوی فشار استاتیکی می‌باشد ولی در یک سیال ویسکوالاستیک اختلافی بین تنش‌های نرمال مشاهده می‌شود که ناشی از رفتار الاستیک ماده است. اختلاف تنش‌های نرمال به شکل ذیل قابل بیان هستند.

$$N_1 = \sigma_{xx} - \sigma_{yy} \quad (42-3)$$

$$N_2 = \sigma_{yy} - \sigma_{zz} \quad (43-3)$$

مطابق بررسی‌های انجام شده در اکثر مواد N_1 بزرگتر از N_2 می‌باشد. همچنین از نظر جهت N_1 دارای علامت مثبت و N_2 اغلب منفی می‌باشد. معمولاً در مسائل مطروحه N_2 اندازه گیری نشده و از نظر بزرگی، مقدارش ۱۰٪ مقدار N_1 لحاظ می‌گردد. وجود اختلاف تنش‌های نرمال باعث بوجود آمدن رفتارهای متفاوتی در سیالات ویسکوالاستیک می‌گردد [۲۱،۷۰].

دو پارامتر مهم بی‌بعد در بررسی جریان یک سیال ویسکوالاستیک عددهای دبورا^۲ و وایزنبرگ^۳ می‌باشد. عدد دبورا D_e به عنوان نسبت زمان آسودگی از تنش به زمان مشخصه سیال تعریف می‌گردد؛ برای یک زمان مشخصه معین (نسبت مقیاس طولی به مقیاس سرعت معین) عدد دبورا در گازها و مایعات نیوتنی عددی بسیار کوچک و در جامدات الاستیک عددی بسیار بزرگ است.

همچنین عدد وایزنبرگ بر اساس نسبت نیروی ناشی از خاصیت الاستیک به نیروی ناشی از ویسکوزیته تعریف می‌گردد. بالا بودن عدد وایزنبرگ به معنای غیرنیوتنی بودن آن است. بدیهی است که اگر اعداد وایزنبرگ و دبورا برای یک ماده مشخص مقداری کوچک داشته باشند، ماده شانس جاری شدن پیدا

^۱ - Directional memory

^۲ - Deborah number

^۳ - Weissenberg number

می‌کند. معمولاً از دیاگرام پیپکین^۱ جهت مشخص نمودن وضعیت ویسکوالاستیک ماده استفاده می‌گردد که شرح آن از موضوع بحث خارج است. فرمول‌های دو پارامتر بی‌بعد یاد شده به صورت ذیل است.

$$De = \lambda \omega = \frac{\lambda}{T} \quad (۴۴-۳)$$

$$Wi = \lambda \dot{\gamma}$$

که λ : مقیاس زمان مشخصه یک ماده ویسکوالاستیک که همان زمان آسودگی از تنش است.

T : زمان مشخصه جریان که معمولاً به صورت $\frac{x}{u}$ در نظر گرفته می‌شود.

ω : فرکانس مشخصه جریان و $\dot{\gamma}$ نرخ برش جریان می‌باشد.

جهت شبیه‌سازی و تحلیل ریاضی جریان سیالات ویسکوالاستیک مدل‌های مختلفی ارائه گردیده است. برخی مدل‌های معروف جهت شبیه‌سازی یاد شده از قبیل ماکسول^۲، کلوین-وایت^۳، برگرز^۴، دلتر ولچرت^۵ «ماکسول توسعه یافته» و خانواده مدل‌های اولدرویید^۶ می‌باشد. در میان مدل‌های اولدرویید دو مدل اولدرویید A و B نسبتاً کاربردی‌ترند. در مدل A ثابت تنش نرمال دوم قرینه ثابت تنش نرمال اول لحاظ می‌شود که با نتایج تجربی سازگاری کمتری دارد در حالی که در مدل B ثابت نرمال تنش اول وجود داشته ولی ثابت تنش نرمال دوم صفر فرض می‌گردد. مطابق توضیحات ارائه شده این مدل کارآمدتر می‌باشد. فرمول این مدل مطابق شکل ذیل است [۷۲].

$$\tau + \lambda_1 \dot{\tau}(1) = -\eta_0 (\dot{\gamma}(1) + \lambda_2 \dot{\gamma}(2)) \quad (۴۵-۳)$$

^۱ - *Pipkin's diagram*

^۲ - *Maxwell*

^۳ - *Kelvin-Voigt*

^۴ - *Burgers*

^۵ - *Dleter velchert*

^۶ - *Oldroyd*

که $\tau_{(i)}$ مشتق زمانی همرفتی پاد همبسته تانسور تنش^۱ و $\gamma_{(i)}$: مشتق زمانی پاد همبسته نرخ برش^۲، λ_i زمان آسودگی از تنش و η_0 ویسکوزیته در نرخ برش صفر می‌باشند.

در مدل اولدروئید B چنانچه $\lambda_1 = 0$ یعنی ترم مربوط به زمان آسودگی از تنش صفر فرض گردد به مدل سیال مرتبه دور می‌رسیم که $\tau = -\eta_0(\gamma(1) + \lambda_2\gamma(2))$ می‌باشد [۷۰].

$$\gamma(1) = \nabla V + (\nabla V)^T \quad (۴۶-۳)$$

$$\gamma(2) = \frac{D\gamma(1)}{Dt} - \{(\nabla V)^T \cdot \gamma(1) + \gamma(1) \cdot (\nabla V)\}$$

در این بخش به حل تشابهی موضعی برای جریان سیال ویسکوالاستیک مرتبه دو^۳ بر روی یک صفحه متحرک با استفاده از روش HAM پرداخته شده و نتایج با متدهای عددی انجام گرفته مقایسه می‌گردد.

۳-۲-۲- تحلیل جریان

مطابق شکل (۳-۳) سیال ویسکوالاستیک مرتبه دوم همگن^۴ و تراکم ناپذیر و در حال سکون روی یک صفحه متحرک با سرعت ثابت U وجود دارد. تاثیرات رفتار غیرنیوتنی سیال با عدد دبورا K کنترل می‌گردد.

تاثیرات الاستیسیته سیال روی مشخصات جریان تابع بدون بعد و مشتقات تابع در یک محدوده نسبتاً وسیع از k مورد بررسی قرار می‌گیرد. سرعت در یک نقطه با افزایش الاستیسیته سیال کاهش پیدا کرده و نیز مقدار سیالی که کشیده می‌شود تقلیل می‌یابد. فرض مسأله این است که دمای سطح تغییر با قانون توانی دارد. انتقال حرارت در دو حالت بررسی شده است:

^۱ - Contravariant convected time derivative of the stress tensor

^۲ - Contravariant convected time derivative of the shear rate

^۳ - Second grade

^۴ - Homogenise

(A) سطح در دمای معینی باشد PST ^۱

(B) سطح در معرض شار حرارتی معینی باشد PHF ^۲

همانگونه قبلاً بیان شد مدل سیال مرتبه دوم به صورت $\tau = -\eta_0(\dot{\gamma}_{(1)} + \lambda\dot{\gamma}_{(2)})$ نشان داده می‌شود.

تانسور تنش کائوچی^۳ وابسته به میدان تغییر شکل^۴ به صورت زیر نمایش داده می‌شود [۷۳]:

$$T = -pI + \alpha_1 A_1 + \alpha_2 A_2 + \alpha_3 A_3 \quad (۴۷-۳)$$

که pI - بخش ایزوتروپیک تانسور تنش، $\alpha_3, \alpha_2, \alpha_1$ مدول‌های مواد و A_3, A_2, A_1 تانسورهای

سینماتیک هستند که تعاریف آنها به شرح ذیل است [۷۰]:

$$\begin{aligned} A_1 &= \nabla V + (\nabla V)^T \\ A_2 &= \frac{DA_1}{Dt} + A_1(\nabla V) + (\nabla V)^T A_1 \\ A_3 &= A_1^2 \end{aligned} \quad (۴۸-۳)$$

که ∇V تانسور گرادیان سرعت است.

^۱ - Prescribed surface temprature

^۲ - Prescribed heat flux

^۳ - Cauchy stress

^۴ - deformation field

بر پایه واکنش سیال مرتبه دو به جریان برشی پایدار α_1 در واقع ضریب ویسکوزیته μ است. α_2, α_3 اختلاف تنشهای نرمال اول و دوم N_2, N_1 را نشان می‌دهند که بنا به داده‌های تجربی ما در این مسأله $\alpha_3 = 0$ قرار می‌دهیم.

بجای تانسور سینماتیکی A_1 از نسبت نرخ تغییر شکل $2d$ استفاده شده است [۷۲].

$$\tau_{ij} = 2\mu(d_{ij} - \lambda \frac{\delta d_{ij}}{\delta t}) \quad (۴۹-۳)$$

که μ ویسکوزیته و $\lambda = \frac{\alpha_2}{2\alpha_1}$ می‌باشد [۷۴]

$$\frac{\delta d_{ij}}{\delta t} = \frac{D}{Dt} d_{ij} + L_{ki} d_{kj} + L_{kj} d_{ik} \quad (۵۰-۳)$$

L_{ij} اجزای تانسور گرادیان سرعت اند $(\frac{\partial u_i}{\partial x_j})$.

حال با فرض سیال غیرقابل تراکم، جریان خطی و دوبعدی، معادلات مومنتم^۱ در راستای X, Y به صورت زیر است.

$$\rho \left(u \frac{\partial u}{\partial x} + v \frac{\partial u}{\partial y} \right) = -\frac{\partial p}{\partial x} + \frac{\partial \tau_{xx}}{\partial x} + \frac{\partial \tau_{xy}}{\partial y} \quad (۵۱-۳)$$

$$\rho \left(u \frac{\partial v}{\partial x} + v \frac{\partial v}{\partial y} \right) = -\frac{\partial p}{\partial y} + \frac{\partial \tau_{yx}}{\partial x} + \frac{\partial \tau_{yy}}{\partial y}$$

تقریب‌های شرایط مرزی به صورت ذیل است.

$$\begin{aligned} x = O(1), u = O(1) \\ y = O(\delta), v = O(\delta) \end{aligned} \quad (۵۲-۳)$$

^۱ - Momentum

ترم‌های الاستیک این معادله و در ترم $\frac{\partial \tau_{yx}}{\partial y}$, $\frac{\partial \tau_{xy}}{\partial x}$ ترم‌های ویسکوز این

معادله هستند.

$$\begin{aligned} \frac{\tau_{xx}}{\rho} &= O(1) \\ \frac{\tau_{xy}}{\rho} &= O(\delta) \\ \frac{\tau_{yy}}{\rho} &= O(\delta^2) \end{aligned} \quad (53-3)$$

بنابراین معادلات مومنتم به شکل زیر تبدیل می‌شوند.

$$\begin{aligned} \rho \left(u \frac{\partial u}{\partial x} + v \frac{\partial u}{\partial y} \right) &= -\frac{\partial p}{\partial x} + \frac{\partial \tau_{xx}}{\partial x} + \frac{\partial \tau_{xy}}{\partial y} \\ \frac{\partial p}{\partial y} &= 0 \end{aligned} \quad (54-3)$$

برای یک سیال تراکم‌ناپذیر که تغییرات فشار در جهت جریان وجود ندارد معادله‌های فوق به شکل زیر

در می‌آیند.

$$\begin{aligned} \left(\frac{\partial u}{\partial x} + \frac{\partial v}{\partial y} \right) &= 0 \\ \rho \left(u \frac{\partial u}{\partial x} + v \frac{\partial u}{\partial y} \right) &= \frac{\partial \tau_{xx}}{\partial x} + \frac{\partial \tau_{xy}}{\partial y} \end{aligned} \quad (55-3)$$

با استفاده از تعریف تنش τ_{ij} برای سیال مرتبه دوم:

$$u \frac{\partial u}{\partial x} + v \frac{\partial u}{\partial y} = v \frac{\partial^2 u}{\partial y^2} - \lambda v \left[u \frac{\partial^3 u}{\partial x \partial y^2} + 2v \frac{\partial^3 u}{\partial y^3} + \frac{\partial u}{\partial x} \frac{\partial^2 u}{\partial y^2} - \frac{\partial u}{\partial y} \frac{\partial^2 u}{\partial x \partial y} \right] \quad (56-3)$$

و تعریف تابع جریان به فرم $u = \frac{\partial \psi}{\partial y}$, $v = -\frac{\partial \psi}{\partial x}$ به فرم زیر است.

$$\begin{aligned} \left(\frac{\partial \psi}{\partial y}\right)\left(\frac{\partial^2 \psi}{\partial y \partial x}\right) - \left(\frac{\partial \psi}{\partial x}\right)\left(\frac{\partial^2 \psi}{\partial y^2}\right) &= \left(-\frac{\partial \psi}{\partial x}\right)\left(\frac{\partial^3 \psi}{\partial y^3}\right) + \lambda \left(\frac{\partial \psi}{\partial x}\right)\left[\left(\frac{\partial \psi}{\partial y}\right)\left(\frac{\partial^4 \psi}{\partial y^3 \partial x}\right)\right. \\ &\left. - 2\left(\frac{\partial \psi}{\partial x}\right)\left(\frac{\partial^4 \psi}{\partial y^4}\right) - \left(\frac{\partial^2 \psi}{\partial x \partial y}\right)\left(\frac{\partial^3 \psi}{\partial y^3}\right) - \left(\frac{\partial^2 \psi}{\partial y^2}\right)\left(\frac{\partial^3 \psi}{\partial x \partial y^2}\right)\right] \end{aligned} \quad (57-3)$$

همچنین تابع جریان به فرم زیر بی بعد می گردد.

$$f(\eta) = \frac{\psi}{\sqrt{x \nu U}} \quad (58-3)$$

که ν ویسکوزیته سینماتیکی^۱ جریان است.

f تابع جریان بدون بعد و η متغیر تشابهی تعریف شده به فرم زیر است:

$$\eta = \frac{y}{x} \sqrt{\text{Re}_x} \quad (59-3)$$

و مولفه‌های سرعت به شکل ذیل می باشند.

$$\begin{aligned} u &= U f', \\ v &= \frac{1}{2} \sqrt{\frac{\nu U}{x}} (\eta f' - f). \end{aligned} \quad (60-3)$$

با استفاده از تعاریف فوق معادله مومنتم به شکل بی بعد زیر در آمده که یک معادله دیفرانسیل معمولی

می باشد.

$$-\frac{1}{2} f f'' = f''' + \frac{K}{2} (2f f'' - f'^2 + f f^{iv}) \quad (61-3)$$

^۱ - Kinematic

فصل چهارم:
نتایج و نمودارها

۴-۱- نتایج حل مسأله اول:

در این بخش، نتایج بدست آمده از حل سری لایه مرزی جایجایی آزاد روی یک صفحه عمودی گرم شده همراه با شار جرمی جانبی که در یک محیط متخلخل اشباع شده قرار گرفته است بررسی می گردد.

معادله مشخصه حاکم بر شرایط مسأله و شرایط مرزی آن به شکل زیر است.

$$f''' + \frac{1+\lambda}{2} ff'' - \lambda f'^2 = 0$$

$$f(0) = f_w, f'(0) = 1, f'(\infty) = 0$$

جداول (۱-۴) و (۲-۴) و (۳-۴) مقادیر مختلف $f''(0) = \theta'(0)$ را برای مقادیر λ مساوی با $0, -1/2, -1/3$ مورد بررسی قرار داده است. همچنین جدول (۴-۴) مقادیر مختلف $f''(0) = \theta'(0)$ را $\lambda = 0$ و $f_w = 1$ به ازای مقادیر η مختلف نمایش می دهد.

جدول (۱-۴): مقادیر $f''(0) = \theta'(0)$ برای مقادیر مختلف پارامتر مکش

برای $\lambda = 1$

| f_w | HAM | Shooting Method | ADM[۱۹] |
|-------|----------|--------------------|----------|
| -۱ | -۰.۶۱۸۱۴ | -۰.۶۱۸۵۵ | -۰.۶۱۸۰۳ |
| -۰.۸ | -۰.۶۷۷۱۵ | -۰.۶۷۷۶۳ | -۰.۶۷۷۰۳ |
| -۰.۴ | -۰.۸۱۹۸۹ | -۰.۸۲۰۴۷ | -۰.۸۱۹۸۰ |
| ۰.۰ | -۰.۹۹۹۹۹ | -۰.۹۹۹۹۹ | -۱.۰۰۰۰۰ |
| ۱.۰ | -۱.۶۱۷۷۶ | -۱.۶۱۸۱ | -۱.۶۱۸۰۳ |

جدول (۴-۲): مقادیر $f''(0) = \theta'(0)$ برای مقادیر مختلف پارامتر مکش برای

$$\lambda = -1/3$$

| f_w | <i>HAM</i> | <i>Shooting Method</i> | <i>ADM</i> [۱۹] |
|-------|------------|------------------------|-----------------|
| ۰.۰ | ۰.۰۰۴۱۰ | -۰.۰۰۰۹۰ | ۰.۰۰۰۰۰ |
| ۱.۰ | -۰.۳۳۳۱۶ | -۰.۳۳۲۸ | -۰.۳۳۳۳۴ |
| ۲.۰ | -۰.۶۶۶۱۴ | -۰.۶۶۶۰۳ | -۰.۶۶۶۰۲ |
| ۳.۰ | -۰.۹۶۵۶۸ | -۰.۹۶۵۷۲ | -۰.۹۶۵۷۷ |
| ۵.۰ | -۱.۶۶۴۶۷ | -۱.۶۶۶۶۶ | -۱.۶۶۶۶۱ |

جدول (۴-۳): مقادیر $f''(0) = \theta'(0)$ برای مقادیر مختلف پارامتر مکش برای

$$\lambda = -1/2$$

| f_w | <i>HAM</i> | <i>Shooting Method</i> | <i>ADM</i> [۱۹] |
|-------|------------|------------------------|-----------------|
| ۱.۰ | ۰.۲۳۷۴۹ | ۰.۲۰۰۰۱ | ۰.۲۱۷۵۴ |
| ۳.۰ | -۰.۵۸۳۳۶ | -۰.۵۸۷۷۶ | -۰.۵۹۷۲۸ |
| ۵.۰ | -۱.۱۴۹۱۰ | -۱.۱۵۰۶۱ | -۱.۱۵۹۹۹ |
| ۱۰.۰ | -۲.۴۴۴۴۶ | -۲.۴۵۱۱۰ | -۲.۴۶۵۲۱ |

جدول (۴-۴): مقادیر $f''(0) = \theta'(0)$ برای $\lambda = 0$ و $f_w = 1$ به ازای مقادیر مختلف

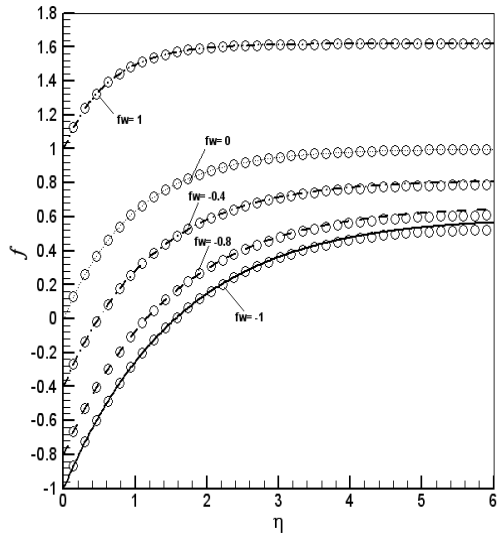
پارامتر η

| η | <i>HAM</i> | <i>Shooting Method</i> | <i>ADM</i> [۱۹] |
|--------|------------|------------------------|-----------------|
| ۸.۰ | -۰.۷۸۶۴۰ | -۰.۷۸۶۵۷ | -۰.۷۸۶۵۹ |
| ۹.۰ | -۰.۷۸۶۳۹ | -۰.۷۸۶۵۶ | -۰.۷۸۶۴۶ |
| ۱۰.۰ | -۰.۷۸۶۳۷ | -۰.۷۸۶۴۲ | -۰.۷۸۶۴۲ |
| ۱۱.۰ | -۰.۷۸۶۳۵ | -۰.۷۸۶۴۰ | -۰.۷۸۶۴۱ |

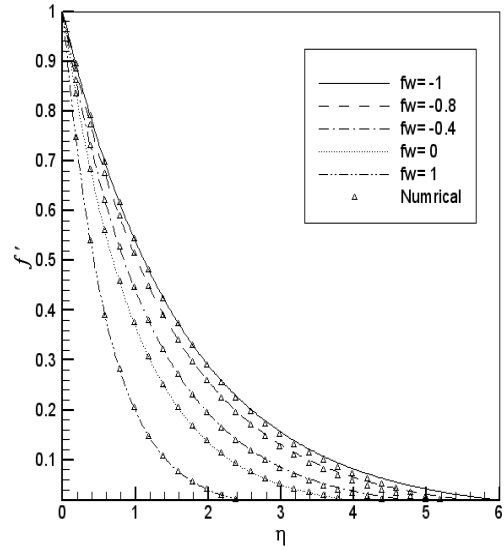
تاثیر پارامتر مکش بر روی تابع جریان، سرعت و دما به ازای مقادیر مختلف λ ، f_w در نمودارهای (۴-۴)

۱، (۲-۴)، (۳-۴) و (۴-۴) مشخص شده است. و در شکل (۴-۵) برای حالت $f_w = 0$ یعنی معرف

سطح غیرقابل نفوذ تاثیر پارامتر λ نمایان است.

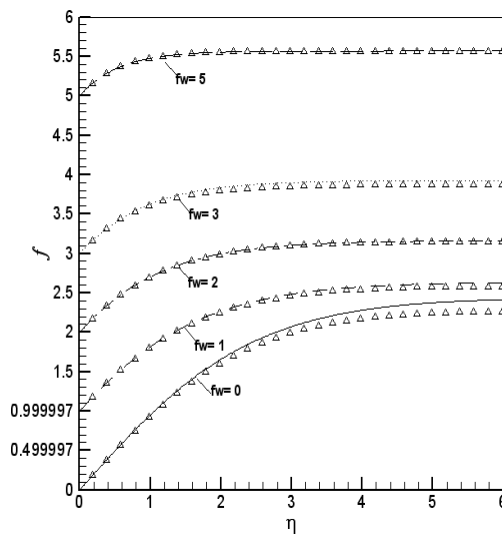


(الف)

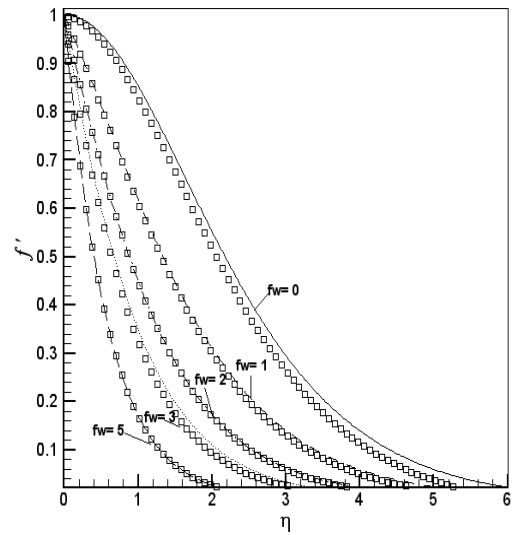


(ب)

شکل (۴-۱): تاثیر پارامتر مکش بر روی تابع جریان (الف)، سرعت و دما (ب) برای $\lambda = 1$

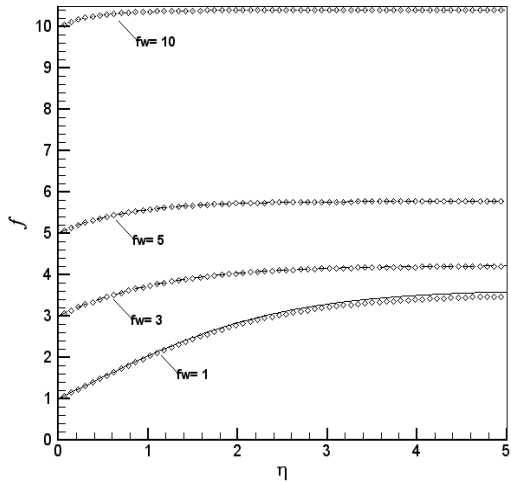


(الف)

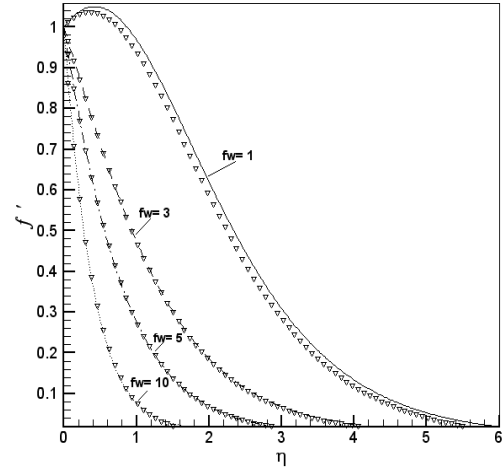


(ب)

شکل (۴-۲): تاثیر پارامتر مکش بر روی تابع جریان (الف)، سرعت و دما (ب) برای $\lambda = -1/3$.

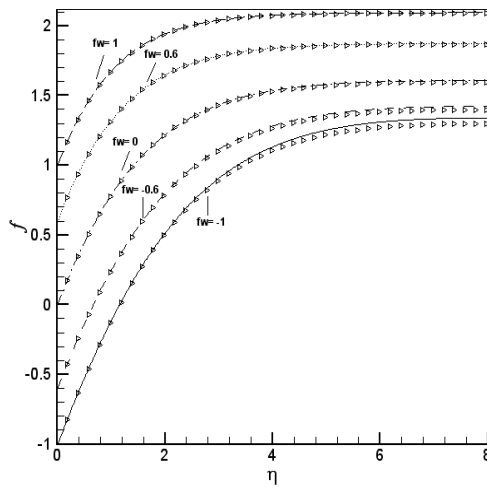


(الف)

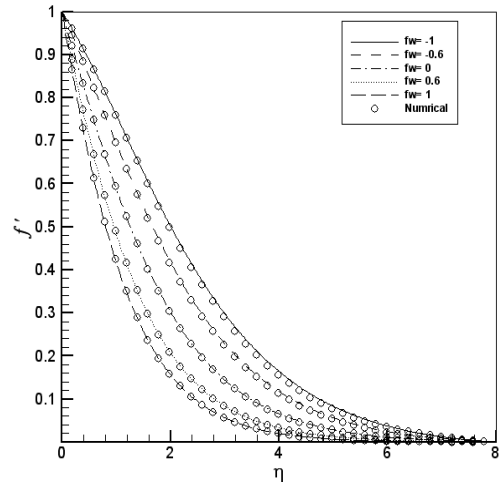


(ب)

شکل (۳-۴): تاثیر پارامتر مکش بر روی تابع جریان (الف)، سرعت و دما (ب) برای $\lambda = -1/2$

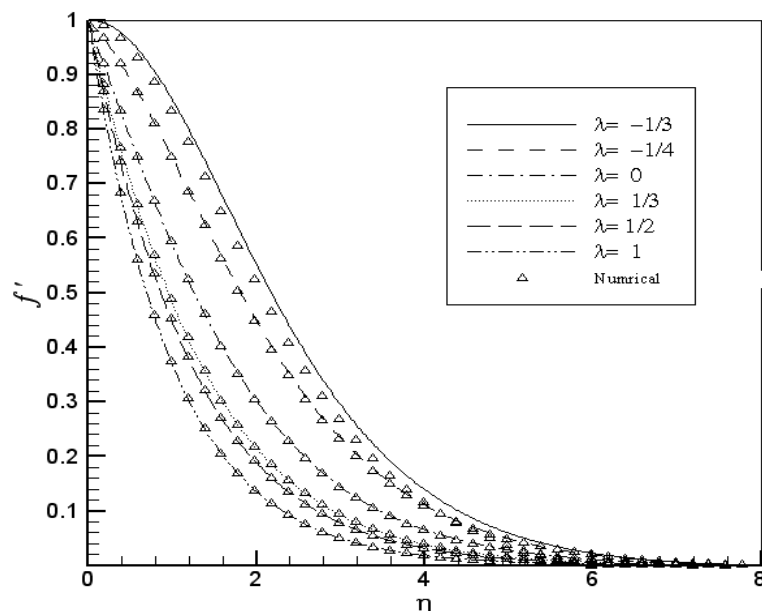


(الف)



(ب)

شکل (۴-۴): تاثیر پارامتر مکش بر روی تابع جریان (الف)، سرعت و دما (ب) برای $\lambda = 0$



شکل (۴-۵): تاثیر پارامتر λ بر روی تابع سرعت و دما برای $f_w = 0$

با توجه به نمودارها و جداول فوق توجه به نکات ذیل ضروری است:

علامت منفی $\theta'(0)$ تعیین کننده جهت جریان از دیواره به سمت سیال (انتقال حرارت مستقیم) و در صورت مثبت بودن، انتقال حرارت از سیال به سمت دیواره (معکوس) می باشد. در حالتی که $\theta'(0) = 0$ هیچ گونه انتقال حرارتی وجود نداشته و در اصطلاح، سطح آدیاباتیک می باشد. با افزایش پارامتر مکش-پاشش از مقادیر منفی به مقادیر مثبت، شار حرارتی روی دیواره $\theta'(0)$ افزایش می یابد. پدیده مکش باعث کاهش ضخامت لایه مرزی می گردد ولی پدیده پاشش ضخامت لایه مرزی را افزایش می دهد از آنجایی که به ازای $f_w < 0$ پدیده پاشش و $f_w > 0$ برای پدیده مکش مواجهیم توجه به نمودارها صحت حل را تصدیق می کند. در $\eta = \infty$ سرعت صفر می شود ($f' \rightarrow 0$) این امر بدلیل وجود جابجایی طبیعی (آزاد) می باشد که در آن سرعت در خارج لایه مرزی صفر است.

تاثیر پارامتر λ روی ضخامت لایه مرزی حرارتی نیز در نوع خود جالب می باشد:

به ازای λ های مثبت با توجه به فرمول $T_w = T_\infty + Ax^\lambda$ و $A > 0$ ، در قبال افزایش λ ، اختلاف دمای $T_w - T_\infty$ و گرادیان آن زیاد شده و در نتیجه ضخامت لایه مرزی کاهش می یابد. به ازای $\lambda < 0$ نیز

تحلیل مشابهی قابل ارائه می‌باشد بدین صورت که هر چه مقدار $|\lambda|$ بزرگتر شود ضخامت لایه مرزی افزایش می‌یابد که ناشی از کاهش گرادیان دما می‌باشد. به ازای λ های مثبت نسبت به λ های منفی نیز با توجه به فرمول $T_w = T_\infty + Ax^{\lambda^2}$ اختلاف دما و گرادیان آن بیشتر و در نتیجه ضخامت لایه مرزی پایین‌تر است.

۴-۲- نتایج مسأله دوم

نتایج بررسی تحلیلی جریان و انتقال حرارت سیال ویسکوالاستیک مرتبه دوم بر روی یک صفحه صاف متحرک نیمه بی نهایت افقی در این قسمت نشان داده شده است.

معادلات حاکم بر جریان و انتقال حرارت این مسأله به شکل ذیل می‌باشند:

معادله حاکم بر جریان سیال به صورت ذیل است.

$$-\frac{1}{2}ff'' = f''' + \frac{K}{2}(2ff'' - f'^2 + ff'''')$$

$$f(0) = 0$$

$$f'(0) = 1$$

$$f'(\infty) = 0$$

معادله انتقال حرارت در حالت *PST* به شکل زیر نشان داده شده است.

$$\theta'' + \frac{\sigma}{2}f\theta' - 2\sigma f'\theta + \sigma Ecf''^2 = 0$$

$$\theta(0) = 1, \theta(\infty) \rightarrow 0.$$

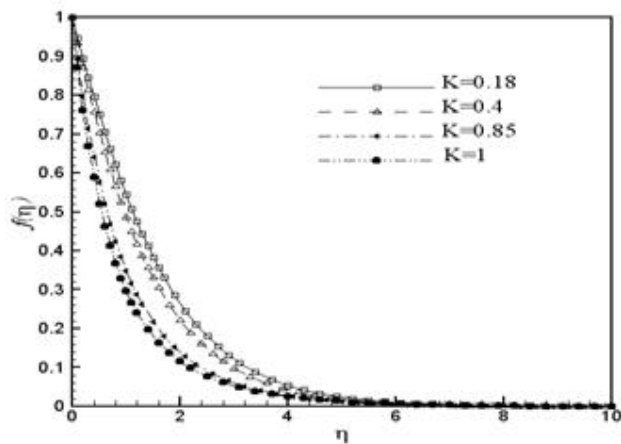
معادله انتقال حرارت در حالت *PHF* نیز به فرم زیر نمایش داده می‌شود.

$$g'' + \frac{\sigma}{2}fg' + \sigma E f''^2 = 0,$$

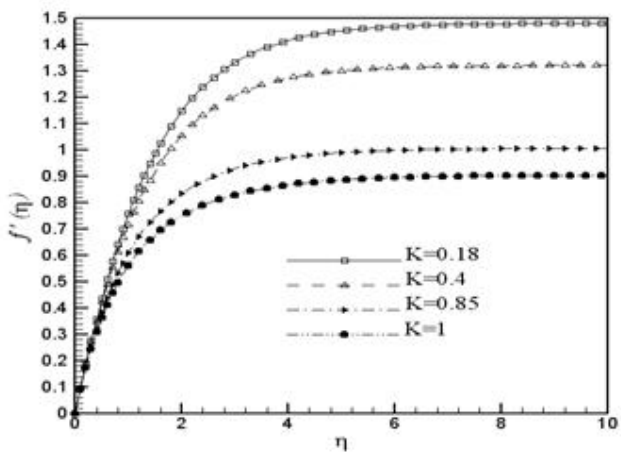
$$g'(0) = -1, \quad g(\infty) = 0,$$

در نمودارهای (۴-۶) ، (۴-۷) به تاثیر افزایش عدد دیورا روی جریان و ضخامت لایه مرزی و همچنین روی پروفیل سرعت پرداخته شده است.

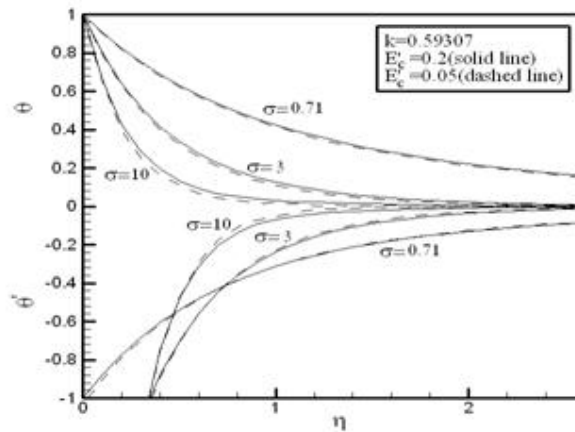
از جوابهای بدست آمده برای معادله مربوط به حالت *PST* نمودار (۴-۸) را که منحنی تغییرات θ و θ' بر حسب η می باشد رسم شده و تاثیرات افزایش عددهای پراندل و اکرت روی میدان دما و شار حرارتی و ضخامت لایه مرزی حرارتی بررسی شده است. همچنین در نمودار (۴-۹) تاثیر افزایش عدد دیورا و الاستیسیته سیال روی پارامترهای بالا در حالت *PST* بررسی گشته است. در نمودار (۴-۱۰) نیز تاثیر تغییرات عددهای پراندل و اکرت روی میدان دما، شار حرارتی و ضخامت لایه مرزی حرارتی در حالت *PHF* بررسی شده و در شکل (۴-۱۱) تاثیر مقادیر مختلف K روی پارامترهای نام برده در حالت *PHF* نمایش داده شده است. همچنین در جدول (۴-۵) جوابهای بدست آمده f تابع جریان به ازای مقادیر مختلف k با نتایج عددی حاصل [۷۸] مقایسه شده است. جداول (۴-۶) و (۴-۷) نتایج بدست آمده $\theta'(\circ)$ و $g(\circ)$ را به ازای مقادیر مختلف K ، σ با نتایج حاصل از حل عددی مقایسه نموده است.



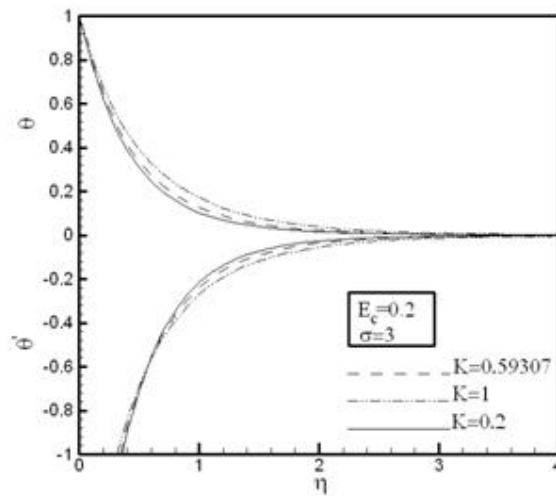
شکل (۴-۶): تاثیر تغییر عدد دبوراً روی تابع جریان



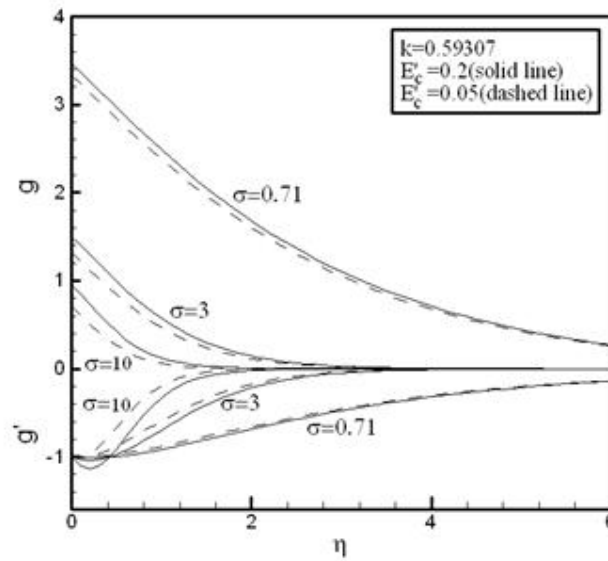
شکل (۴-۷): تاثیر تغییرات عدد دبوراً روی ضخامت لایه مرزی



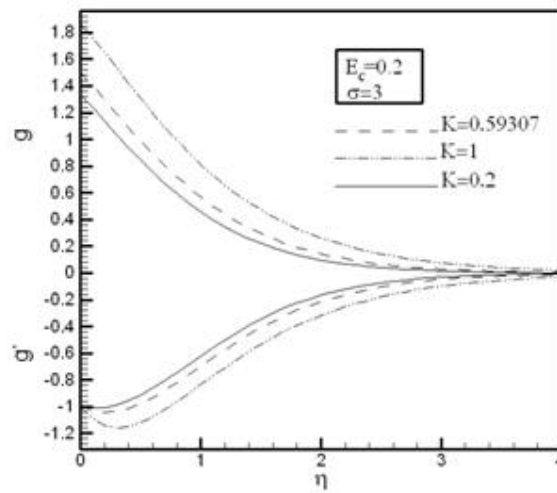
شکل (۴-۸): منحنی تغییرات θ و θ' بر حسب η و تاثیرات افزایش عددهای پراندل و اکرت روی میدان دما و شار حرارتی و ضخامت لایه مرزی حرارتی در حالت *PST*



شکل (۴-۹): تأثیر افزایش عدد دبوراً و الاستیسیته سیال روی میدان دما و شار حرارتی و ضخامت لایه مرزی حرارتی در حالت *PST*



شکل (۴-۱۰): تاثیر تغییرات عددهای پراندل و اکرت روی میدان دما و شار حرارتی و ضخامت لایه مرزی حرارتی در حالت PHF



شکل (۴-۱۱): تاثیر مقادیر مختلف K روی میدان دما، شار حرارتی و ضخامت لایه مرزی در حالت PHF

جدول (۴-۵): مقایسه جواب‌های بدست آمده f تابع جریان به ازای مقادیر مختلف از طریق روش HAM و حل عددی انجام شده

| K | HAM | [۷۸] | K | HAM | [۷۸] |
|---------|---------|---------|--------|---------|---------|
| ۰.۱۸ | ۰.۵۳۶۱۷ | ۰.۵۳۳۱۵ | ۰.۸۵ | ۱.۱۴۹۴۴ | ۱.۱۴۹۱۶ |
| ۰.۲ | ۰.۵۴۴۵۳ | ۰.۵۴۶۵۲ | ۰.۸۶۵ | ۱.۱۷۲۹۸ | ۱.۱۷۱۵۳ |
| ۰.۴ | ۰.۶۷۹۱۴ | ۰.۶۷۹۰۷ | ۰.۸۷۳۵ | ۱.۱۸۴۳۷ | ۱.۱۸۴۴۶ |
| ۰.۵۹۳۰۷ | ۰.۸۴۵۱۴ | ۰.۸۴۳۰۷ | ۰.۹۵ | ۱.۳۰۹۱۰ | ۱.۳۰۹۸۶ |
| ۰.۷۵ | ۱.۰۱۳۲۹ | ۱.۰۱۴۶۷ | ۱ | ۱.۴۰۳۶۱ | ۱.۴۰۲۳۸ |

جدول (۴-۶): مقایسه نتایج بدست آمده $-\theta'(0)$ از طریق روش HAM با حل عددی به ازای مقادیر مختلف K, E_c

| K | E_c | $-\theta'(0)$ | | | | | |
|---------|-------|-----------------|--------|--------------|---------|---------------|---------|
| | | $\sigma = 0.71$ | | $\sigma = 3$ | | $\sigma = 10$ | |
| | | HAM | [۷۸] | HAM | [۷۸] | HAM | [۷۸] |
| ۰.۵۹۳۰۷ | ۰.۲ | ۰.۹۹۷۵ | ۰.۹۹۰۸ | ۲.۲۷۳۸۲ | ۲.۲۷۰۱۱ | ۴.۲۵۲۸۰ | ۴.۲۸۴۷۹ |
| | ۰.۰۵ | ۱.۰۲۷۹ | ۱.۰۳۲۲ | ۲.۳۵۸۲۵ | ۲.۳۵۸۳۷ | ۴.۴۵۸۳۲ | ۴.۴۷۹۲۳ |
| | ۰.۰ | ۱.۰۳۸۱ | ۱.۰۳۷۱ | ۲.۳۸۷۷۱ | ۲.۳۸۷۷۹ | ۴.۵۰۸۰۰ | ۴.۵۴۴۰۱ |
| ۰.۲ | ۰.۲ | ۱.۰۷۹۸۷ | ۱.۰۷۸۱ | ۲.۳۹۱۹۵ | ۲.۳۸۷۹۵ | ۴.۴۶۲۰۸ | ۴.۴۷۱۶۶ |
| ۰.۵۹۳۰۷ | ۰.۲ | ۰.۹۹۷۵ | ۰.۹۹۰۸ | ۲.۲۷۳۸۲ | ۲.۲۷۰۱۱ | ۴.۲۵۲۸۰ | ۴.۲۸۴۷۹ |
| ۱.۰ | | ۰.۸۵۶۳ | ۰.۸۵۳۰ | ۲.۰۲۶۵۰ | ۲.۰۲۴۷۹ | ۳.۸۹۸۶۲ | ۳.۸۴۲۷۷ |

جدول (۷-۴): مقایسه نتایج بدست آمده $g(\circ)$ از طریق روش HAM با حل عددی به ازای مقادیر مختلف K, E'_c

| K | E'_c | $g(0)$ | | | | | |
|--------|--------|-----------------|---------|--------------|---------|---------------|---------|
| | | $\sigma = 0.71$ | | $\sigma = 3$ | | $\sigma = 10$ | |
| | | HAM | [۷۸] | HAM | [۷۸] | HAM | [۷۸] |
| ۰.۵۹۳۰ | ۰.۲ | ۳.۴۶۶۷۹ | ۳.۵۳۰۵۸ | ۱.۵۰۱۶۹ | ۱.۵۰۱۷۹ | ۰.۹۵۲۹۴ | ۰.۹۵۲۷ |
| | ۰.۰۵ | ۳.۳۳۵۴۳ | ۳.۳۹۴۹۴ | ۱.۳۱۹۷۶ | ۱.۳۲۰۱۴ | ۰.۷۰۶۲۴ | ۰.۷۰۶۳ |
| | ۰.۰ | ۳.۲۹۲۲۸ | ۳.۳۵۰۶۷ | ۱.۲۵۹۱۲ | ۱.۲۵۹۵۹ | ۰.۶۲۴۰۳ | ۰.۶۲۴۴ |
| | | | | | | | |
| ۰.۲ | ۰.۲ | ۳.۰۶۲۴۰ | ۳.۲۰۳۴۳ | ۱.۳۳۵۴۷ | ۱.۳۴۰۱۸ | ۰.۸۰۵۵۸ | ۰.۸۱۲۳۳ |
| ۰.۵۹۳۰ | | ۳.۴۶۶۷۹ | ۳.۵۳۰۵۸ | ۱.۵۰۱۶۹ | ۱.۵۰۱۷۹ | ۰.۹۵۲۹۴ | ۰.۹۵۲۷ |
| ۱.۰ | | ۴.۱۸۹۰۸ | ۴.۳۸۵۸۶ | ۱.۸۶۶۳۰ | ۱.۸۶۶۵۶ | ۱.۲۷۸۴۵ | ۱.۲۸۸۹ |

نتایج حل معادلات حاکم بر جریان این مسأله مشخص می کند که K «وجود الاستیسیته در جریان»

یک شتاب به سیال وارد می کند یعنی نسبت $\frac{u}{U}$ سریعتر به سمت صفر میل می کند. دلیل این امر

افزایش تنش های الاستیک در سیال است که ماهیتی کششی دارند و به سیال شتاب می دهند.

همچنین افزایش K باعث محدود شدن اثرات الاستیک به ناحیه نازکی نزدیک دیواره می گردد و

ضخامت لایه مرزی کاهش می یابد. افزایش عدد دورا به ازای مقادیر کوچک آن به علت انحراف کم

رفتار سیال از مشخصه های سیال نیوتنی زیاد نیست. در این حالت تنش نرمال تولید شده در جریان که

تمایل به کاهش ضخامت لایه مرزی دارند خیلی بزرگ نیستند و تأثیرات λ می‌تواند بر آنها مسلط گردد. با افزایش K تنش‌های عمودی بزرگ و بزرگتر شده در حالی که اثرات λ در همان حالت باقی می‌ماند. بنابراین قابل پیش‌بینی است که در K های بزرگ تقلیل نسبتاً زیادی در ضخامت لایه مرزی بوجود آید.

در سیالات غیرخطی امکان تشکیل لایه مرزی در $Re_x = 0$ نیز وجود دارد. در حالی که برای سیالات نیوتنی، لایه مرزی یک ناحیه نازک است که در آن غلظت گردابه^۱ مشاهده می‌شود. در سیالات غیرنیوتنی به علت اثرات الاستیک یا اثرات اینرسی^۲ وجود یک لایه مرزی امکان دارد مشروط بر این که عدد بی بعد مشخصه این اثرات Re یا D_e به سمت مقدار بحرانی مشخص میل کند. برای یک سیال مرتبه دو بدلیل این که مشابه سیالات نیوتنی ویسکوزیته آنها ثابت است، آثار اینرسی بحرانی وجود ندارد ولی بدلیل وجود رفتار الاستیک و داده‌های تجربی مشخص است برای K یک مقدار بحرانی در نزدیکی عدد 1 وجود دارد [۷۶].

همچنین c_f تابعی از عدد دبورای موضعی می‌باشد یعنی تنش برشی دیوار، مقیاسی از الاستیسیته سیال است و با افزایش K ، c_f زیاد می‌شود در محل K بحرانی یک شیب زیاد در صعود c_f ایجاد می‌شود که با یافته‌های ذکر شده در خصوص ضخامت لایه مرزی سازگار است. و نیز v_∞ که معرف مقدار سیالی است که به وسیله سطح کشیده می‌شود با افزایش K کاهش می‌یابد [۷۷].

^۱ - *Vorticity*

^۲ - *Inertia*

با بررسی نتایج معادلات انتقال حرارت حاکم بر این مسأله واضح است که با افزایش عدد پراندل (σ) کاهشی در دما اتفاق خواهد افتاد در حالی که برای هر دو حالت در نظر گرفته شده افزایش عدد اکرت منجر به افزایش دما خواهد شد.

رفتار θ و θ' نیز در هر دو شرایط، بررسی شده و مشخص گشت که افزایش K ، عدد دبوراه، باعث افزایش دمای سیال می‌گردد که این افزایش دما برای اعداد دبورای بزرگتر بیشتر به چشم می‌آید. برای نمونه در حالت PST صرف‌نظر از σ و برای $E_c = cte$ ، با افزایش K ، گرادیان دمای دیوار ($-\theta'(0)$) کاهش می‌یابد و حتی ممکن است منفی شود. به عبارت دیگر پروفیل دمای $\theta(\eta)$ در نزدیکی دیواره، یک جهش حرارتی دارد یعنی دمای سیال در نزدیکی دیوار از دمای لبه لایه مرزی تجاوز می‌کند. این جهش دمایی زمانی واضح است که هر دو پارامتر بی‌بعد σ, K مقدار بزرگی داشته باشند. دلیل بروز چنین پدیده‌ای به شرح زیر است.

برای مقادیر کوچک K جریان حرارتی از سطح به سیال زمانی که $T_w > T_\infty$ می‌باشد اتفاق می‌افتد در حالی که برای مقادیر بزرگ K حرارت تولید شده کافی ناشی از ترکیب اثرات اتلاف^۱ ویسکوز و الاستیسیته سیال حتی زمانی که $T_w > T_\infty$ نیز شود هم از سیال به سطح منتقل می‌گردد.

^۱ - Dissipation

- [١] Von Dyke, M. Perturbation Methods in Fluid Mechanis, The Porabolic press, Stanford, California, (١٩٧٥).
- [٢] Nayfeh, A.H. Introduction to Perturbation Techniques. John Wiley & Sons, New York, (١٩٨١)
- [٣] Nayfeh, A.H. Problems in Perturbation. John wiely & sons, New York, (١٩٨٥)
- [٤] Liao, SJ. Beyond Perturbation: Introduction to Homotopy Analysis Method, Boca Raton: Chapman & Hall CRC Press: (٢٠٠٣)
- [٥] Dai, S.Q.et al. Top ١٠ Progress of Theoretical and Applied Mechanics in the ٢٠th century. Advauces in Mechanics, ٣١(٣) (٢٠٠١) ٣٢٢-٣٢٦
- [٦] Perturbation Methods in Fluid Mechanics. Van Dyke, Milton-New York, ١٩٦٤
- [٧] Perturbation Methods in Heat Transfer. A Aziz, TY Na - Washington, DC, ١٩٨٤
- [٨] Karmishin, A.V; Zhukov, A.T. and kolosov, V.G. Methods of Dynamics Calculation and Testing for Thin-Walled Structures. Mashinostroyenie, Moscow, (١٩٩٠)
- [٩] Jihuan He, An Approximate Solution Technique Depending on an Artificial Parameter, Communications in Nonlinear Science and Numerical Simulation, Volume ٣, Issue ٢, June ١٩٩٨, ٩٢-٩٧
- [١٠] Ji-Huan He, A Coupling Method of a Homotopy Technique and a Perturbation Technique for Non-Linear Problems, International Journal of Non-Linear Mechanics, Volume ٣٥, Issue ١, January ٢٠٠٠, ٣٧-٤٣
- [١١] Ji-Huan He, Yan-Ping Yu, Jian-Yong Yu, Wei-Ru Li, Shan-Yuan Wang, Ning Pan, A Nonlinear Dynamic Model for Two-Strand Yarn SpinningTextile Research Journal, Vol. ٧٥, No. ٢, ١٨١-١٨٤ (٢٠٠٥),
- [١٢] Ji-Huan He, Application of Homotopy Perturbation Method to Nonlinear Wave Equations, Chaos, Solitons & Fractals, Volume ٢٦, Issue ٣, November ٢٠٠٥, ٦٩٥-٧٠٠
- [١٣] Ji-Huan He, The Homotopy Perturbation Method for Nonlinear Oscillators with Discontinuities, Applied Mathematics and Computation, Volume ١٥١, Issue ١, ٣٠ March ٢٠٠٤, ٢٨٧-٢٩٢
- [١٤] A.M. Siddiqui, M. Ahmed, Q.K. Ghori, Thin film Flow of non-Newtonian fluids on a moving belt, Chaos, Solitons & Fractals, Volume ٣٣, Issue ٣, August ٢٠٠٧, ١٠٠٦-١٠١٦
- [١٥] D.D. Ganji, M.J. Hosseini, J. Shayegh, Some nonlinear heat transfer equations solved by three approximate methods, International Communications in Heat and Mass Transfer, Volume ٣٤, Issue ٨, October ٢٠٠٧, ١٠٠٣-١٠١٦

- [۱۶] D.D. Ganji, A. Rajabi, Assessment of Homotopy–Perturbation and Perturbation Methods in Heat Radiation Equations, International Communications in Heat and Mass Transfer, Volume ۳۳, Issue ۳, (۲۰۰۶)۳۹۱-۴۰۰
- [۱۷] D.D. Ganji, The Application of He's Homotopy Perturbation Method to Nonlinear Equations Arising in Heat Transfer, Physics Letters A, Volume ۳۵۰, Issues ۴-۵(۲۰۰۶) ۳۳۷-۳۴۱
- [۱۸] S.J. Liao, An Approximate Solution Technique not depending on Small Parameters: A Special Example, Int. J. Non-Linear Mechanics, ۳۰ (۳) (۱۹۹۵) ۳۷۱-۳۸۰
- [۱۹] S.J. Liao, Boundary element method for general nonlinear differential operators, Engineering Analysis with Boundary Element ۲۰(۲) (۱۹۹۷) ۹۱-۹۹.
- [۲۰] M. Rafei, D.D. Ganji, H.R. Mohammadi Daniali, H. Pashaei, Application of Homotopy Perturbation Method to the RLW and Generalized Modified Boussinesq Equations, Physics Letters A, Volume ۳۶۴, Issue ۱, (۲۰۰۷) ۱-۶
- [۲۱] A. Rajabi, D.D. Ganji, H. Taherian, Application of Homotopy Perturbation Method in Nonlinear Heat Conduction and Convection Equations, Physics Letters A, Volume ۳۶۰, Issues ۴-۵(۲۰۰۷) ۵۷۰-۵۷۳
- [۲۲] M. Inokuti et al., General use of the Lagrange Multiplier in Non-Linear Mathematical Physics, in: S. Nemat-Nasser (Ed.), Variational Method in the Mechanics of Solids, Pergamon Press, Oxford, ۱۹۷۸, pp. ۱۵۶-۱۶۲.
- [۲۳] Ji-Huan He, Variational Iteration Method – A Kind of Non-Linear Analytical Technique: some examples, International Journal of Non-Linear Mechanics, Volume ۳۴, Issue ۴,(۱۹۹۹) ۶۹۹-۷۰۸
- [۲۴] Jihuan He, A new Approach to Nonlinear Partial Differential Equations, Communications in Nonlinear Science and Numerical Simulation, Volume ۲, Issue ۴, (۱۹۹۷)۲۳۰-۲۳۵
- [۲۵] Ji-Huan He, Approximate Solution of Nonlinear Differential Equations with Convolution Product Nonlinearities, Computer Methods in Applied Mechanics and Engineering, Volume ۱۶۷, Issues ۱-۲,(۱۹۹۸)۶۹-۷۳
- [۲۶] Jihuan He, Approximate Analytical Solution of Blasius' Equation, Communications in Nonlinear Science and Numerical Simulation, Volume ۳, Issue ۴,(۱۹۹۸)۲۶۰-۲۶۳
- [۲۷] Ji-Huan He, Approximate Analytical Solution for Seepage Flow with Fractional Derivatives in Porous Media, Computer Methods in Applied Mechanics and Engineering, Volume ۱۶۷, Issues ۱-۲,(۱۹۹۸)۵۷-۶۸

- [۲۸] Ji-Huan He, Exact Resonances of Nonlinear Vibration of Rotor-Bearings System without Small Parameter, *Mechanics Research Communications*, Volume ۳۷, Issue ۴, July(۲۰۰۰)۴۵۱-۴۵۶
- [۲۹] Ji-Huan He, Variational Iteration Method for Autonomous Ordinary Differential Systems, *Applied Mathematics and Computation*, Volume ۱۱۴, Issues ۲-۳, ۱۱ (۲۰۰۰)۱۱۵-۱۲۳
- [۳۰] Ji-Huan He, Variational Iteration Method—Some Recent Results and New Interpretations, *Journal of Computational and Applied Mathematics*, Volume ۲۰۷, Issue ۱,(۲۰۰۷)۳-۱۷
- [۳۱] Essam M. Abulwafa, M.A. Abdou, Aber A. Mahmoud, Nonlinear Fluid Flows in Pipe-Like Domain Problem using Variational-Iteration Method, *Chaos, Solitons & Fractals*, Volume ۳۲, Issue ۴,(۲۰۰۷)۱۳۸۴-۱۳۹۷
- [۳۲] Mehdi Dehghan, Mehdi Tatari, Identifying an Unknown Function in a Parabolic Equation with Overspecified data via He's Variational Iteration Method, *Chaos, Solitons & Fractals*, Volume ۳۶, Issue ۱,(۲۰۰۸)۱۵۷-۱۶۶
- [۳۳] Hafez Tari, D.D. Ganji, H. Babazadeh, The Application of He's Variational Iteration Method to Nonlinear Equations Arising in Heat Transfer, *Physics Letters A*, Volume ۳۶۳, Issue ۳,(۲۰۰۷)۲۱۳-۲۱۷
- [۳۴] P Karimi, N Eshghi, D D Ganji, M Rostamian, H M Daniali, A Modified Method to Identification of Lagrange Multipliers, ۲۰۰۷ International Symposium on Nonlinear Dynamics (۲۰۰۷ ISND)
- [۳۵] Mo. Miansari, D.D. Ganji, Me. Miansari, Application of He's Variational Iteration Method to Nonlinear Heat Transfer Equations, *Physics Letters A*, Volume ۳۷۲, Issue ۶, (۲۰۰۸)۷۷۹-۷۸۵
- [۳۶] George Adomian, *Solving Frontier Problems in Physics: The Composition Method*, Kluwer, Dordrecht, ۲۰۰۴
- [۳۷] Ebrahim Alizadeh, Mousa Farhadi, Kurosh Sedighi, H.R. Ebrahimi-Kebria, Akbar Ghafourian, Solution of the Falkner–Skan Equation for Wedge by Adomian Decomposition Method, *Communications in Nonlinear Science and Numerical Simulation*, Volume ۱۴, Issue ۳,(۲۰۰۹)۷۲۴-۷۳۳
- [۳۸] Liao, S.J. The Proposed Homotopy Analysis Technique for the Solution of Nonlinear Problems, (PhD) thesis, shanghai jiao Tang University, (۱۹۹۲)

- [39] Liao, S.J. A Kind of Linearity- Invariance under Homotopy and some Simple Applications of it in Mechanics, Technical Report (90), Institute of shipbuilding, university of Hamburg, Jan, (1992)
- [40] Liao, S.J; A kind of Approximate Solution Technique which Does not Depend upon Small Parameters (II): An Application in Fluid Mechanics. Int.J. of Non-linear Mech, 32 (1997) 810-822
- [41] Liao, S.J. An Explicit Totally Analytic Approximation of Blasius Viscous Flow Problems, Int.J. Of Non-linear Mech, 34(2) (1999) 709-778 (reprinted with permission from Elsevier)
- [42] Lia,S.J. A New Analytic Algorithm of Lane-Emden Equation, Applied Mathematices and Computation, 142(1) (2003) 1-16
- [43] Hilton, P.J. An Introduction to Homotopy Theory, Cambridge University Press, (1953)
- [44] Grigolyuk, E.I; Shaliashilin, V.I. Problems of Nonlinear Deformation: the Continuation Method Applied to Nonlinear problems in solid Mechanics, Kluwer Academic Publishers, Dordrecht, Hardbound, (1991)
- [45] Alexander, J.C; Yorke, J.A. The Homotopy Continuation Method: Numerically Implement able Topological Procedures, Trans.AM. Math Soc, 242 (1978) 271-284
- [46] Liao, SJ. An Analytic Approximate Approach for Free Oscillations of Self- Excited Systems, Int.J. Nonlinear Mech, 39(2) (2004) 271- 280
- [47] Liao, SJ. A Uniformly Valid Analytic Solution of 2D Viscous Flow Past a Semi-Infinite Flat Plate, J. of Fluid Mech, 380 (1999) 101-128
- [48] Liao, S.J; Campo, A. Analytic Solutions of the Temperature Distribution in Blasius Viscous Flow Problems,J. Of Fluid Mech, 403 (2002) 411-420
- [49] Ayub, M; Rasheed, A; Hayat, T. Exact Flow of a Third Grade Fluid Past a Porous Plate Using Homotopy Ananlysis Method, Int. J. Engineering Science, 41 (2003) 291-299
- [50] Liao, S.J. On the Analytic Solution of Magneto Hydrodynamic Flow of Non- Newtonian Fluids Over a Stretching Sheet. J. of Fluid Mech, 488 (2003) 189-212
- [51] Liao, S.J. Application of Process Analysis Method to the Solution of 2D Nonlinear Progressive Gravity Wares, J. of ship Res, 36 (1) (1992) 30-37
- [52] Hayat, T; Abbas, Z; Sajid,M; Asghar,S. The Influence of Thermal Radiation on MHD Flow of a Second Grade Fluid, In. J. Heat mass Transfer, 50 (2007) 931-941

- [٥٣] Abbas,Z; Sajid,M; Hayat,T. MHD Boundary Layer Flow of an Upper- Convected Maxwell Fluid in a Porous Channel, The Com. Fluid. Dynamic, ٢٠ (٢٠٠٦) ٢٢٩-٢٣٨
- [٥٤] Liao, S.J. Series Solutions of Unsteady Boundary- Layer Flows over a Stretching Flat Plate, Stud. App. Math. ١٧ (٢٠٠٦) ٢٣٩-٢٦٤
- [٥٥] Ali,A; Mehmood,A. Homotopy Analysis of Unsteady- Boundary layer Flow Adjacent to Permeable Stretching Surface in a Porous Medium, Communication in Nonlinear Science and Numerical Simulation, ١٣ (٢) (٢٠٠٨) ٣٤٠-٣٤٩
- [٥٦] Domairry,G; Mohsenzadeh,A; Famouri,M. The Application of Homotopy Analysis Method to Solve Nonlinear Differential Equation Governing Jeffery-Hamel Flow, Comm, Nonline. Sc. Num. Sim. ١٤ (١) (٢٠٠٩) ٨٥-٩٥
- [٥٧] Domairry,G; Nadim,N. Assessment of Homotopy Analysis Method and Homotopy Perturbation Method in Non- Linear Heat Transfer Equation, Int, Commun. Heat mass Transfer, ٣٣ (١) (٢٠٠٨) ٩٣-١٠٢
- [٥٨] Ziabakhsh,Z; Domairry,G. Solution of the Laminar Viscous Flow in a Semi Porous Channel in the Presence of a Uniform Magnetic Field by Using the Homotopy Analysis Method, Comm. Non Sci, Num. Sim, ١٤ (٤) (٢٠٠٩) ١٢٨٤-١٢٩٤
- [٥٩] Domairry,G; Bararnia,H; Ziabakhsh,Z. Analytical Study of Heat Transfer Flow for a Third grade Fluid Between Parallel Plates and Stokes Problems. JP.J. Heat mass transfer, ٢ (٢) (٢٠٠٨) ١٨٩-٢٠٤
- [٦٠] Bararnia,H; Ghotobi, Abdoul R; Domairry,G. On the Analytical Solution for MHD Natural Convection flow in Porous Medium, Comm. Nonlinear Sci Numer. Simulat, (٢٠٠٨)
- [٦١] Ghotbi, Abdoul R; Bararnia,H; Domairry,G; barari,A. Investigation of a Powerful Analytical Method in to Natural Convection boundary layer flow, Comm. Nonlinear, Sci, Numer, Simulat, ١٤ (٢٠٠٩) ٢٢٢٢-٢٢٢٨
- [٦٢] Barania,H; Gorji,M; Domairry,G; Ghotbi, Abdoul R. An Analytical Study of Boundary Layer Flow on a Continuous Stretching Surface Acta, Appl. Math, DoI, (٢٠٠٨) (١٠.١٠٠٧١٥ ١٠٤٤٠٠٠٨-٩٢٨٦-٣)
- [٦٣] Rezanian,A; Ghorbali,A; Domairry,G; Bararnia,H. Consideration of Transient Heat Conduction, in a Semi- Infinite Medium using Homotopy Analysis Method. App. Math. Mech. (English Edition) ٢٩(١٢) (٢٠٠٨) ١٦١٧-١٦٢٣
- [٦٤] Barania,H; Gorgi,M; Domairry,G and Rezanian. An Approximation of the Analytical Solution of some Nonlinear Heat Transfer Equations: A Survey by using Homotopy

Analysis Method. Numerical Method for Partial Differential Equations (John Wiley) (inpress)

[٦٥] Seripah Awang Kechil, Ishak Hashim, Series Solutions of Boundary-Layer Flows in Porous Media with Lateral Mass Flux, Heat and Mass Transfer, Volume ٤٤, Number ١٠ (٢٠٠٨) ١١٧٩-١١٨٦

[٦٦] Mohamed E. Ali, The Effect of Lateral Mass Flux on the Natural Convection Boundary Layers Induced by a Heated Vertical Plate Embedded in a Saturated Porous Medium with Internal Heat Generation, International Journal of Thermal Sciences, Volume ٤٦, Issue ٢, (٢٠٠٧) ١٥٧-١٦٣

[٦٧] Cheng, P. (١٩٧٧), "The Influence of Lateral Mass Flux on Free Convection Boundary Layers in a Saturated Porous Medium", Int. J. Heat Mass Transfer, Vol. ٢٠ pp. ٢٠١-٦.

[٦٨] Cheng, Ping; Minkowycz, W. J., Free Convection about a Vertical Flat Plate Embedded in a Porous Medium with Application to Heat Transfer from a Dike, Journal of Geophysical Research, Volume ٨٢, Issue B١٤, p. ٢٠٤٠-٢٠٤٤

[٦٩] Magyari, E.; Keller, B., Exact Analytic Solutions for Free Convection Boundary Layers on a Heated Vertical Plate with Lateral Mass Flux Embedded in a Saturated Porous Medium, Heat and Mass Transfer, Volume ٣٦, Issue ٢, pp. ١٠٩-١١٦ (٢٠٠٠)

[٧٠] RB Bird, RC Armstrong, O Hassager, Dynamics of polymeric Liquid- John Wiley & Sons, New York, ١٩٨٧ - osti.gov

[٧١] R. L. Fosdick and K. R. Rajagopal, Anomalous Features in the Model of "Second order Fluids", Archive for Rational Mechanics and Analysis, Volume ٧٠, Number ٢ / June, ١٩٧٩

[٧٢] Beard, D. W.; Walters, K.; Oldroyd, J. G., Elastico-Viscous Boundary-Layer Flows In Two-Dimensional Flow Near a Stagnation Point, Mathematical Proceedings of the Cambridge Philosophical Society, vol. ٦٠, issue ٠٣, p. ٦٦٧

[٧٣] RS Rivlin, JL Ericksen, Stress-Deformation Relations for Isotropic Materials, J. Rat. Mech. Anal, ١٩٥٥

[٧٤] Rr.g.larson, Constitutive Equations for Polymer Melts and Solutions, Butterworths Publishing Co., Boston, USA, ١٩٨٨

[٧٥] J. Harris, Rheology and Non-Newtonian Flow, Longman, London, ١٩٧٧.

[۷۶] Kayvan Sadeghy, Mehdi Sharifi, Local Similarity Solution for the Flow of a “Second-Grade” Viscoelastic Fluid above a Moving Plate, International Journal of Non-Linear Mechanics, Volume ۳۹, Issue ۸, (۲۰۰۴) ۱۲۶۵-۱۲۷۳

[۷۷] Kayvan Sadeghy, Amir-Hosain Najafi, Meghdad Saffaripour, Sakiadis Flow of an Upper-Convected Maxwell Fluid, International Journal of Non-Linear Mechanics, Volume ۴۰, Issue ۹, (۲۰۰۵) ۱۲۲۰-۱۲۲۸

[۷۸] Rafael Cortell, Analysing Flow and Heat Transfer of a Viscoelastic Fluid over a Semi-Infinite Horizontal Moving Flat Plate, International Journal of Non-Linear Mechanics, Volume ۴۳, Issue ۸, (۲۰۰۸) ۷۷۲-۷۷۸

Abstract

Study of many phenomena such as heat transfer, mass transfer, fluid mechanics and plasma physics leads to the system of non-linear equations which can be solved either by an approximate, analytical or numerical method.

In most cases owing to the non-linearity and the coupling of high orders equations their numerical solution is difficult and complex. However, some of these problems are solved by numerical methods and in some cases the analytical and semi-analytical methods are employed.

In this thesis, some modern analytical methods like *Perturbation*, *Homotopy Perturbation*, *Variational iteration* and *Adomian decomposition* are studied. The methods are applied in few cases of engineering sciences such as fluid mechanics and heat transfer. The analytical methods are explained with some examples which are preceded with advantage and disadvantages. *Homotopy analysis* which remove the shortage of previous methods offer new solutions for the complex non-linear governing equations.

Finally, the performance of method is investigated by introducing two problems. The results derived from *Homotopy analysis method* are exactly similar to the *Numericals* as well as *Exact solutions*. The convergence area is well controllable in relation to the methods introduced in this thesis.



Shahrood University of Technology

Faculty of Mechanical Engineering

**Application of New Analytical and Numerical Methods to Nonlinear
Heat-transfer Problems**

Seyed Mohammad Hosseini Emam

Supervisors:

Dr.Mohammad Javad Maghrebi

Dr.Davood Domairy Ganji

September ۲۰۰۹